



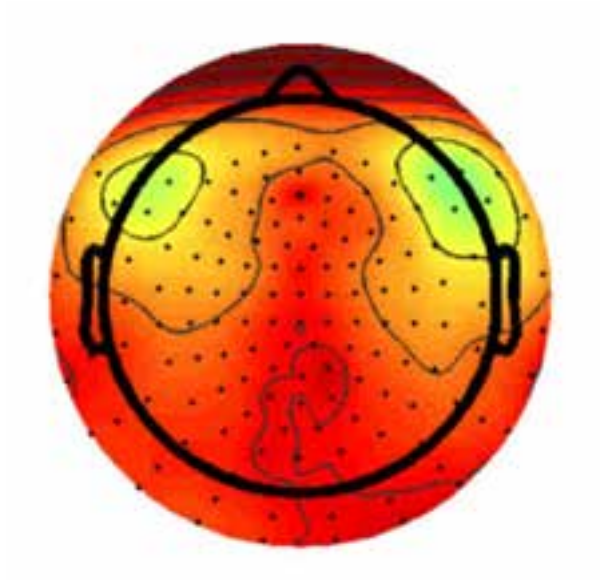


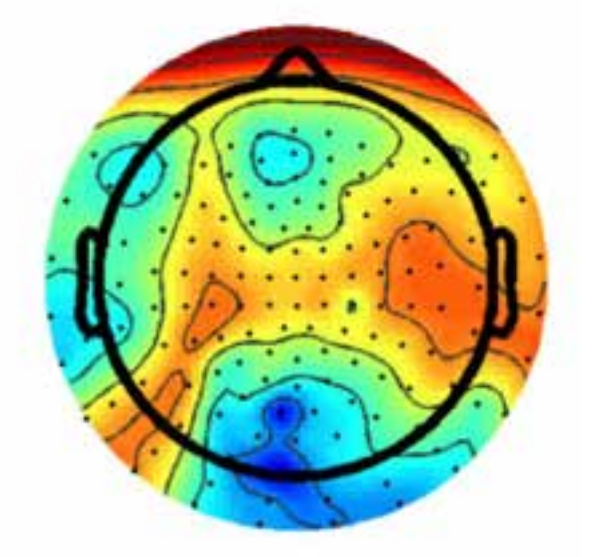






Avances recientes en la evaluación y el diagnóstico del TDAH





Iván Darío Delgado-Mejía, Ph.D, M.Sc.

Vicepresidente Sociedad Colombiana de Neuropsicología (2025-2027) Neuropsicólogo – Unidad de Neurodesarrollo, Hospital Español (México) Prof. Maestría en Neuropsicología Infantil – Universidad Autónoma de Asunción (Paraguay) Prof. Maestría en Neuropsicología Aplicada – Hospital Italiano de Buenos Aires (Argentina)

DECLARACIÓN DE CONFLICTO DE INTERESES

Ausencia de conflicto de intereses



1. Qué herramientas usan actualmente y qué dificultades enfrentan en el diagnóstico del TDAH?.

2. Qué se requiere para hacer un adecuado diagnóstico del TDAH?

OBJETIVOS

Conocer las bases neuroanatómicas, de conectividad cerebral, neurobioquímicas, genéticas y neuropsicológicas del TDAH, para realizar un diagnóstico que vaya más allá de una instrumentalización ligth y sea uno basado en la evidencia científica y clínica de este cuadro.

✓ Proporcionar los aportes de las pruebas computarizadas y de realidad virtual que <u>complementan</u> el diagnóstico **CLÍNICO** del TDAH.

✓ Presentar los hallazgos por medio de la evaluación neuropsicológica computarizada en el TDAH.

 Explicar algunas implicaciones prácticas y clínicas del uso de la tecnología y algunas consideraciones a futuro.



CONTENIDO

- ✓ Introducción
- ✓ TDAH

Síntomas Nucleares

Síntomas Neuropsicológicos

Algoritmos Diagnósticos

CIE-11

DSM-5 – TR: Presentaciones diagnósticas

- Epidemiología
- ✓ Bases Neuroanatómicas, Conectividad Cerebral, Neurobioquímicas y Neuropsicológicas.
- Bases Genéticas

Genes candidatos

12 locus

27 loci de riesgo, refinan la arquitectura genética e implican a varios dominios cognitivos.

- ✓ TDAH: Trastorno complejo del neurodesarrollo
- ✓ Complejidad = heterogeneidad en la presentación clínica y a superposición de síntomas con otros Tx.
- ✓ Hallazgos heterogéneos tanto en relación a su génesis como a los correlatos neurobiológicos (NA y NBQ) que lo acompañan = Controversias – multicausal y complejo de Dx e intervenir.
- ✓ Síntomas principales y Neuropsicológicos
- ✓ Alto nivel de prevalencia y disfuncionalidad.
- ✓ Implicación de la CPF y déficit en el sistema fronto-estriatal derecho.
- ✓ Circuito de activación por defecto.
- ► ✓ Ausencia de pruebas de laboratorio y test neuropsicológicos.

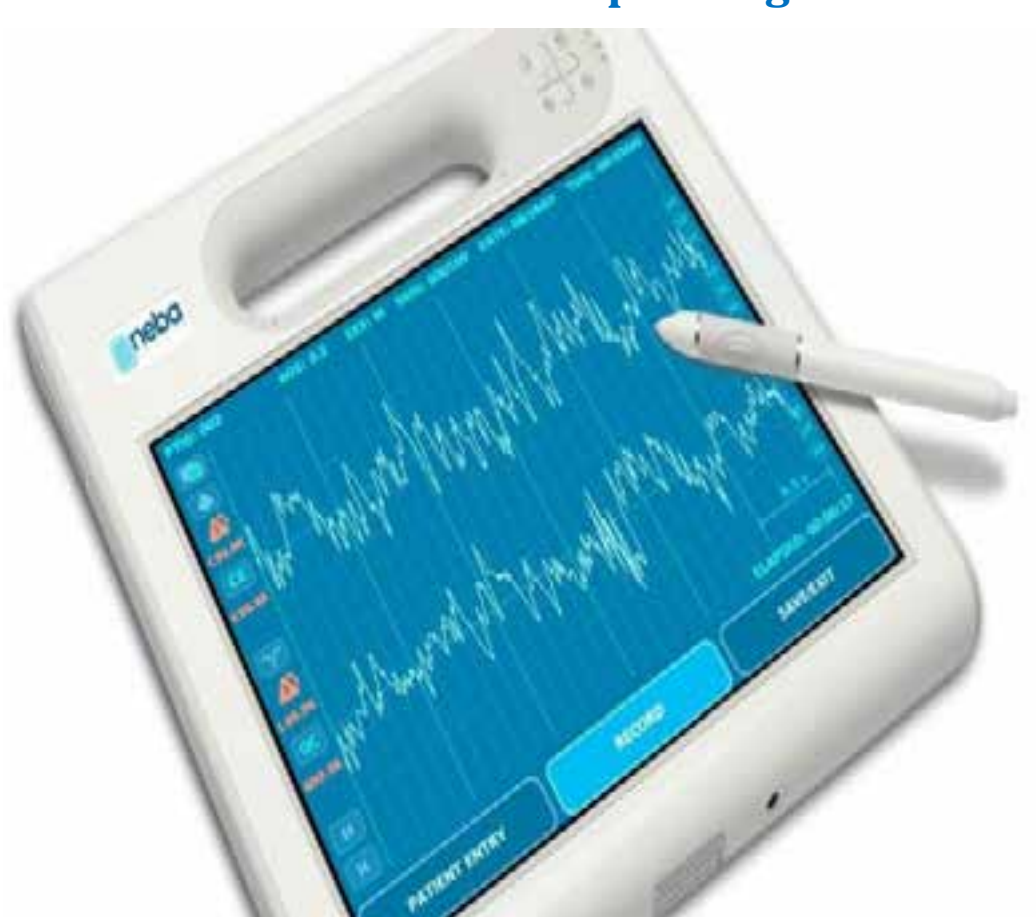


Corría Julio de 2013...

NEBA: primer biomarcador biológico en TDAH

Los resultados fueron consistentes con la evaluación clínica,

tanto médica como psicológica.



DE NOVO CLASSIFICATION REQUEST FOR NEUROPSYCHIATRIC EEG-BASED ASSESSMENT AID FOR ADHD (NEBA) SYSTEM

REGULATORY INFORMATION

FDA identifies this generic type of device as:

Neuropsychiatric Interpretive Electroencephalograph Assessment Aid. The Neuropsychiatric Interpretive Electroencephalograph Assessment Aid is a prescription device that uses a patient's electroencephalograph (EEG) to provide an interpretation of the patient's neuropsychiatric condition. The Neuropsychiatric Interpretive EEG Assessment Aid is used only as an assessment aid for a medical condition for which there exists other valid methods of diagnosis.

NEW REGULATION NUMBER: 882.1440

CLASSIFICATION: CLASS II

PRODUCT CODE: NCG

BACKGROUND

DEVICE NAME: NEUROPSYCHIATRIC EEG-BASED ASSESSMENT AID FOR ADHD

(NEBA) SYSTEM

SUBMISSION NUMBER: K112711

DATE OF DE NOVO: DECEMBER 8, 2011

U.S. Food and Drug Administration (FDA). De novo classification request for neuropsychiatric EEG-based assessment aid for adhd (NEBA) system. In: FDA. URL: http://www.accessdata.fda.gov/cdrh_docs/reviews/K112711.pdf [17.11.2013].

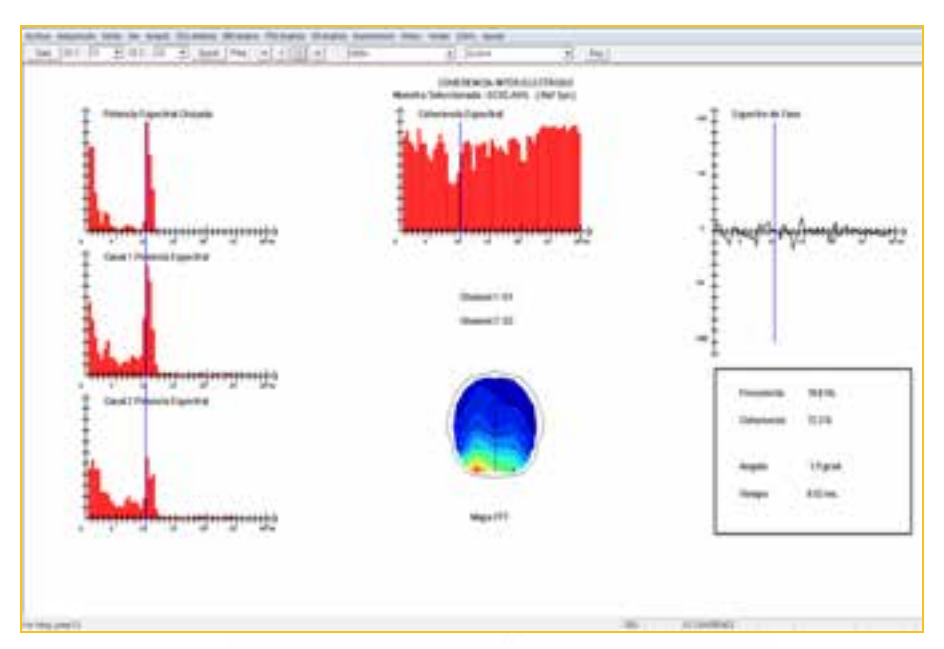
www.neurologia.com Rev Neurol 2014; 58 (Supl 1): S57-S63

Cociente theta/beta (NEBA) en el diagnóstico del trastorno por déficit de atención/hiperactividad

Iván D. Delgado-Mejía, M. Luisa Palencia-Avendaño, Carolina Mogollón-Rincón, Máximo C. Etchepareborda

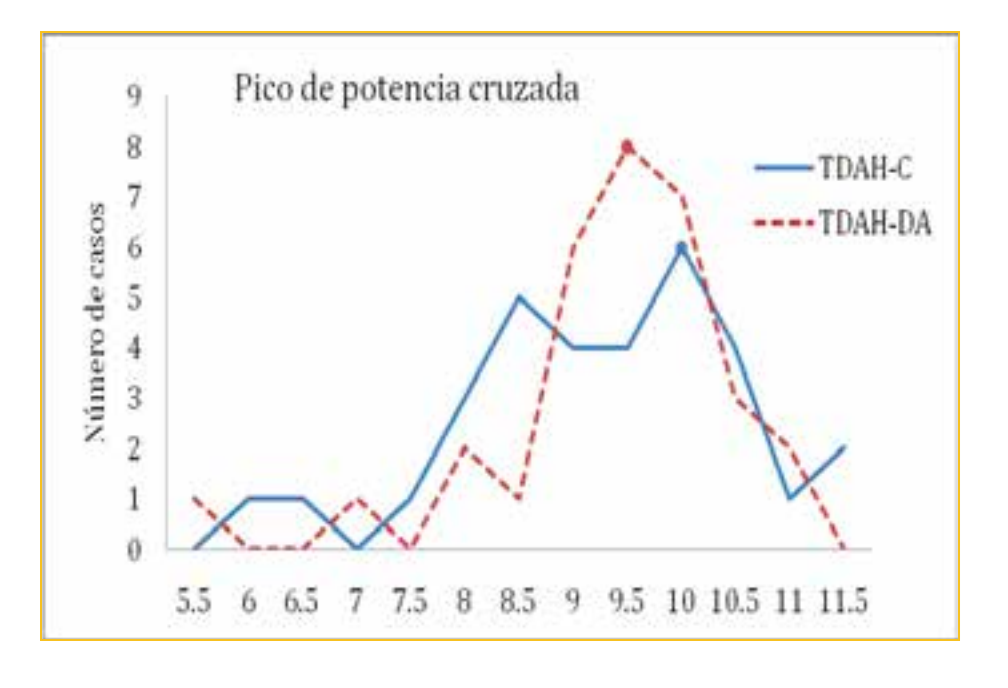






Comparación de frecuencias de Coherencia interhemisférica y las presentaciones Dx (TDAH-C y TDAH-DA) = si *existe dependencia entre las variables*

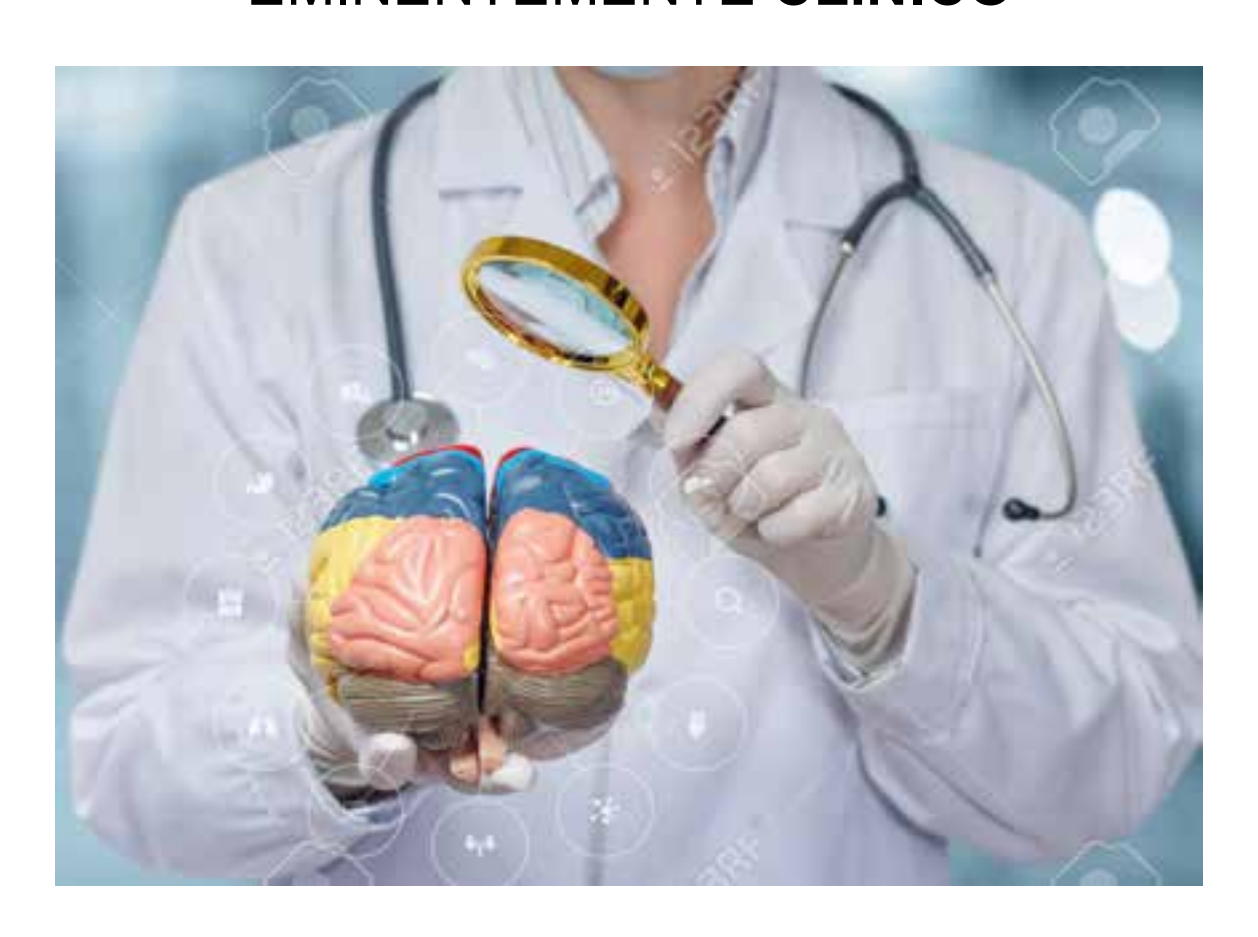
(X^2 : 8,08; sig: 0,70), con un nivel moderado de asociación (V de Cramer 36% y Coeficiente de contingencia 0.34).



En este estudio: Los picos más altos en TDAH-DA se dan en 9,5 Hz, en comparación con TDAH-C con pico en 10 Hz

El diagnóstico no debe estar basado en una instrumentalización ligth

El diagnóstico del TDAH y sus presentaciones debe ser EMINENTEMENTE **CLÍNICO**



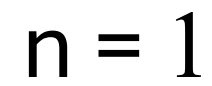






Dx: no hay test/laboratorial

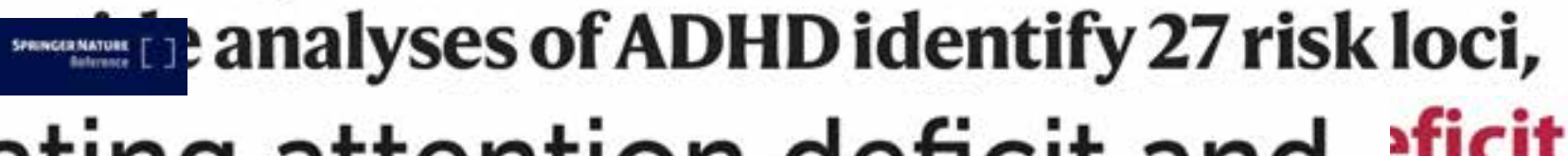
Dx: es CLINICO





nature genetics

Article Published: 26 January 2023



Evaluating attention deficit and hyperactivity disorder (ADHD): a review of current methods and



Consortium, IPS TCH-Broad Consortium, ... Anders D. Børglum

+ Show authors

orking Group or the Esychiatric Genomics

TYPE Review

PUBLISHED 24 February 2025

DOI 10.3389/fpsyg.2025.1466088

ekved-lam.

dottir, Gyda

Nature Genetics 55, 198-208 (2023) Cite this article

ne nemenands





PERSPECTIVA HISTÓRICA DEL TDAH



Brief Historical Report

The Earliest Reference to ADHD in the Medical Literature? Melchior Adam Weikard's Description in 1775 of "Attention Deficit" (Mangel der Aufmerksamkeit, Attentio Volubilis)

Russell A. Barkley¹ and Helmut Peters²

tonia 4775

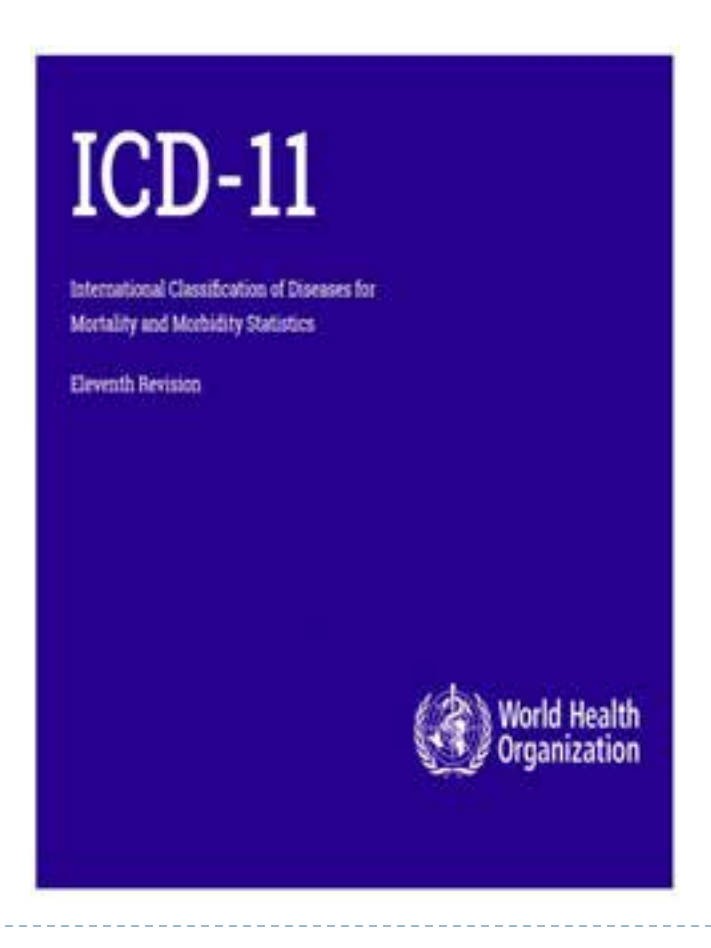


Habut naibts as even mobi-



ALGORITMOS DIAGNÓSTICOS

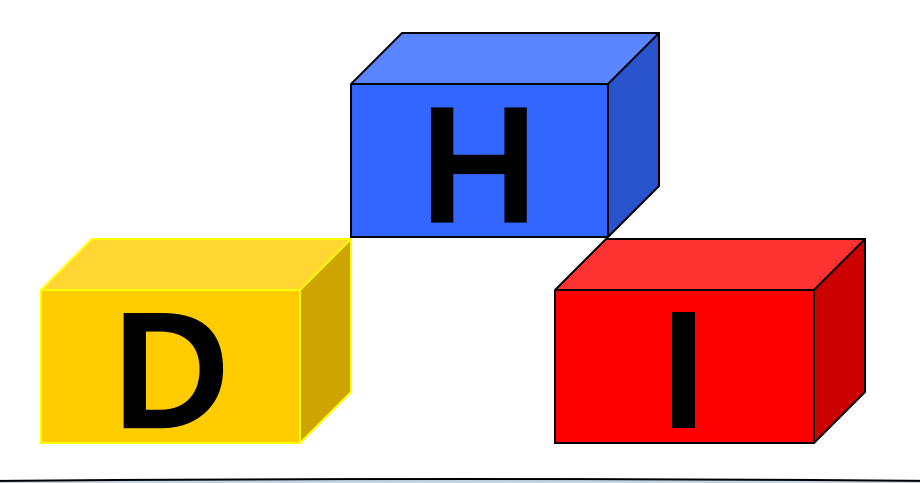
CIE-11



DSM-5-TR



Síntomas Nucleares



Los síntomas de Inatención, hiperactividad o impulsividad estaban antes de los 12 años

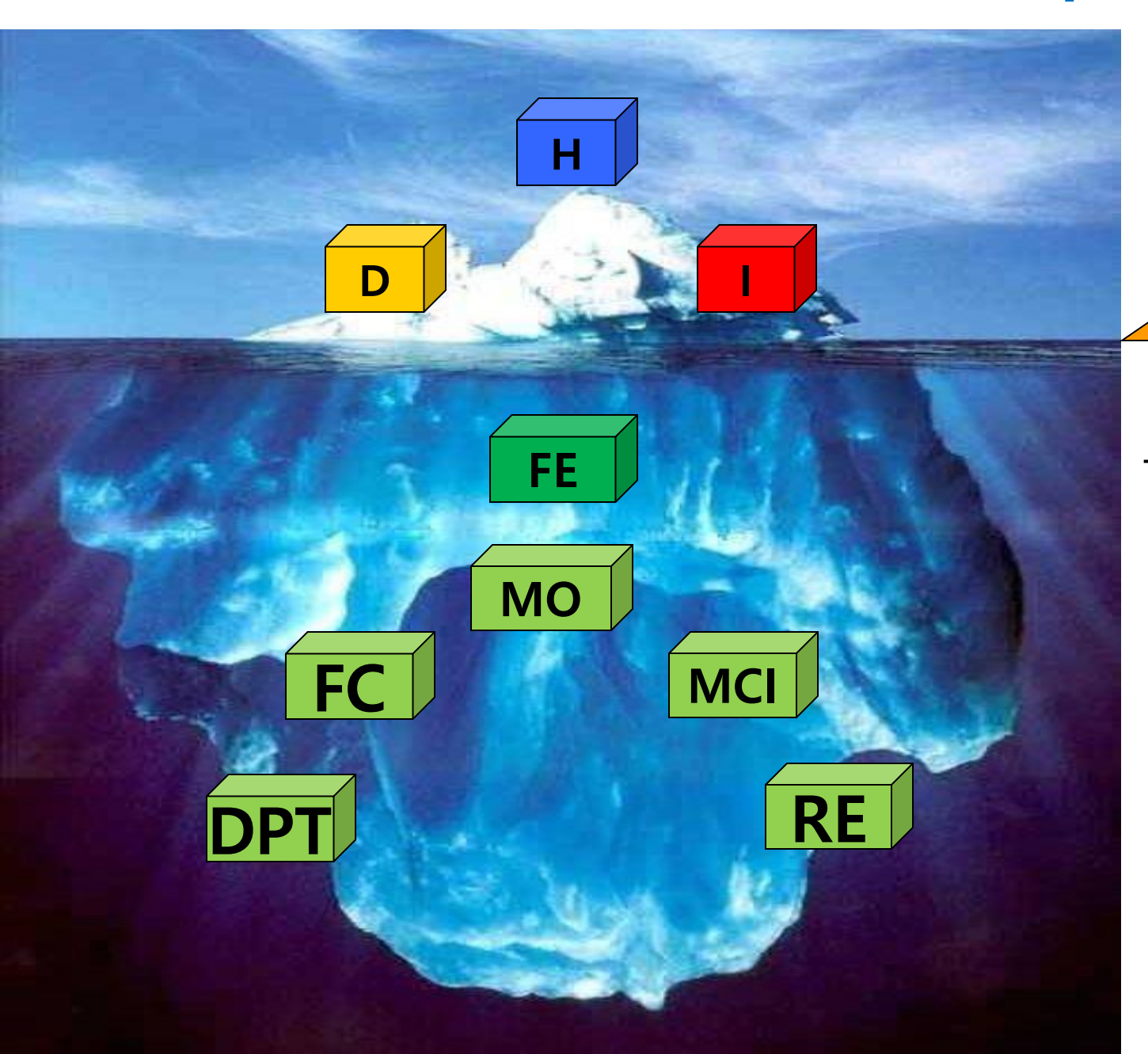
Los síntomas estaban presentes en dos o mas contextos

Los síntomas interfieren con el funcionamiento social, académico o laboral

Ausencia de otra enfermedad neurológica o psiquiátrica



Síntomas Neuropsicológicos



INATENCIÓN HIPERACTIVIDAD IMPULSIVIDAD

DISFUNCIÓN EJECUTIVA

- Baja MO
- Baja FC
- Fallas de planif/Organ
- Resolución de problemas
 - Déficit en los MCI
 - Regulación emocional
- > Dif percepción del tiempo.

Fx Temporales: (Discriminación, reproducción y estimación)

MECANISMOS DE CONTROL INHIBITORIO

Control de Espera

Control de impulsos

- Motor
- Cognitivo
 - Verbal

Control de Inteferencia

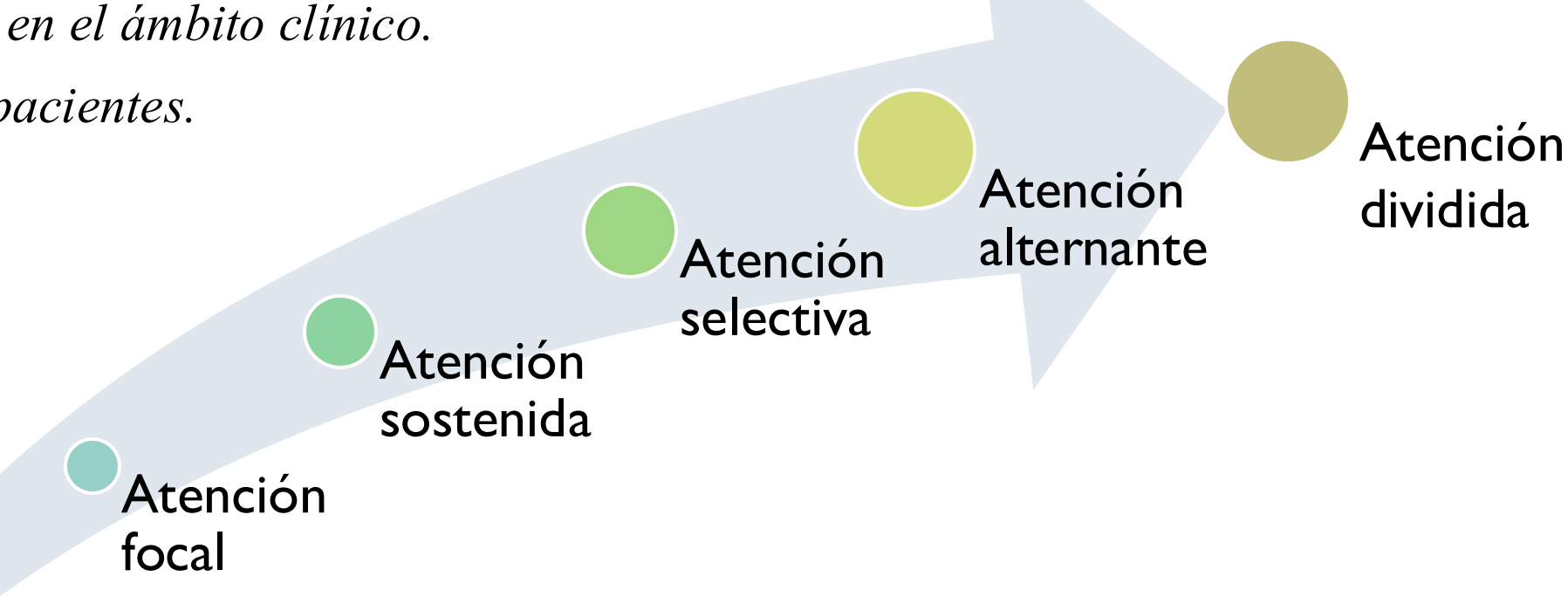
LA IMPULSIVIDAD ASÍ COMO LA ATENCIÓN HAN SIDO...



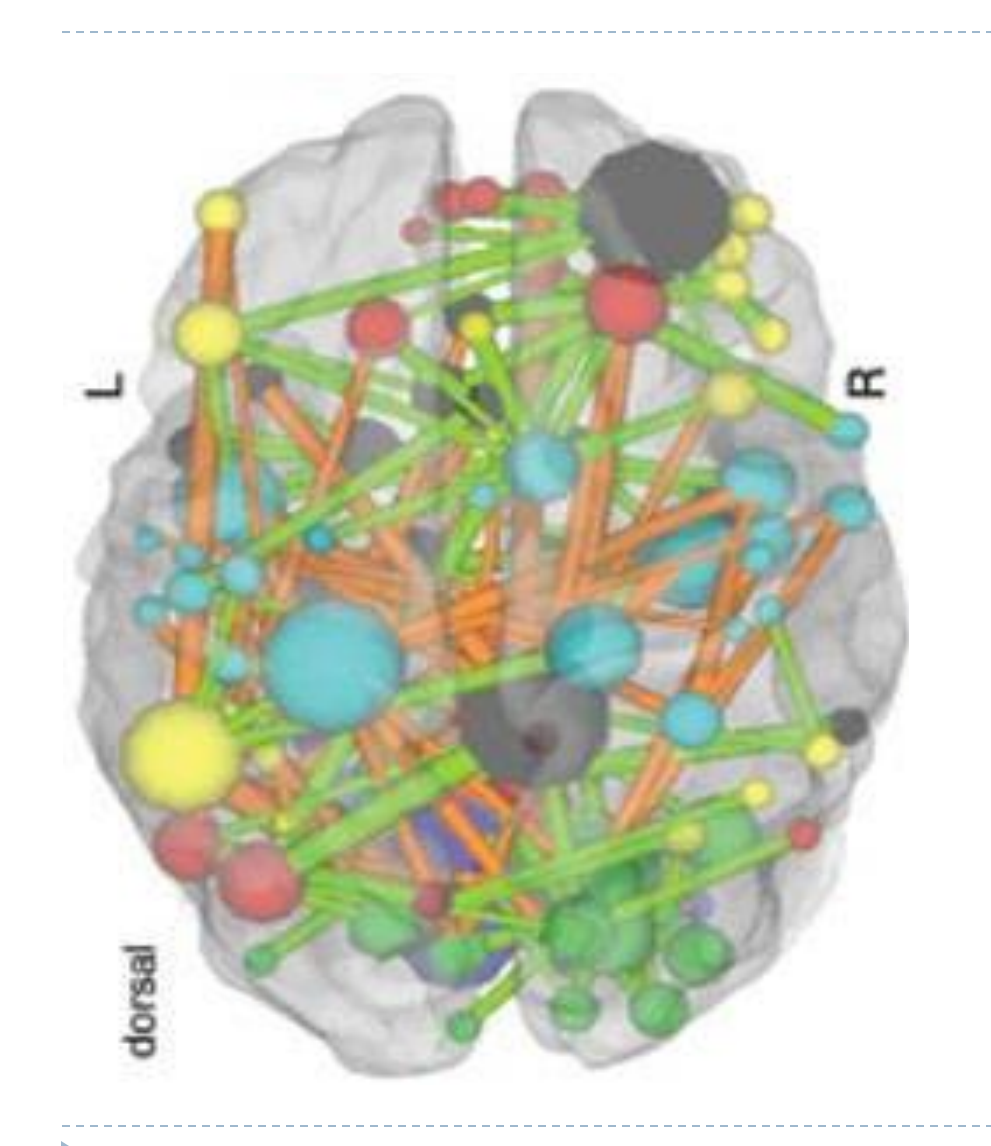
Sohlberg y Mateer

Describieron un modelo para la evaluación de la atención basado en:

- Datos aportados por la neuropsicología experimental.
- Observaciones obtenidas en el ámbito clínico.
- Quejas subjetivas de los pacientes.

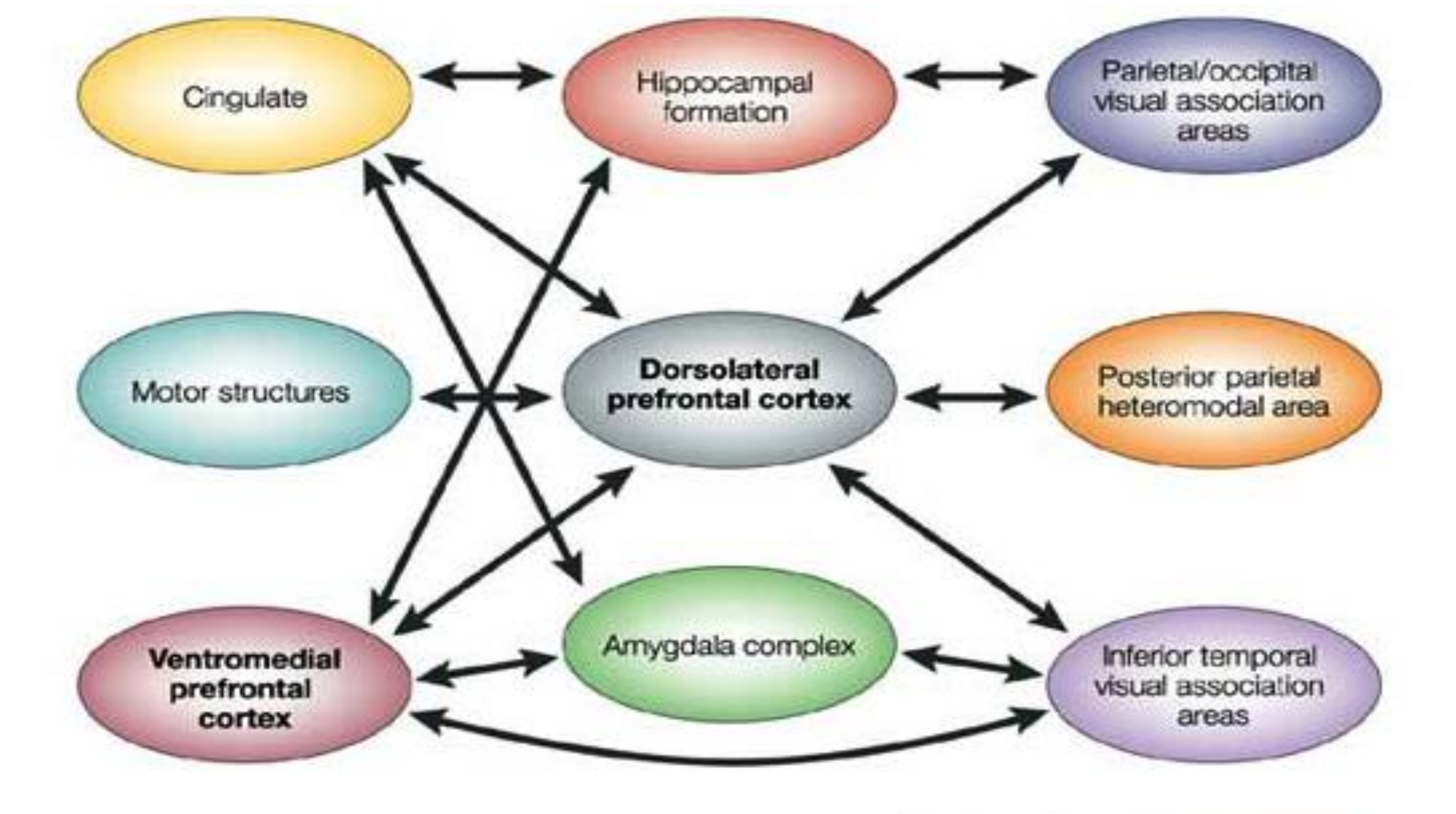


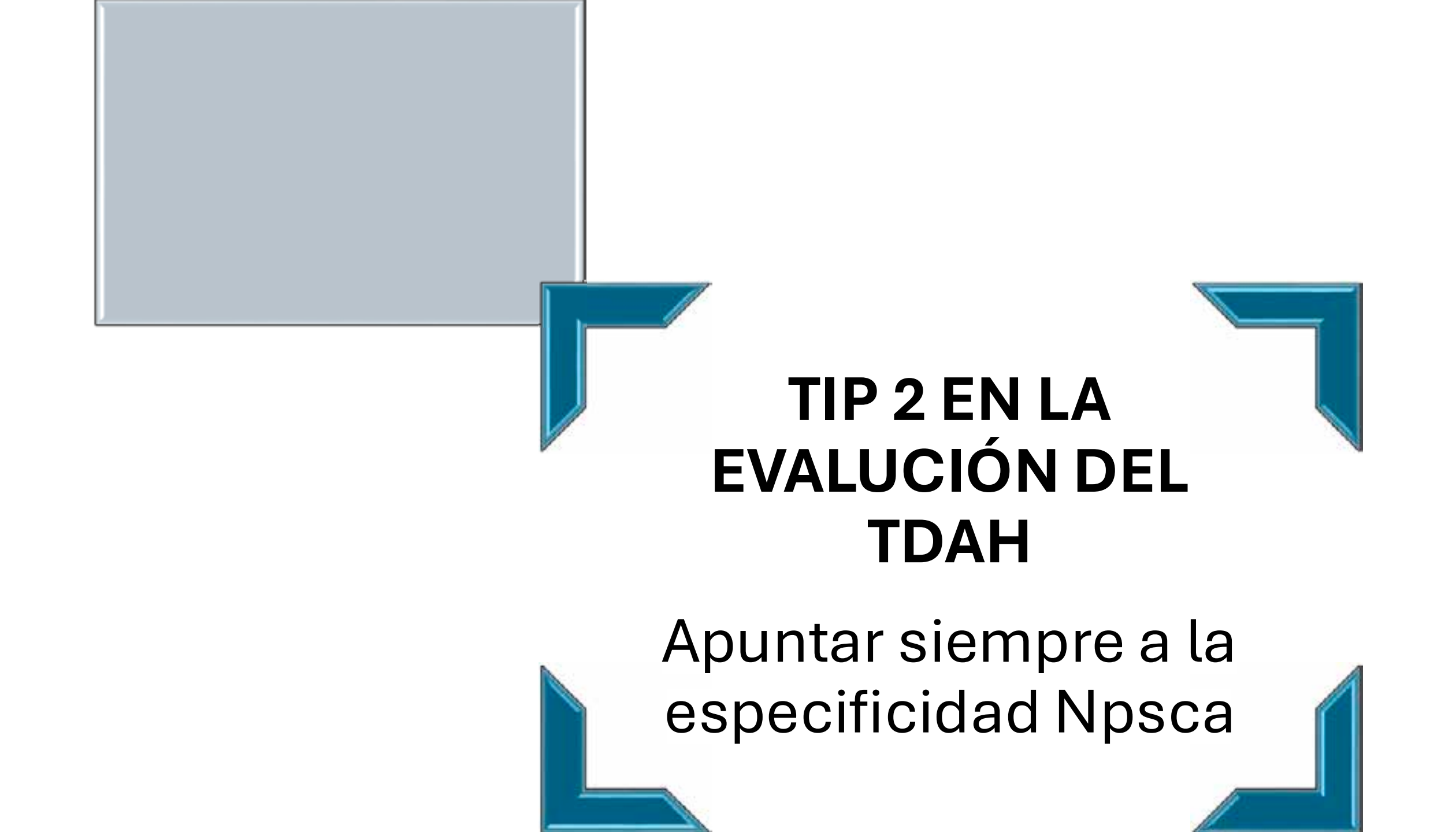
- Arousal Modelo jerárquico.
 - Cada nivel requiere el correcto funcionamiento del nivel anterior.
 - Cada componente es más complejo que el que le precede.



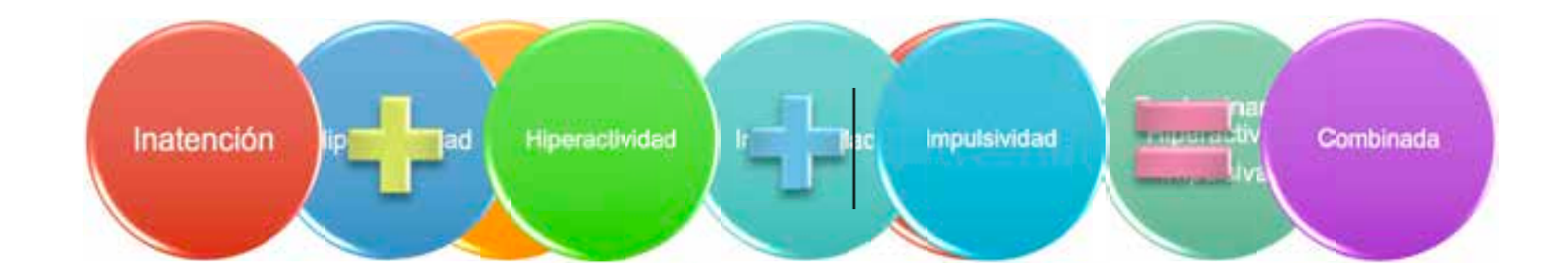
Las <u>funciones atencionales</u> parecen no ser autónomas, sino que <u>participan</u> e interactúan con otros procesos cognitivos, como los MCI, la MO, la planificación, etc.

Por esta razón, son dificiles de aislar tanto conceptual como funcionalmente de dichos procesos.



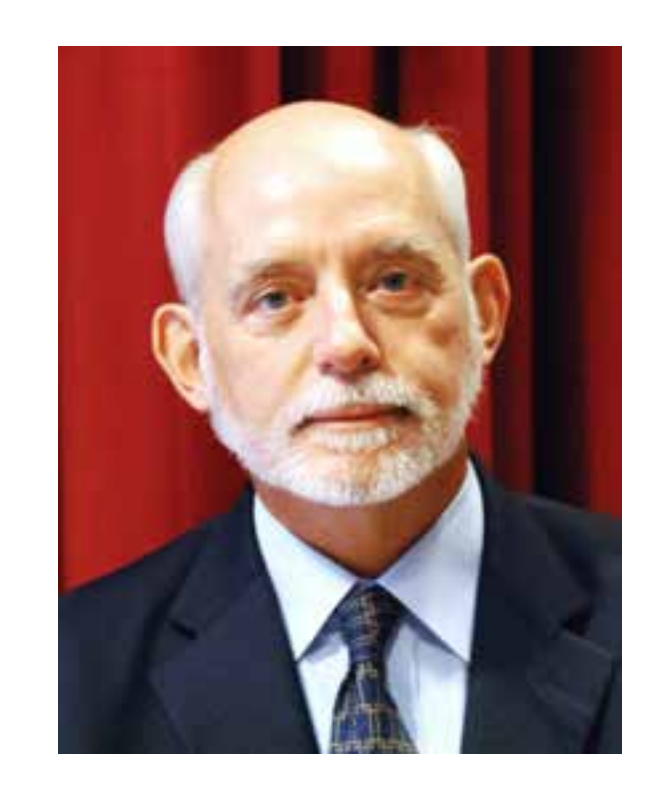


PRESENTACIONES DEL TDAH

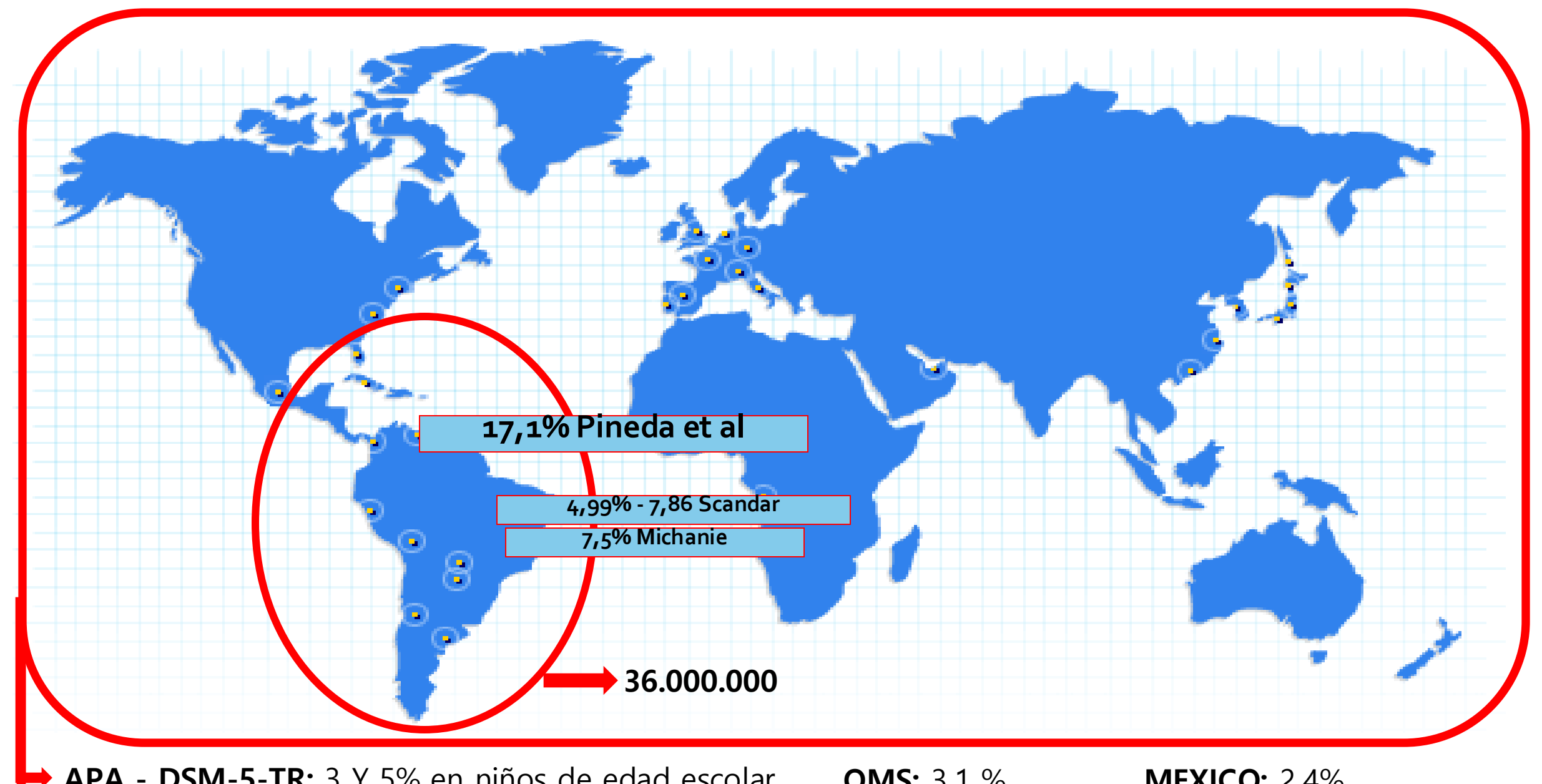


Epidemiología

Se estima que el TDAH, representa entre 30 y **50%** de las consultas de los niños remitidos a los centros de salud mental infantil síntomas que disminuyen substancialmente el rendimiento académico y alteran las relaciones con los familiares y los compañeros.



Russell A. Barkley, Ph.D.



→ APA - DSM-5-TR: 3 Y 5% en niños de edad escolar. **OMS:** 3.1 % **MEXICO:** 2.4%

Polanczyk et al: 5,29% Sujetos hasta los 18 años.

BASES NEUROBIOLÓGICAS DEL TDAH

EXPLICACIONES FUNCIONALES:

La neuroimagen funcional empieza a dar respuestas a la explicación de la organización cerebral con técnicas de:

1.- Alta <u>resolución espacial</u>

SPECT, PET, RMf......DONDE

2.- Alta resolución temporal

EEG, P. Evocados (PRAD,P300)...... CUANDO

3.- A.R. <u>espacial + temporal</u>

RM-3D + MEG.....CÓMC

BASES NEUROANATÓMICAS DEL TDAH

NEUROIMAGEN

TAC:

• Atrofia cerebelosa.

RMN: ↓Vol.

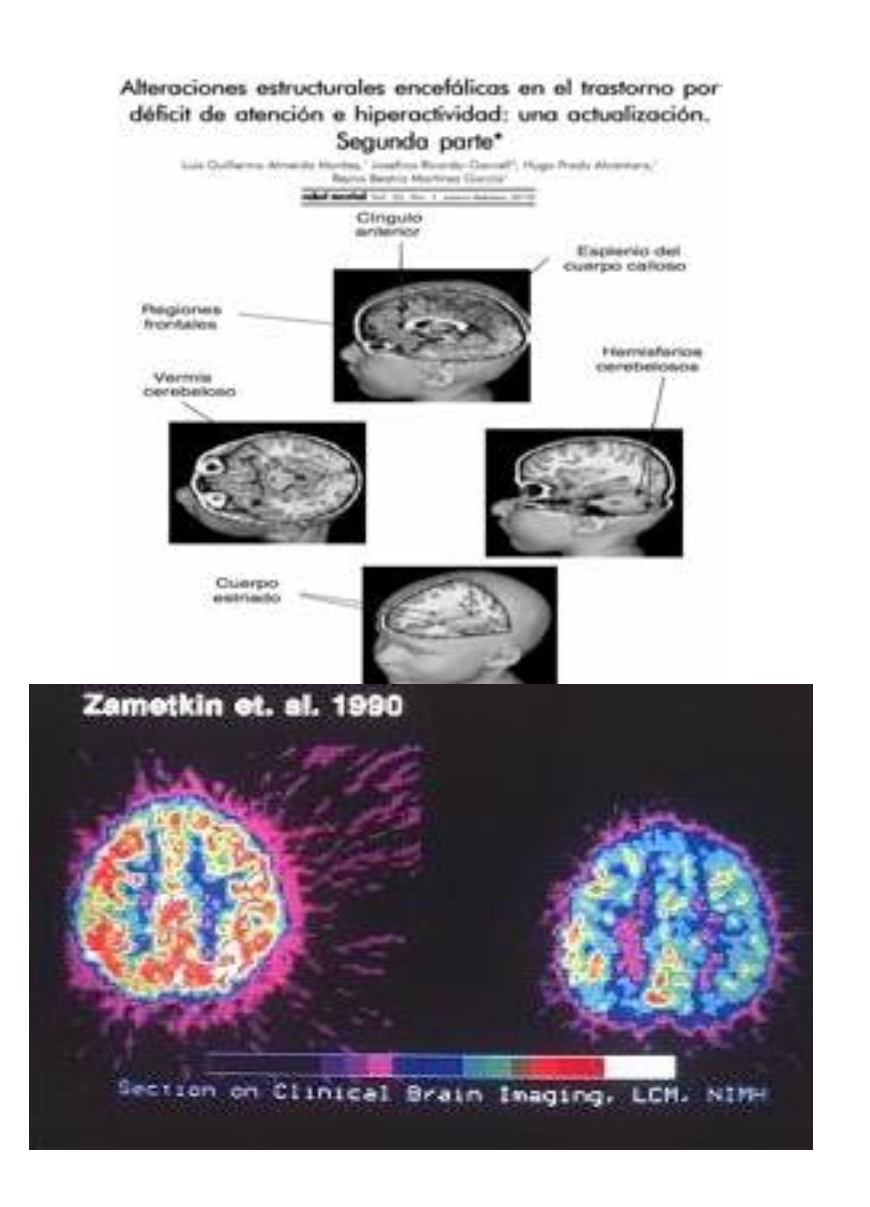
- Prefrontal derecha.
- Ganglios basales.
- Vermix cerebeloso.

NEUROIMAGEN FUNCIONAL

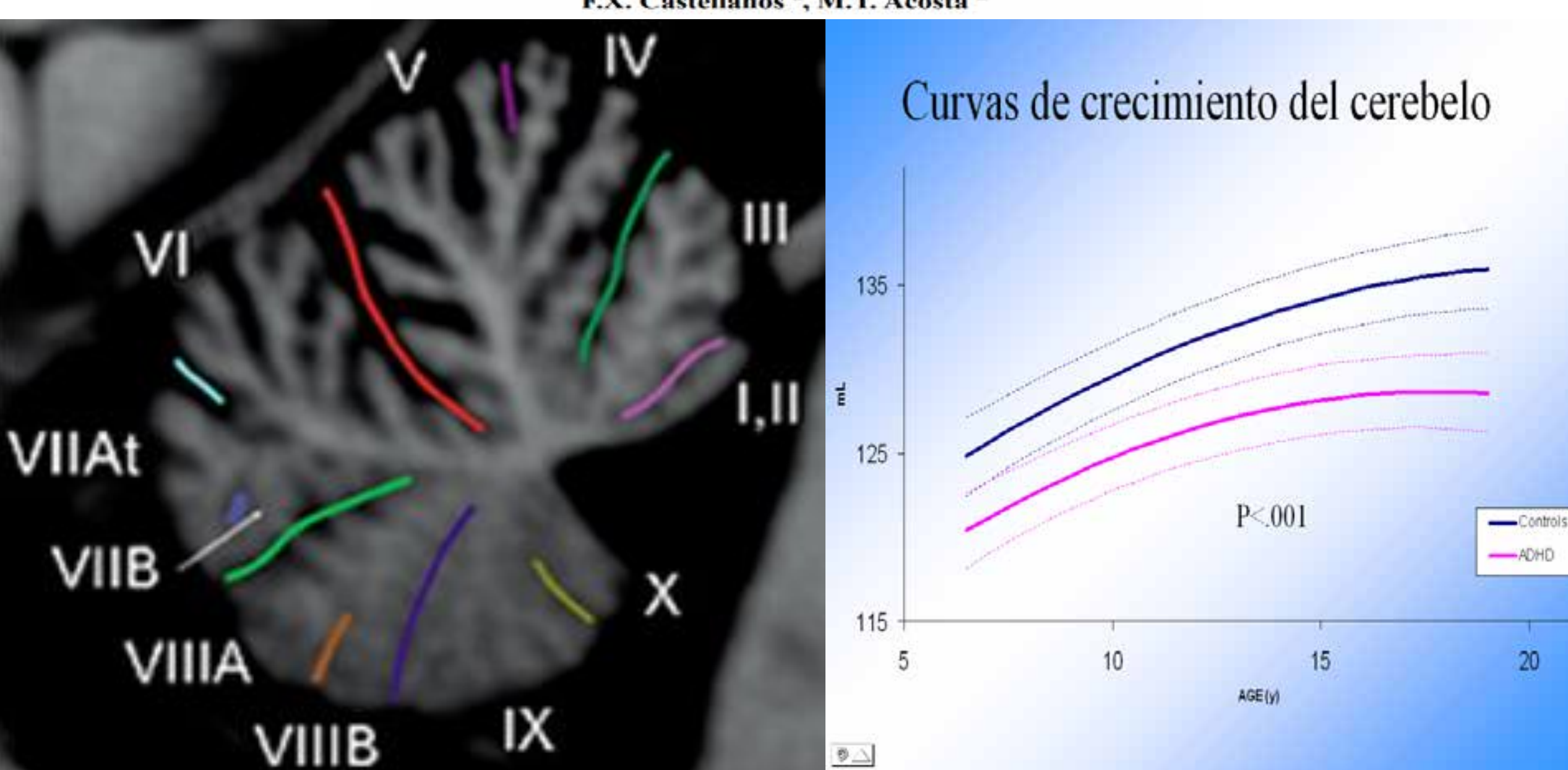
SPECT (↓ flujo) y PET (↓ metabolismo):

- Frontales.
- Ganglios basales (estriado, caudado y putamen).
 RMf (\(\psi \) Función): prefrontal derecha y caudado.

"Diferencias funcionales en la corteza prefrontal y en los ganglios basales (estriados)".



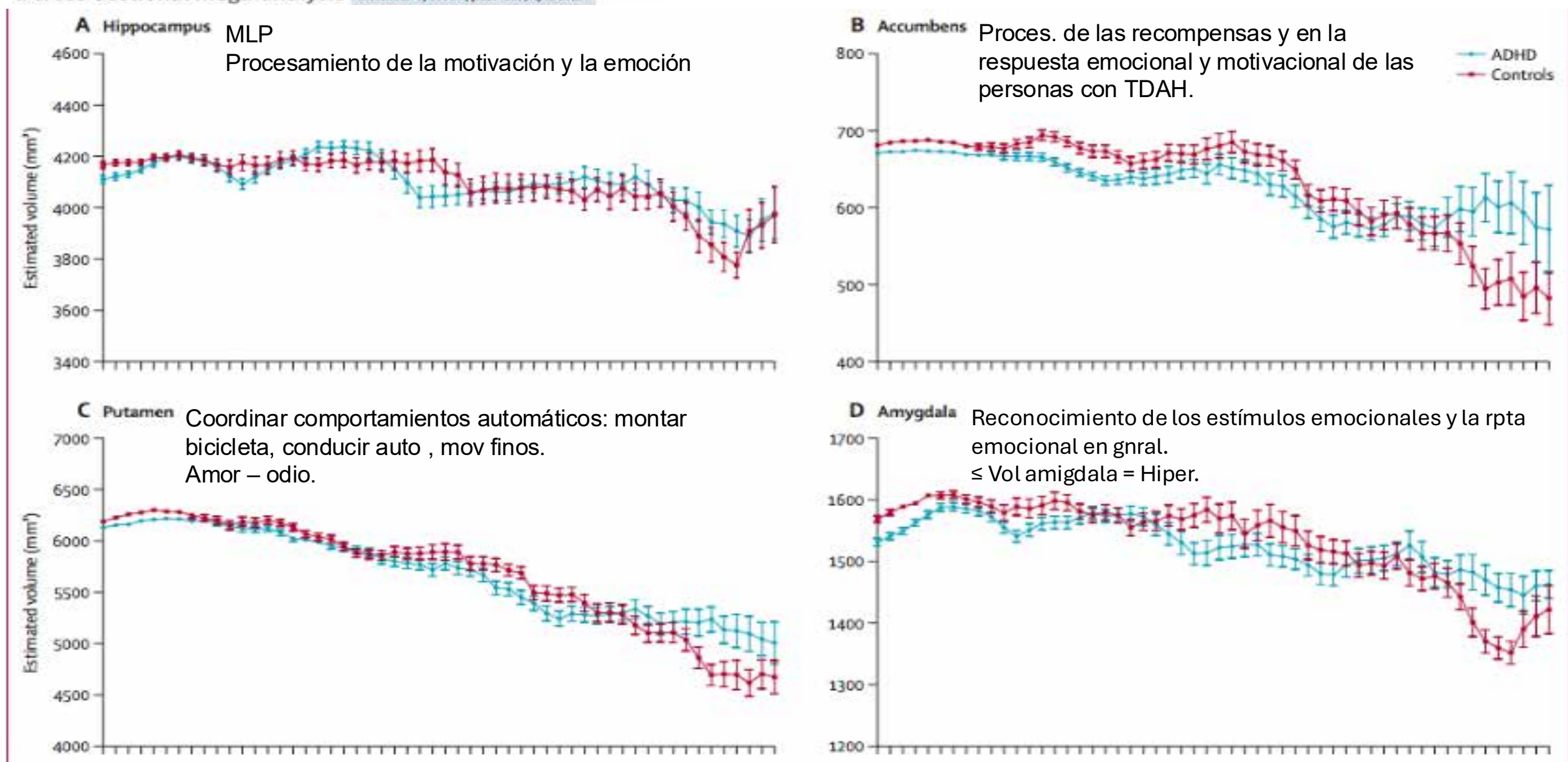
Neuroanatomía del trastorno por déficit de atención con hiperactividad F.X. Castellanos a, M.T. Acosta b



THE LANCET Psychiatry

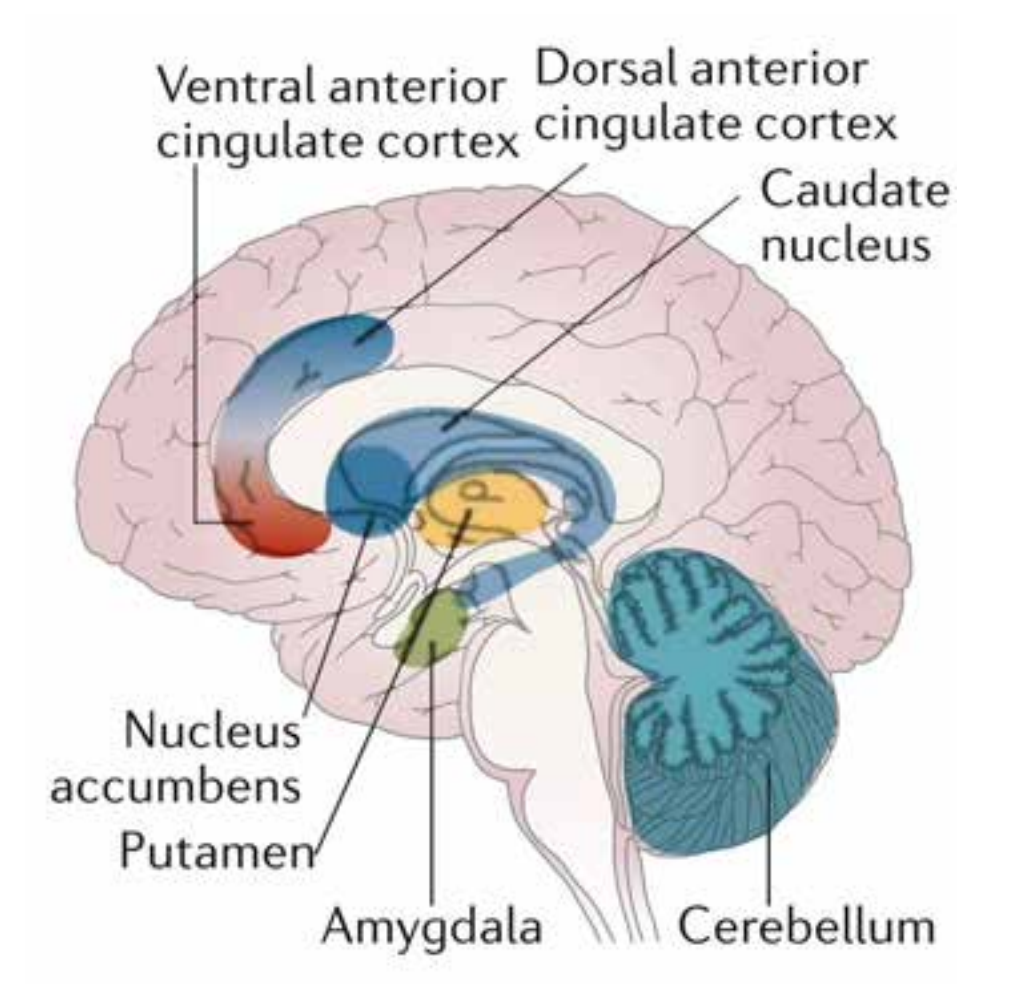
Subcortical brain volume differences in participants with attention deficit hyperactivity disorder in children and adults:

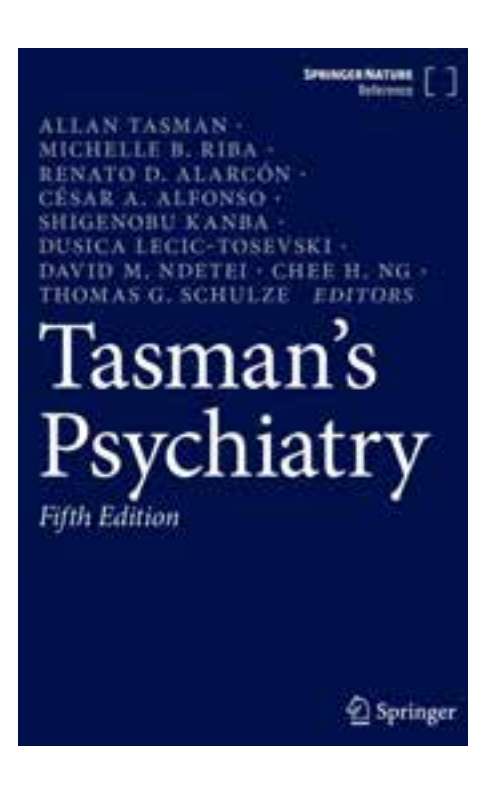
a cross-sectional mega-analysis Volume 4, No. 4, p310-319, April 2017



Lo que SÍ estaba claro hasta ese momento en el TDAH...

"Disrregulación de los circuitos frontoestriatales"





Faraone, S.V., Radonjić, N.V. (2024). Neurobiology of Attention Deficit Hyperactivity Disorder. In: Tasman, A., *et al.* Tasman's Psychiatry. Springer, Cham. https://doi.org/10.1007/978-3-030-51366-5 33.

CONECTIVIDAD CEREBRAL

Review



Special Issue: Cognition in Neuropsychiatric Disorders

Large-scale brain systems in ADHD: beyond the prefrontal-striatal model

F. Xavier Castellanos^{1,2} and Erika Proal^{1,3}

¹ Phyllis Green and Randolph Cowen Institute for Pediatric Neuroscience, Child Study Center, NYU Langone School of Medicine, New York, NY, USA

² Nathan Kline Institute for Psychiatric Research, Orangeburg, NY, USA

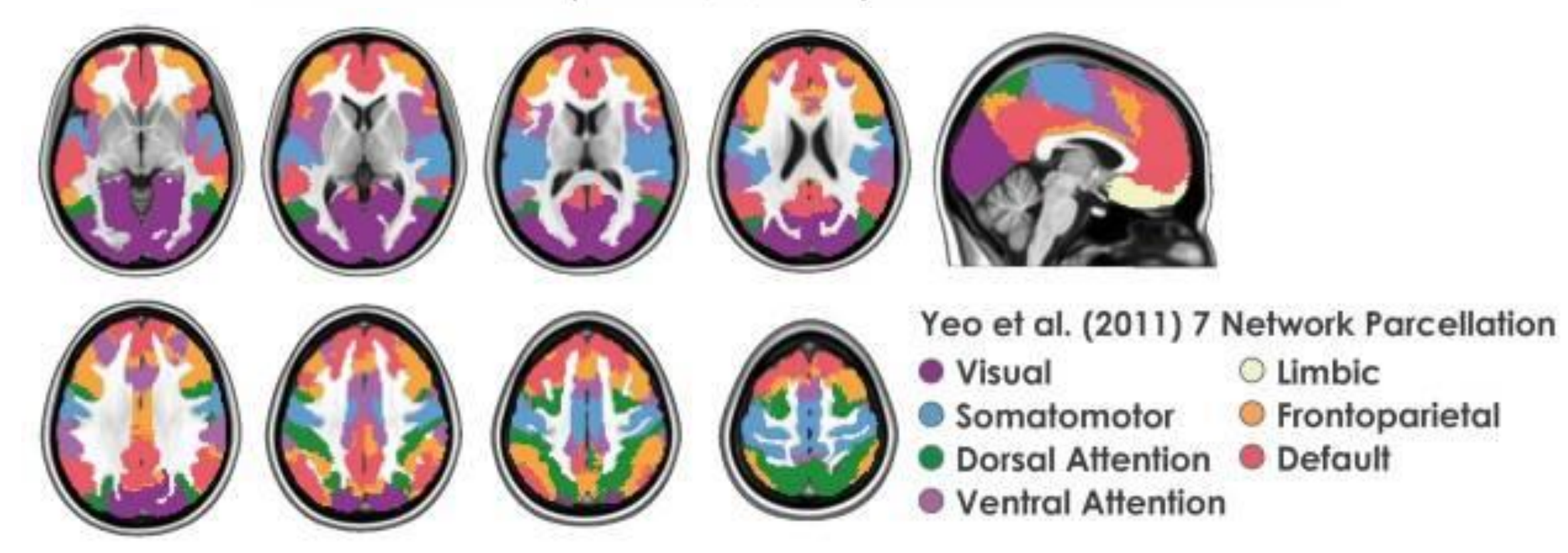
³ NeuroIngenia, Mexico, D.F., Mexico

CONECTIVIDAD CEREBRAL

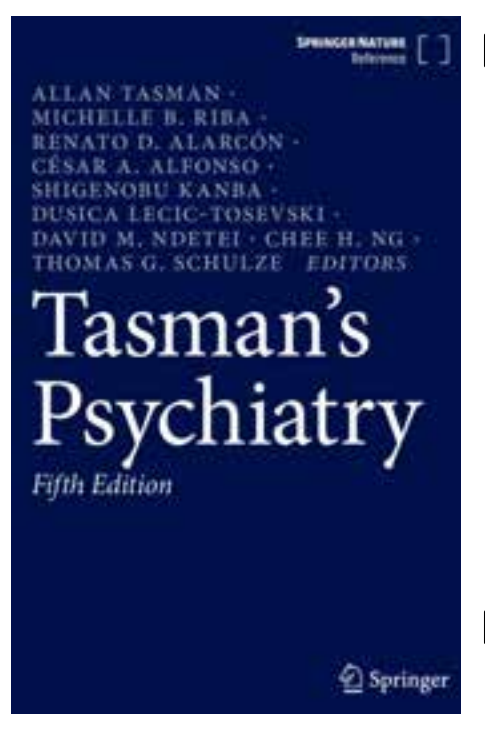
The organization of the human cerebral cortex estimated by intrinsic functional connectivity

B. T. Thomas Yeo, 1,24 Fenna M. Krienen, 1,24 Jorge Sepulcre, 1,2,3 Mert R. Sabuncu, 2,4 Danial Lashkari, Marisa Hollinshead, 1,2,3 Joshua L. Roffman, Jordan W. Smoller, 5,6 Lilla Zöllei, Jonathan R. Polimeni, Bruce Fischl, 2,4,7 Hesheng Liu, and Randy L. Buckner, 1,2,3,5

J Neurophysiol 106: 1125-1165, 2011. First published June 8, 2011; doi:10.1152/jn.00338.2011.



BASES NEUROBIOQUÍMICAS DEL TDAH

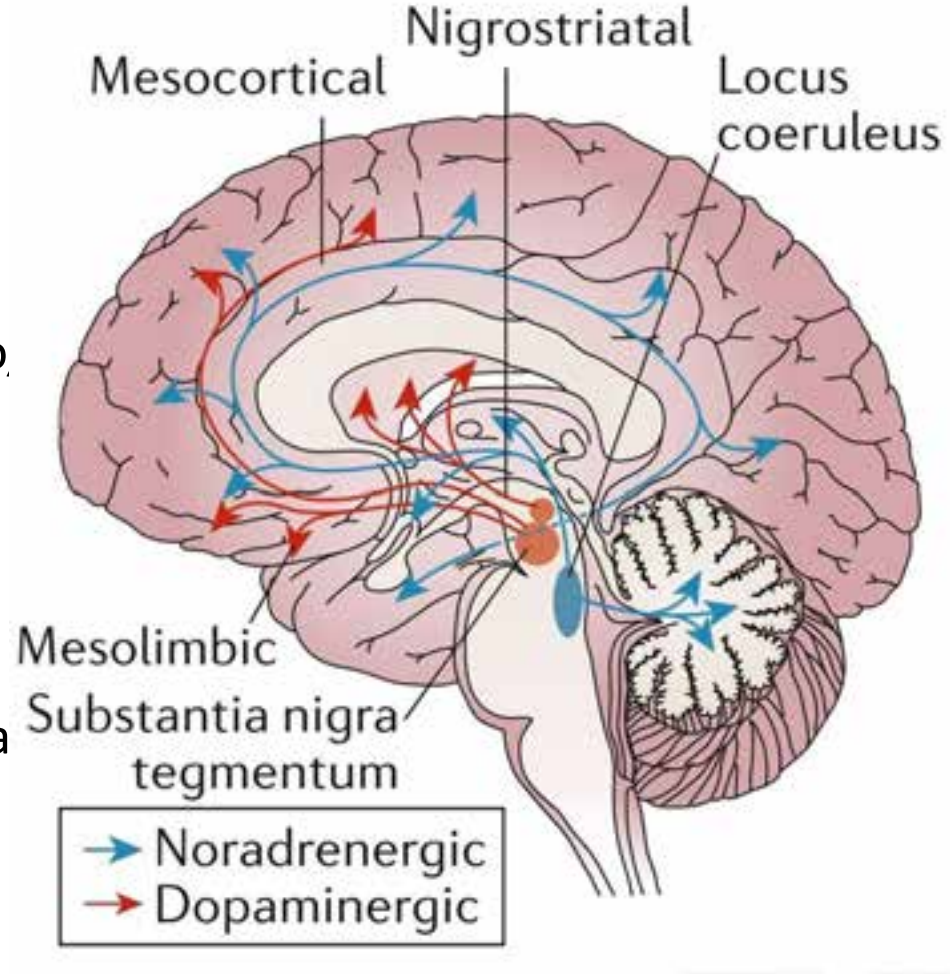


Disminución de dopamina

- ✓ Vía DA Mesocortical:
 ☐ Concentración, dificultad en planificar y organizar acciones complejas.
- ✓ **Vía DA Ganglio estriado ventral:** ☐ Refuerzo adherencias a actividades.
- ✓ Vía DA Nigroestriada: Hiperactividad, impulsividad.

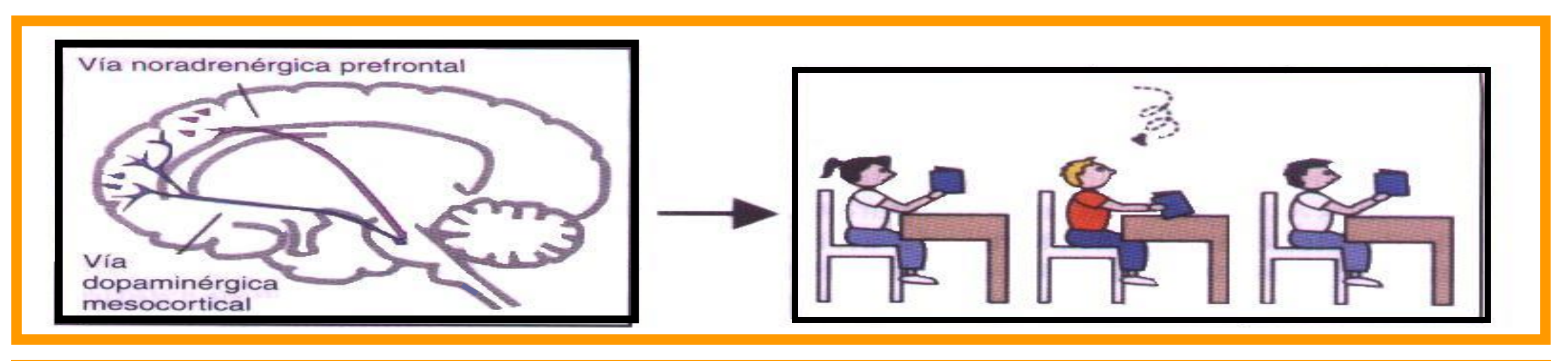
Disminución de noradrenalina

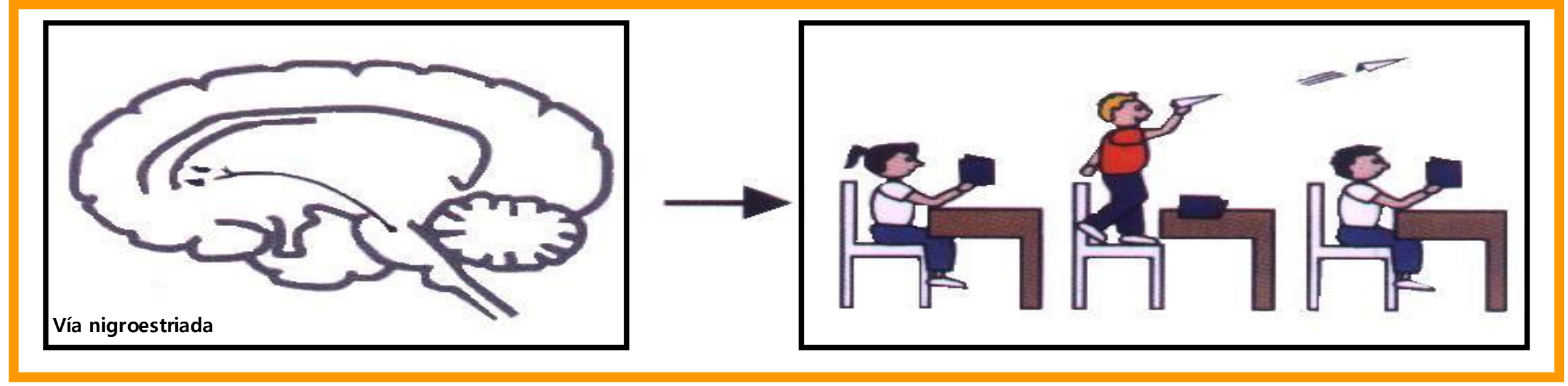
√ Vía Locus coeruleus: Desmotivación y apatía



Faraone, S.V., Radonjić, N.V. (2024). Neurobiology of Attention Deficit Hyperactivity Disorder. In: Tasman, A., *et al.* Tasman's Psychiatry. Springer, Cham. https://doi.org/10.1007/978-3-030-51366-5 33.

BASES NEUROBIOQUÍMICAS DEL TDAH





BASES GENÉTICAS DEL TDAH

"El TDAH es un TNDllo con alta heredabilidad, pero su arquitectura genética aún no está completamente esclarecida".

(Demontis et al., Nat Genet 2023,

- Estimación de heredabilidad: media del 70-80 % (Faraone y Larsson, 2019).
- Estudios familiares: Hermanos y padres de pacientes con TDAH tienen entre 5 y 10 veces más riesgo de desarrollar TDAH. (Biederman et al., 1990; Biederman et al., 1992).
- ➤ El 52% de la <u>correlación fenotípica</u> entre la <u>falta de atención</u> y la <u>hiperactividad-impulsividad</u> se explica por <u>influencias genéticas</u>.
- > Si es un hermano gemelo, se multiplica de 11 a 18 veces.
- ➤ <u>Hijo de padre con TDAH:</u> tiene probabilidad o riesgo de 60 y 90% de padecer TDAH.

- ✓ Receptor de Dopamina D4 (DRD4)
- ✓ Receptor de Dopamina D5 (DRD5)
- ✓ Transportador de Dopamina 1 (DAT1)
- ✓ Dopamina Beta Hidroxilaza (DBH)
- √ Catecol-O-Metiltransferaza (COMT)
- ✓ Mono Amino oxidaza A (MAO-A)
- ✓ Receptores de noradrenalina (ADRA 2A, 2C y 1C)
- ✓ Transportador de Noradrenalina (NET1)
- ✓ Receptores de serotonina (HTR1B y HTR2A)
- ✓ Transportador de Serotonina (5-HTT)





Discovery of the first genome-wide significant risk loci for attention deficit/hyperactivity disorder

Demontis, D., Walters, RK, Martin, J., Mattheisen, M., Als, TD, ... Bybjerg-Grauholm, J. (2018). Descubrimiento de los primeros loci de riesgo significativo de todo el genoma para el trastorno por déficit de atención / hiperactividad. Genética de la naturaleza. doi: 10.1038 / s41588-018-0269-7

NATURE GENETICS

Table 1 | Results for the genome-wide significant index variants in the 12 loci associated with ADHD identified in the GWAS metaanalysis of 20,183 individuals with ADHD and 35,191 controls

Locus	Chr	BP	Index variant	Genes	A1	A2	A1 freq	OR	P value
1	1	44184192	rs11420276	ST3GAL3, KDM4A, KDM4A-AS1, PTPRF, SLC6A9, ARTN, DPH2, ATP6V0B, B4GALT2, CCDC24, IPO13	G	GT	0.696	1.113	2.14×10 ⁻¹³
2	1	96602440	rs1222063	Intergenic	Α	G	0.328	1.101	3.07×10^{-8}
3	2	215181889	rs9677504	SPAG16	Α	G	0.109	1.124	1.39×10 ⁻⁸
4	3	20669071	rs4858241	Intergenic	T	G	0.622	1.082	1.74×10 ⁻⁸
5	4	31151456	rs28411770	PCDH7, LINC02497	Т	С	0.651	1.090	1.15 × 10 ⁻⁸
6	5	87854395	rs4916723	LINC00461, MIR9-2, LINC02060, TMEM161B-AS1	Α	С	0.573	0.926	1.58×10 ⁻⁸
7	7	114086133	rs5886709	FOXP2, MIR3666	G	GTC	0.463	1.079	1.66×10^{-8}
8	8	34352610	rs74760947	LINC01288	Α	G	0.957	0.835	1.35 × 10 ⁻⁸
9	10	106747354	rs11591402	SORCS3	Α	Т	0.224	0.911	1.34×10 ⁻⁸
10	12	89760744	rs1427829	DUSP6, POCIB	Α	G	0.434	1.083	1.82×10 ⁻⁹
11	15	47754018	rs281324	SEMA6D	T	C	0.531	0.928	2.68×10 ⁻⁸
12	16	72578131	rs212178	LINC01572	Α	G	0.883	0.891	7.68×10 ⁻⁹

Index variants are LD independent ($r^2 < 0.1$) and are merged into one locus when located with a distance <400 kb. The location (chromosome (chr) and base position (BP)), alleles (A1 and A2), allele frequency (A1 freq), odds ratio (OR) of the effect with respect to A1 and association P values from inverse-variance weighted fixed effects model of the index variant are given, along with genes within 50 kb of the credible set for the locus.

nature genetics

Article Published: 26 January 2023

Genome-wide analyses of ADHD identify 27 risk loci, refine the genetic architecture and implicate several cognitive domains

Ditte Demontis M, G. Bragi Walters, Georgios Athanasiadis, Raymond Walters, Karen Therrien, Trine

Tollerup Nielsen, Leila Farajzadeh, Georgios Voloudakis, Jaroslav Bendl, Biau Zeng, Wen Zhang, Jakob

Grove, Thomas D. Als, Jinjie Duan, F. Kyle Satterstrom, Jonas Bybjerg-Grauholm, Marie Bækved-

Hansen, Olafur O. Gudmundsson, Sigurdur H. Magnusson, Gisli Baldursson, Katrin Davidsdottir, Gyda S.

Haraldsdottir, Esben Agerbo, Gabriel E. Hoffman, ADHD Working Group of the Psychiatric Genomics

Consortium, iPSYCH-Broad Consortium, ... Anders D. Børglum ☐ + Show authors

Nature Genetics 55, 198-208 (2023) | Cite this article

Meta-analisis de estudios de asociación genomica (GWAS): Identificar nuevos loci de riesgo, caracterizar mejor la arquitectura genetica del Tx y explorar cómo estos riesgos genéticos se relacionan con dominios cognitivos 38.691 individuos con TDAH - 186.843 controles

Genomic locus	chr	bp	rs ID	AI	A2	Nearby genes	Freq. cases	Freq. controls	OR	s.c.	P-value	Novel
1	1	44076469	rs549845	G	Α	PTPRF, KDM4A	0.321	0.326	1.082	0.01	9.03E-15	no
2	2	145714354	rs1438898	Α	C		0.762	0.769	1.065	0.01	4.88E-09	yes
3	3	20724204	rs2886697	G	Α		0.634	0.643	1.061	0.01	7.90E-10	no
4	3	43691501	rs9877066	G	Α	SNRK, ANOI0, ABHD5	0.944	0.951	0.888	0.02	6.60E-09	yes
5	3	49916710	rs7613360	с	т	TRAIP, CAMKV, MSTIR, CTD-2330K9-3, MONIA	0.598	0.614	0.948	0.01	3.18E-08	yes
6	3	51884072	rs2311059	G	Α	IQCF3, IQCF2, IQCF5, IQCF1	0.314	0.308	0.944	0.01	3.16E-08	yes
7	3	71499401	rs17718444	C	T	FOXP1	0.695	0.660	1.063	0.01	2.87E-09	yes
8	3	87015142	rs114142727	C	G	VGLL3	0.988	0.988	1.285	0.04	5.13E-10	yes
9	4	112217523	rs17576773	C	T		0.888	0.880	1.101	0.02	1.63E-10	yes
10	4	147099654	rs6537401	G	A	LSM6, RP11-6L6.2, SLC10A7	0.660	0.655	0.945	0.01	1.40E-08	yes
11	5	87854395	rs4916723	A	c	0200000	0.553	0.573	0.918	0.01	9.48E-15	no
12	5	103964585	rs77960	G	A		0.665	0.682	0.929	0.01	2.46E-13	yes
13	5	144474779	rs10875612	С	т		0.483	0.470	0.947	0.01	5.62E-09	yes
14	6	70858701	rs2025286	Α	С	COL19A1	0.553	0.550	0.947	0.01	4.00E-09	yes
15	7	67685754	rs73145587	Α	т		0.910	0.901	1.107	0.02	3.67E-08	yes
16	7	114158954	rs9969232	G	Α	FOXP2	0.344	0.382	0.934	0.01	9.98E-12	no
17	8	93277087	rs7844069	T	G		0.428	0.399	1.057	0.01	6.74E-09	yes
18	8	145802447	rs4925811	т	G	C8orf82, ARHGAP39	0.515	0.531	0.944	0.01	8.30E-09	yes
19	10	8784773	rs11255890	C	Α		0.389	0.401	1.054	0.01	4.14E-08	yes
20	10	106453832	rs11596214	G	Α	SORCS3	0.597	0.569	1.054	0.01	3.17E-08	no
21	11	28602173	rs2582895	C	Α	METTL15	0.634	0.618	1.075	0.01	4.09E-14	yes
22	12	89771903	rs704061	T	C	DUSP6, POCIB	0.554	0.560	0.946	0.01	2.30E-09	no
23	14	98690923	rs76284431	T	Α		0.847	0.842	0.922	0.01	1.19E-09	yes
24	16	61966703	rs1162202	C	T	CDH8	0.630	0.606	1.063	0.01	1.92E-09	yes
25	18	5871800	rs76857496	C	Α	TMEM200C	0.870	0.859	1.083	0.01	1.24E-08	yes
26	18	50625779	rs7506904	G	Α	DCC	0.343	0.372	0.946	0.01	1.24E-08	yes
27	20	21250843	rs6082363	Т	С	XRN2, NKX2-4	0.296	0.291	1.073	0.01	4.38E-12	yes

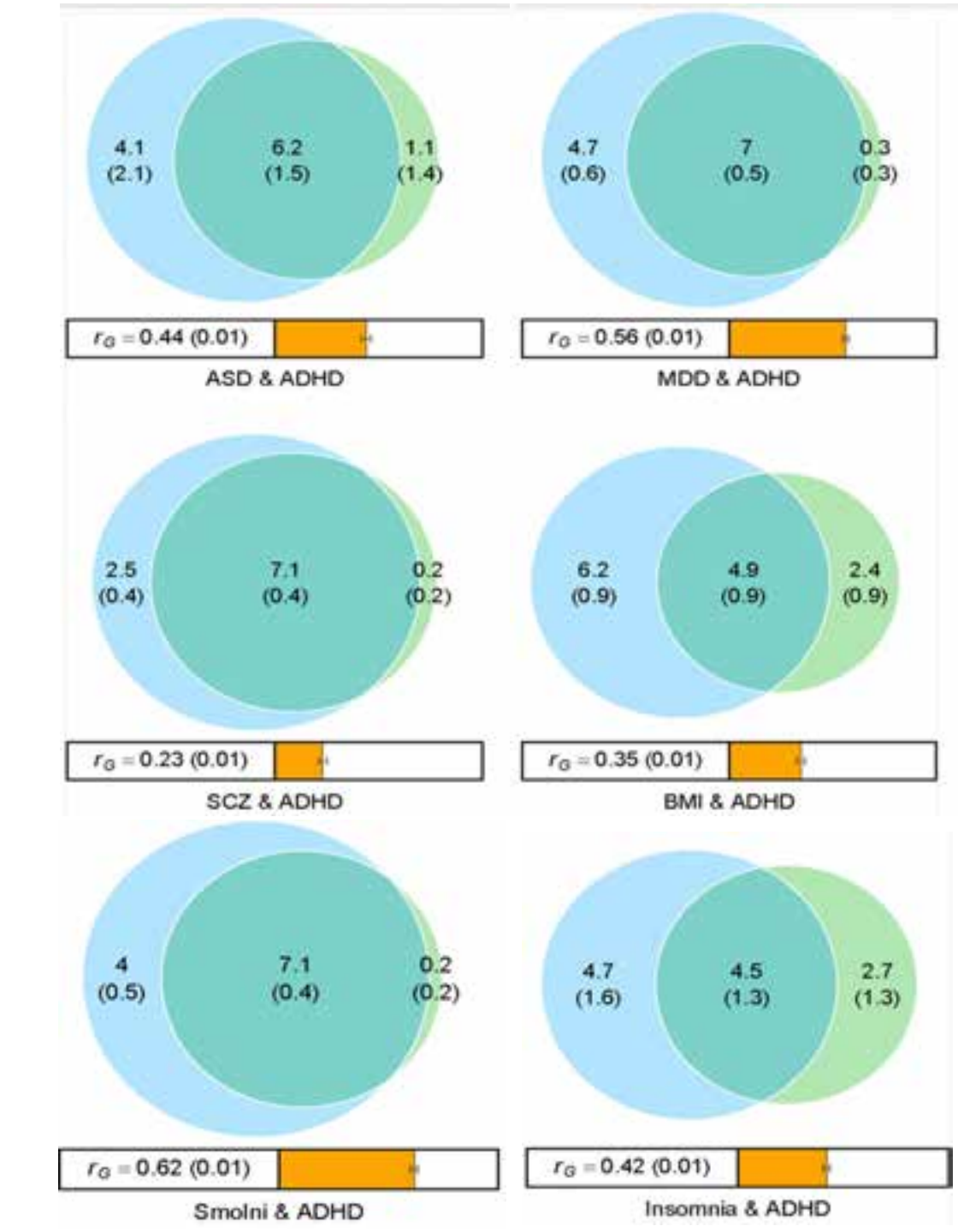
Hallazgos Principales

- 27 loci de riesgo genómico
- 76 genes candidatos de riesgo expresados durante el desarrollo temprano del cerebro.
- El riesgo genético del TDAH se asoció con varios subtipos neuronales específicos del cerebro y neuronas dopaminérgicas del cerebro medio.
 - Analisis de exomas: <u>Variantes raras</u> que provocan **truncamiento de proteinas** en un conjunto de genes de riesgo para TDAH.
 - 1 genes en Variantes comunes y raras: SORCS3.
 - El TDAH es un trastorno del neurodesarrollo con un componente genético importante.

Se estima que entre **84-98%** de las variantes genéticas que influyen en el TDAH, también están involucrados en otros trastornos psiquiátricos.

El riesgo de variante común para TDAH se asoció con deterioro en dominios cognitivos complejos: razonamiento verbal, FE y la atención.

Estos resultados pueden ayudar a identificar nuevos targets biológicos a tener en cuenta en ttos como los de **Neuromodulación**.



Endofenotipos genómicos del trastorno por déficit de atención/hiperactividad

Alberto Fernández-Jaén, Daniel Martín Fernández-Mayoralas, Beatriz Calleja-Pérez, Nuria Muñoz-Jareño, Sonia López Arribas

www.neurologia.com Rev Neurol 2012; 54 (Supl 1): S81-S87

"Estos genes son los que condicionarían el desarrollo, estructuración y funcionamiento de algunas áreas cerebrales que son a su vez las responsables de la manifestación de patrones cognitivos y conductuales propios de la sintomatología del TDAH".

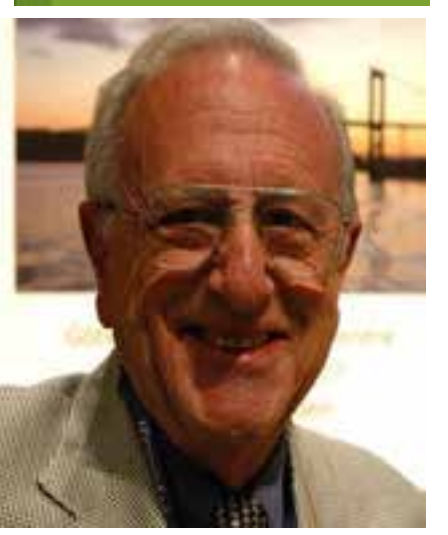
BASES NEUROPSICOLÓGICAS

√Déficit en:

- Funciones atencionales
- Funciones ejecutivas
- Mecanismos de control inhibitorio

- √3 síndromes de disfunción prefrontal (Fuster)
 - Medial o del cíngulo anterior
 - ✓ Dorsolateral
 - Orbitofrontal





Trastornos de las funciones ejecutivas. Diagnóstico y tratamiento

Iván D. Delgado-Mejía, Máximo C. Etchepareborda Rev Neurol 2013; 57 (Supl 1): S95-S103



Los pacientes con daño en la corteza prefrontal muestran diferentes patrones clínicos en relación con la localización y la extensión de la misma.

Así podremos distinguir tres síndromes prefrontales diferentes y definidos por las zonas

involucradas a los que se denomina:

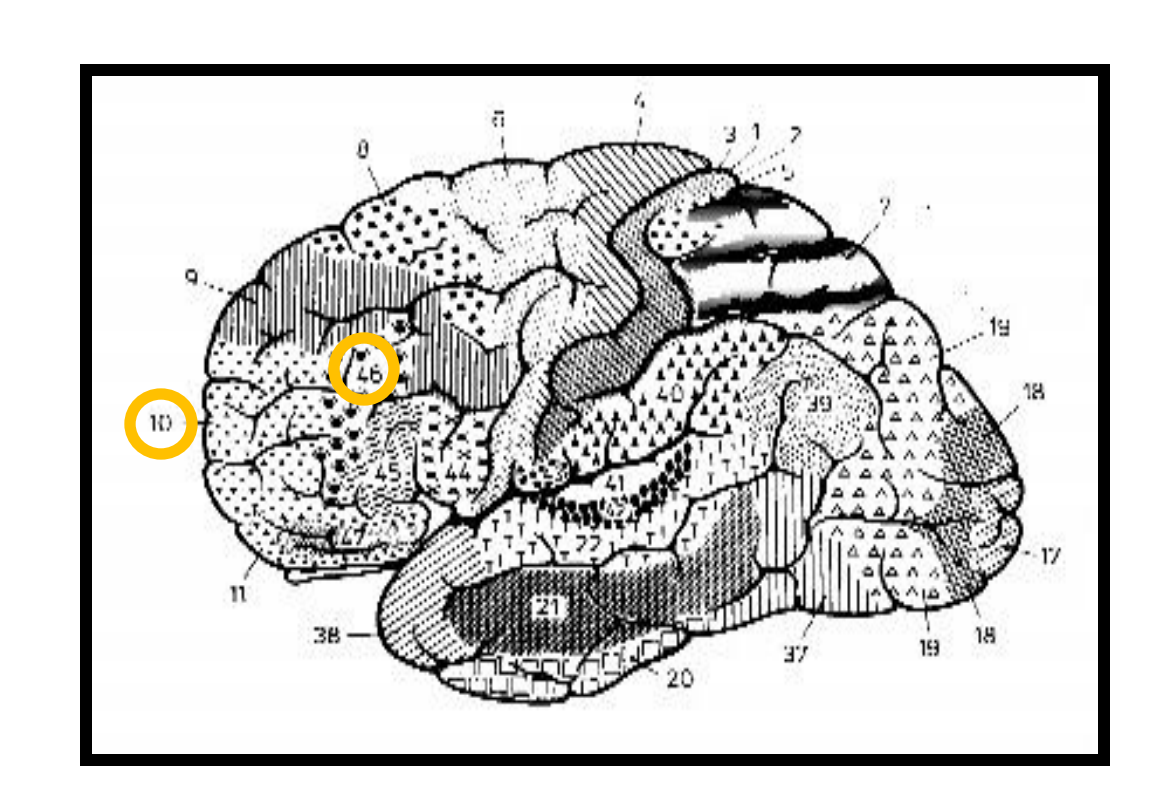
- ✓ Síndrome prefrontal dorsolateral
- ✓ Síndrome prefrontal orbitofrontal
- ✓ Síndrome prefrontal medial o del cíngulo anterior.



Síndrome prefrontal dorsolateral, provocará especialmente:

Severa alteración de las funciones ejecutivas, lo que generará en el paciente un alto grado de desorganización.

En los pacientes con TDAH son los que se asocian con trastornos cognitivos, especialmente rigidez cognitiva y gran variabilidad de respuestas.

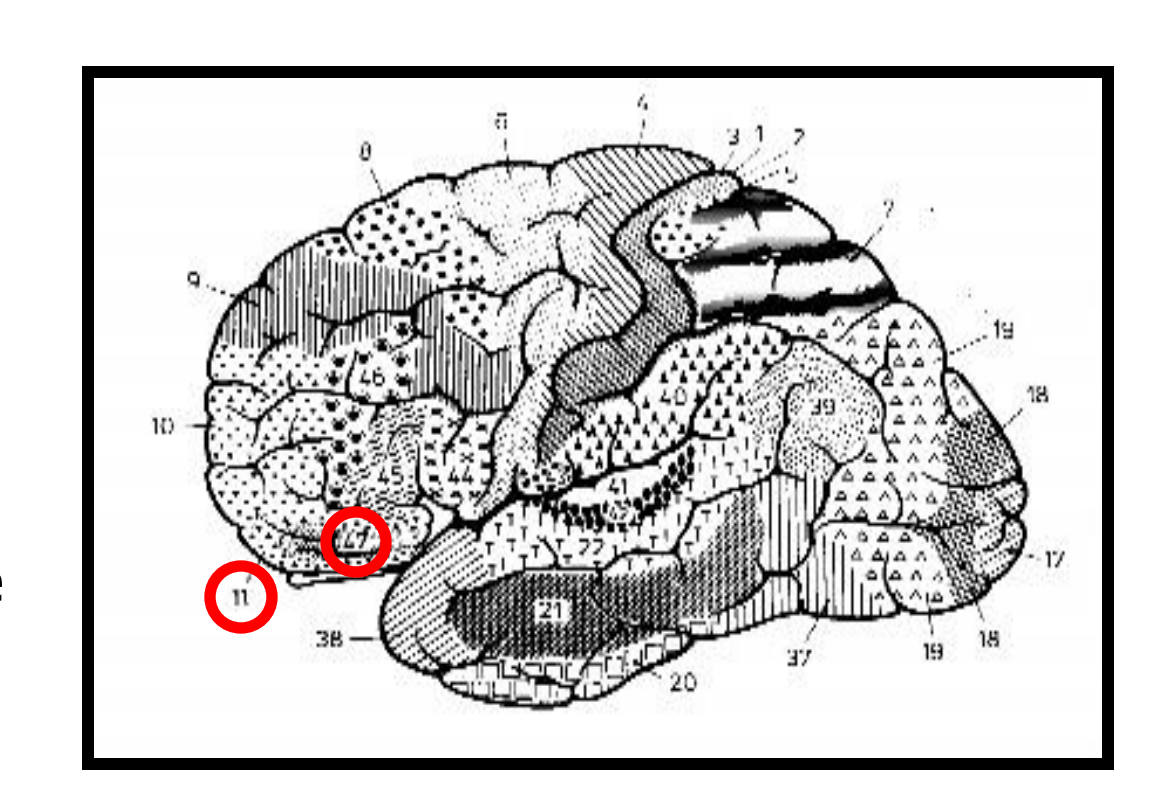




Síndrome prefrontal orbitofrontal, provocará especialmente:

- ✓ Una conducta desinhibida.
- ✓ Alta tasa de impulsividad.
- ✓ Conducta antisocial.

En los pacientes con TDAH son los que se asocian a escaso control inhibitorio (ausencia o pobre control de espera, control de impulsos y control de interferencia) asociado o no a conducta antisocial.

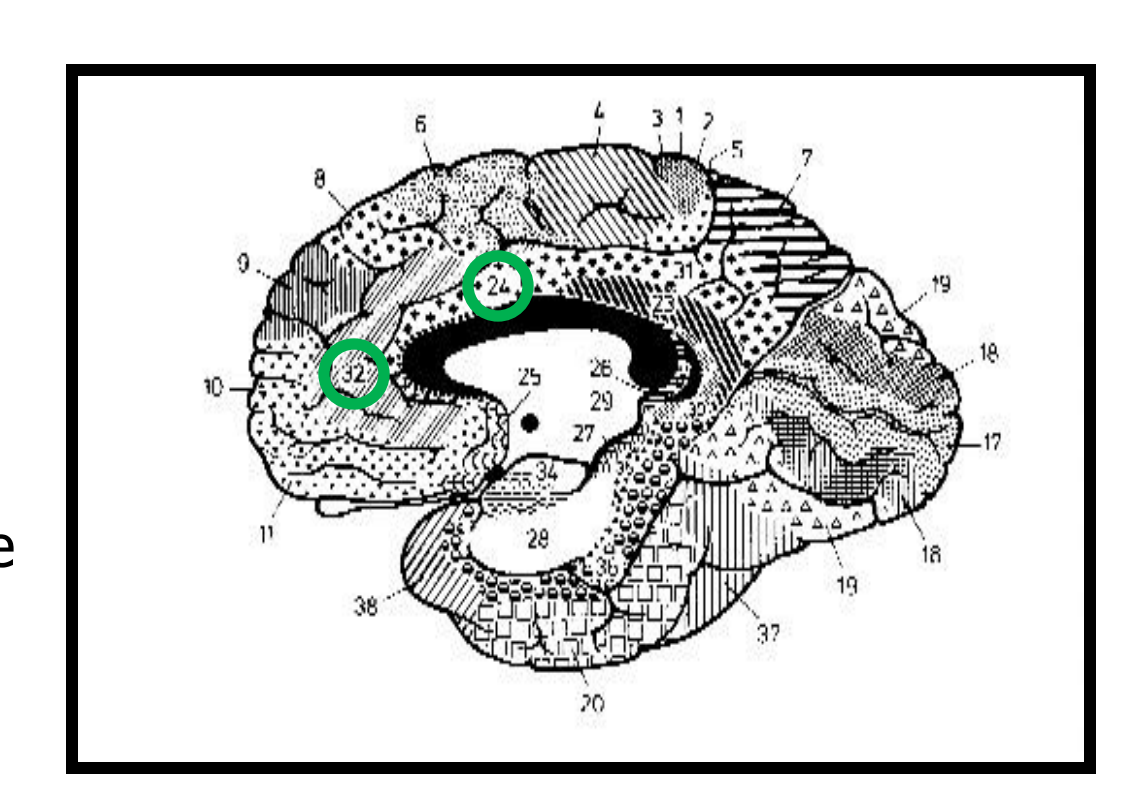




Síndrome prefrontal medial o del cíngulo anterior

- ✓ Personas desmotivadas
- ✓ Con apatía
- ✓ Pasividad e inercia.

En los pacientes con TDAH son los inatentos y que no muestran ni hiperactividad ni impulsividad.

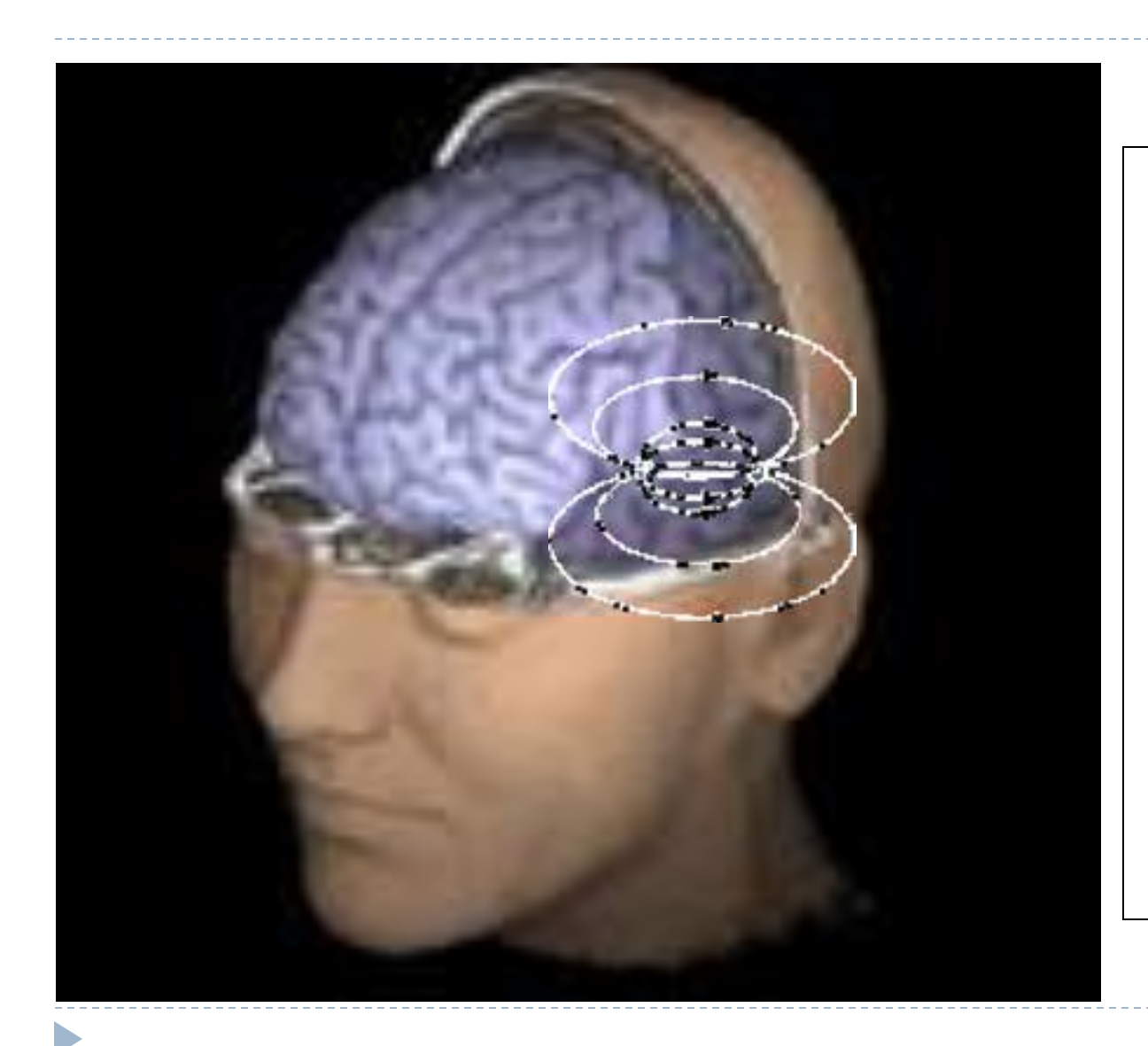






Entonces para realizar una adecuada evaluación de este cuadro se debe ir más allá de los checklist...

MEG



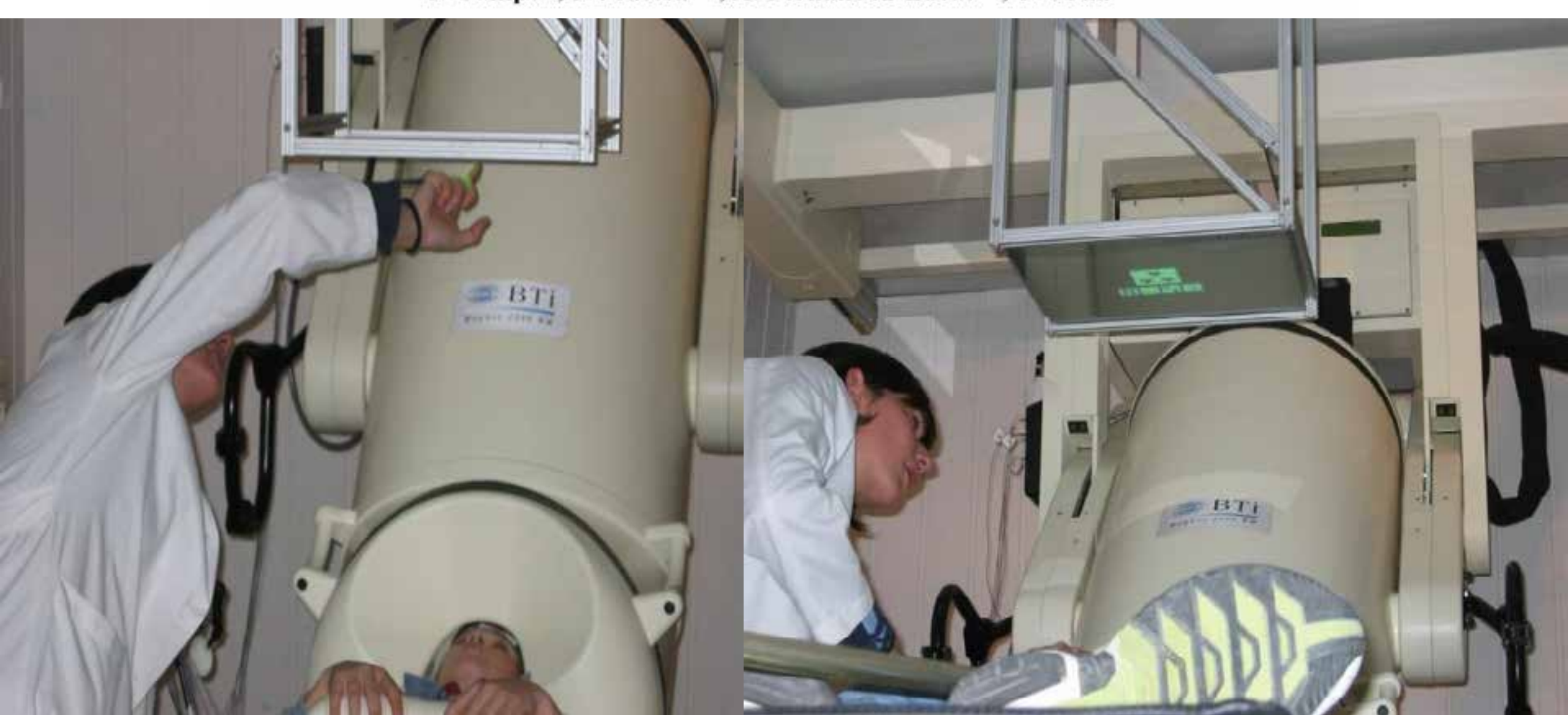
La Magnetoencefalografía (MEG) es una novedosa técnica de imagen neurofuncional.

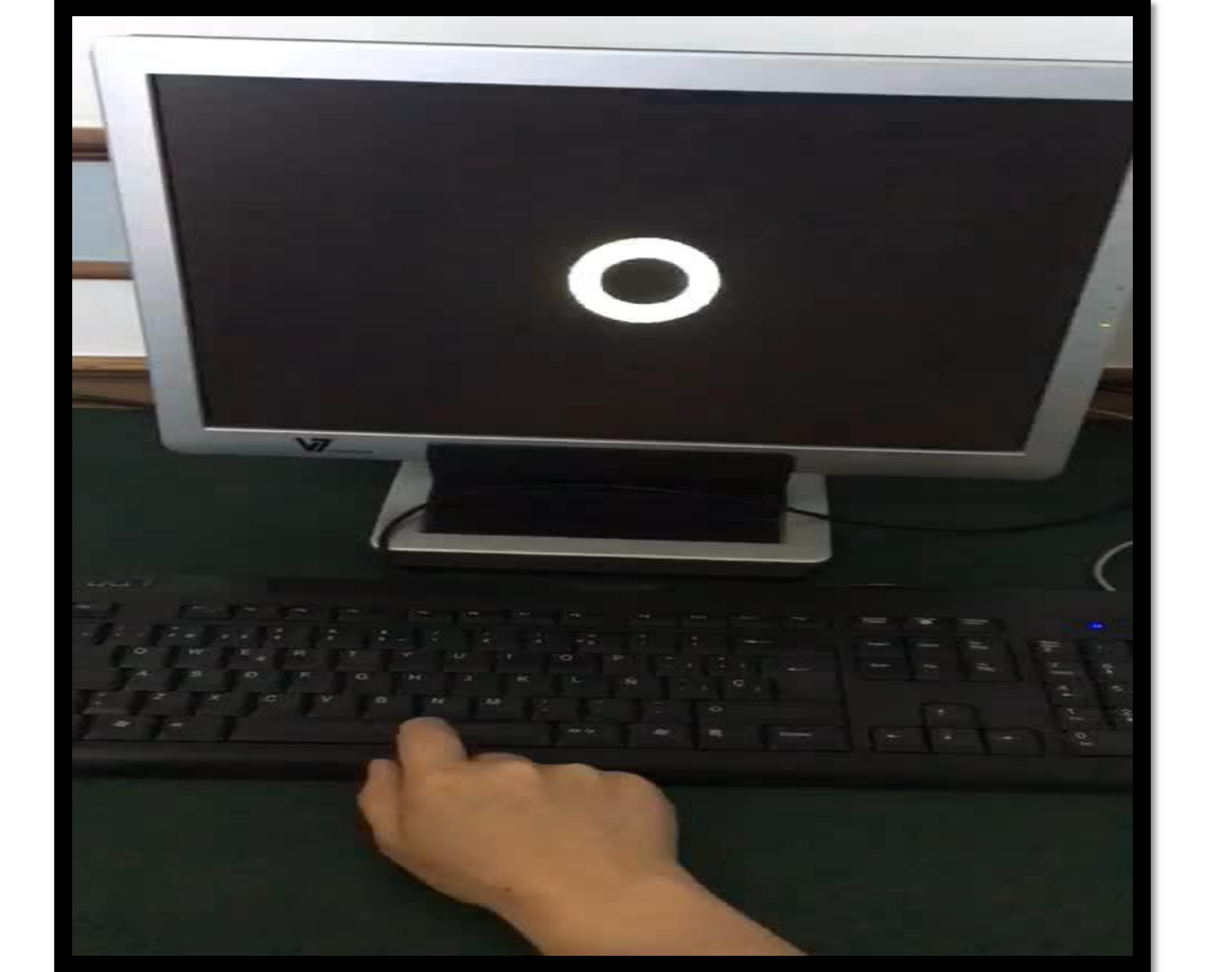
Registra, desde la superficie craneal, el campo magnético generado por fuentes neuronales cerebrales.

Determina actividad neuronal cortical directa sin distorsión con una resolución **temporal** de 0.1 ms y **espacial** de <1mm.

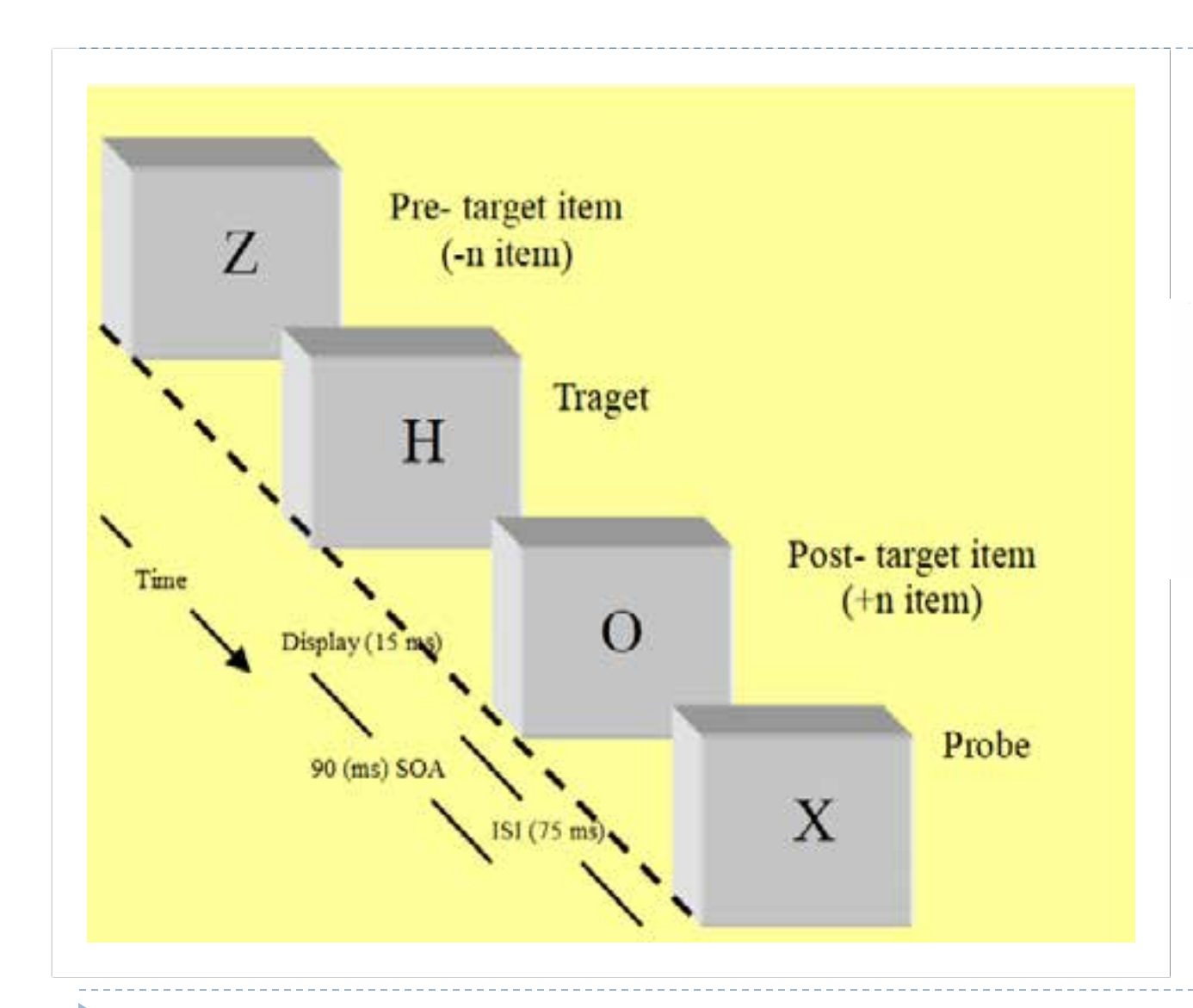
Sustrato neurofuncional de la rigidez cognitiva en el trastorno por déficit de atención con hiperactividad: resultados preliminares

M.C. Etchepareborda ^a, F. Mulas ^b, A. Capilla-González ^{c,d}, S. Fernández-González ^e, P. Campo ^c, F. Maestú ^{c,d}, A. Fernández-Lucas ^{c,f}, T. Ortiz ^{c,f}





CPT





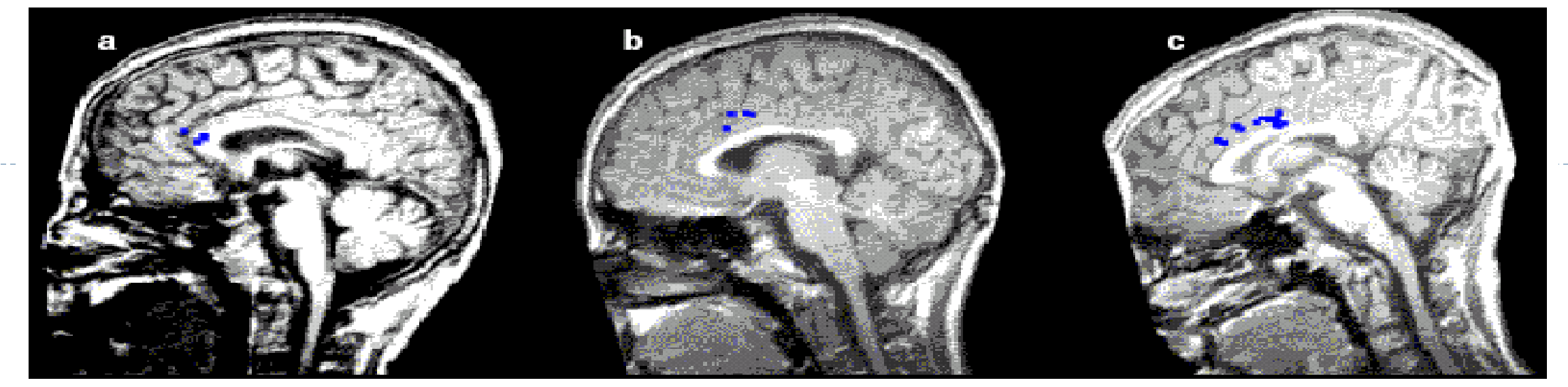
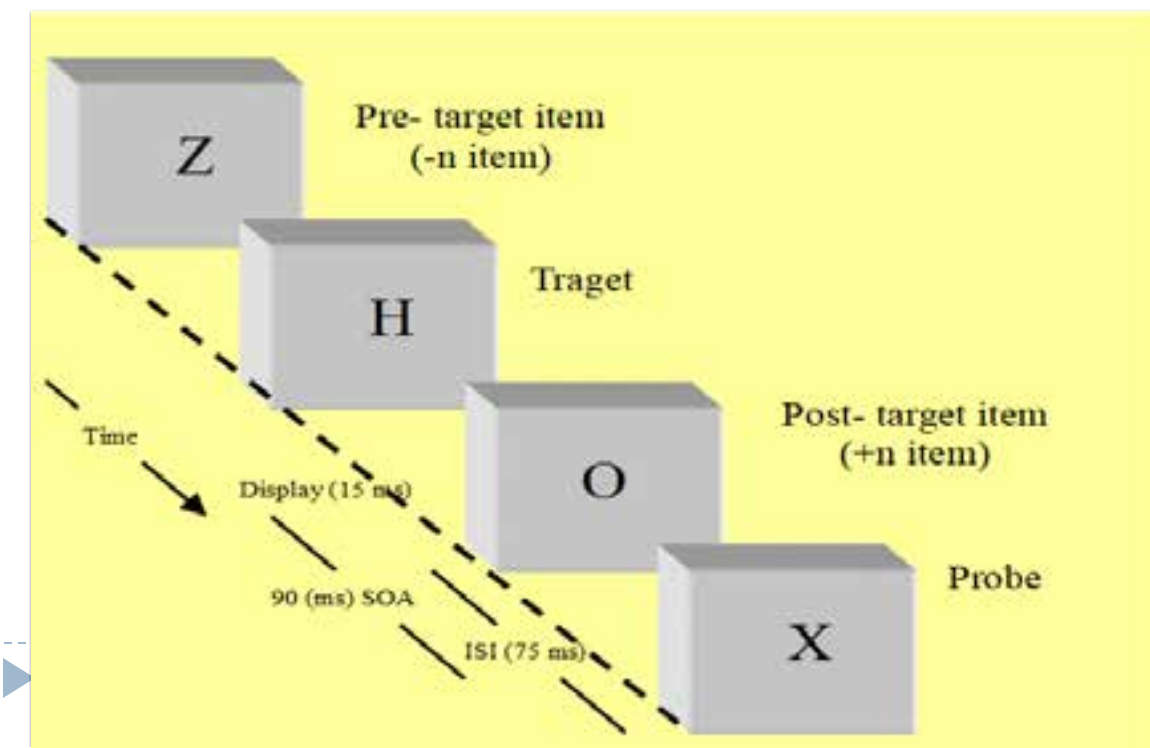


Figura 3. Resultados de la MEG para un sujeto representativo de cada grupo. Se muestra la activación del cíngulo anterior del hemisferio izquierdo durante los primeros 400 ms en la condición de cambio: a) TDAH-combinado; b) TDAH-inatento; c) Control.



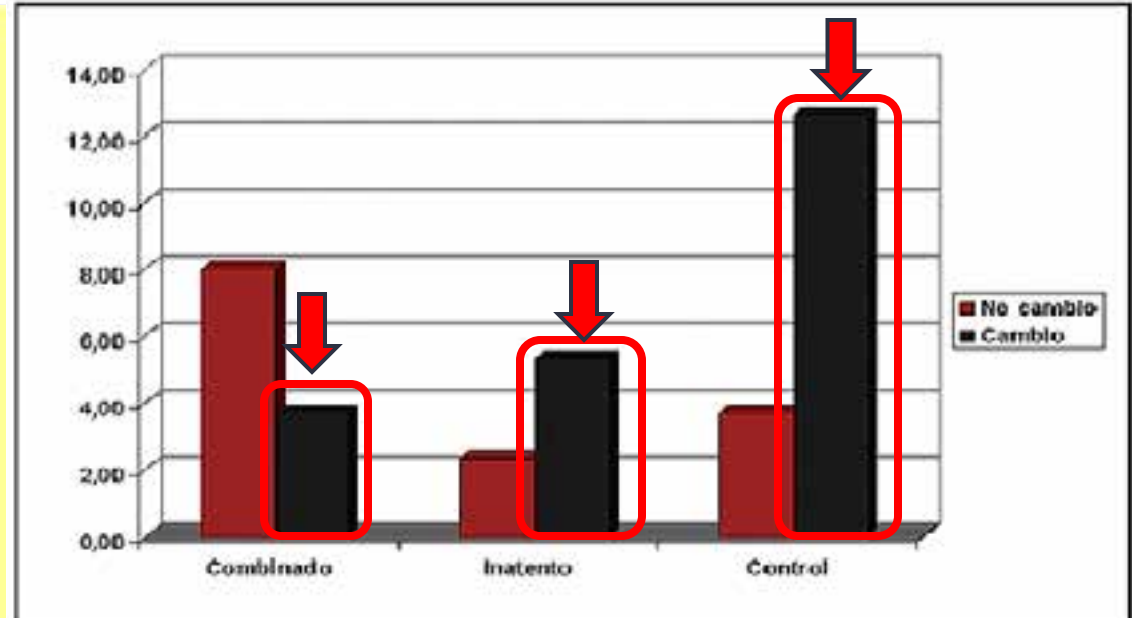


Figura 2. Número de dipolos observados en el cíngulo anterior del hemisferio izquierdo durante los primeros 400 ms, en las condiciones de cambio y no cambio para los tres grupos.



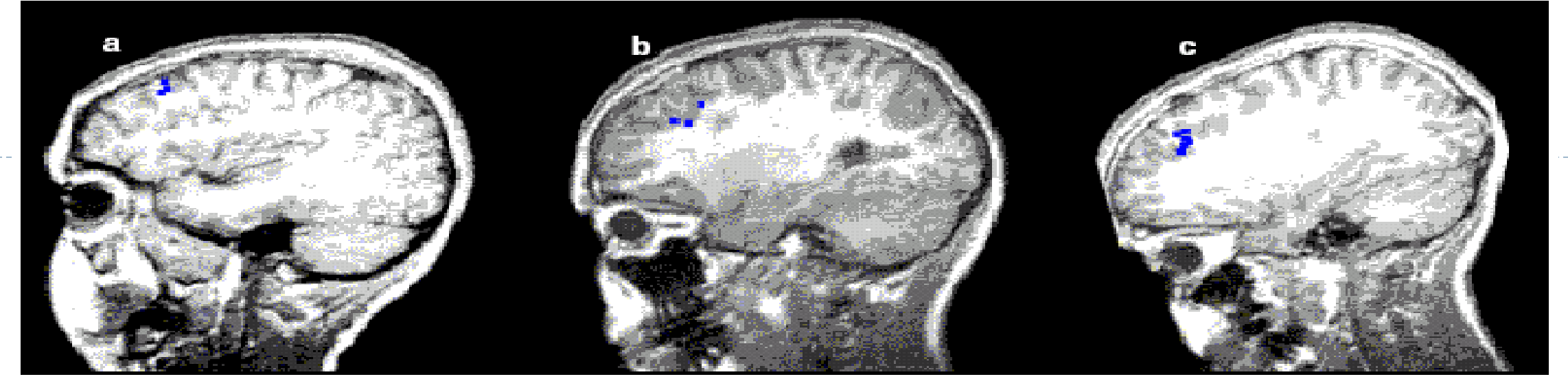


Figura 5. Resultados de la MEG para un sujeto representativo de cada grupo. Se muestra la activación de la corteza prefrontal dorsolateral del hemisferio izquierdo durante los primeros 400 ms en la condición de cambio: a) TDAH-combinado; b) TDAH-inatento; c) Control.

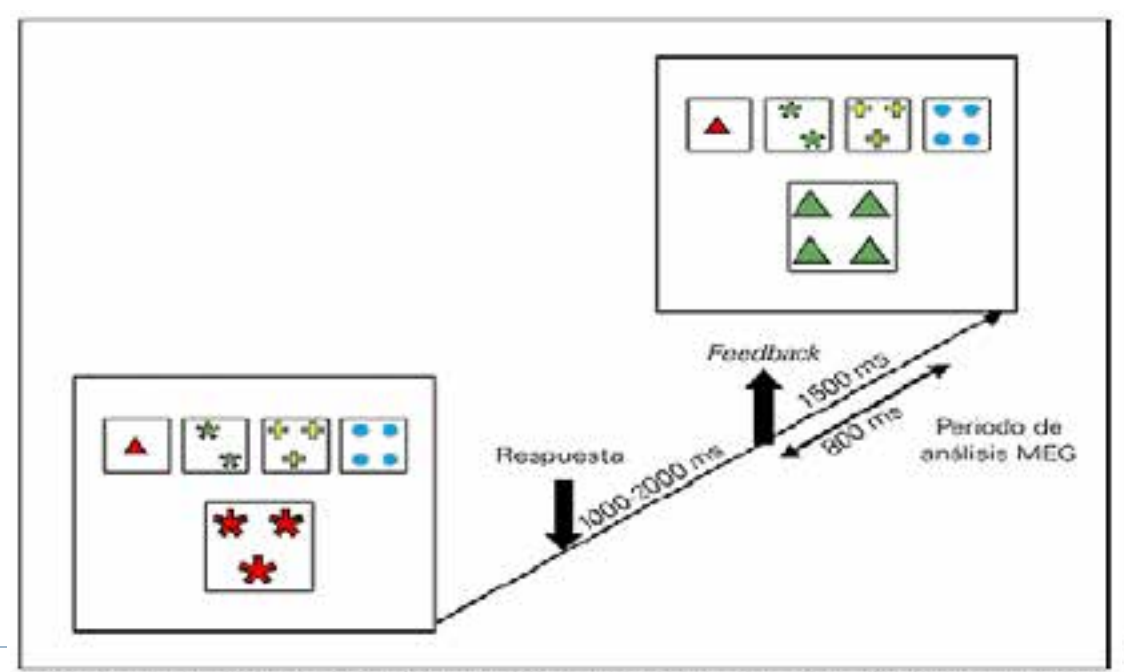


Figura 1. Protocolo de estimulación: WCST y período de análisis de la actividad magnética cerebral registrada mediante MEG.

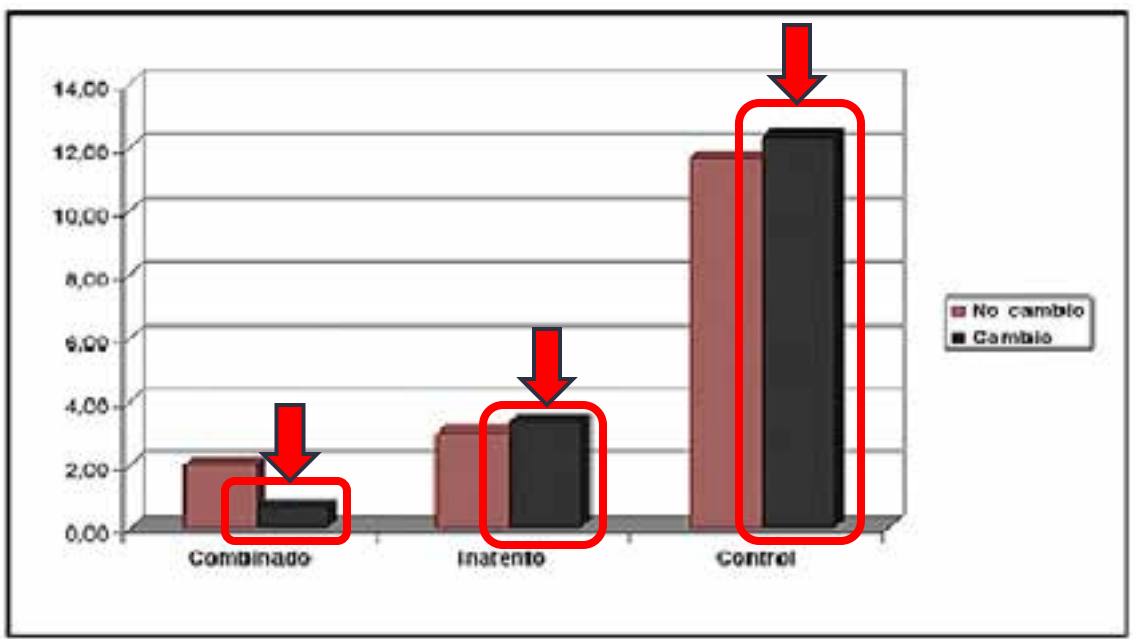
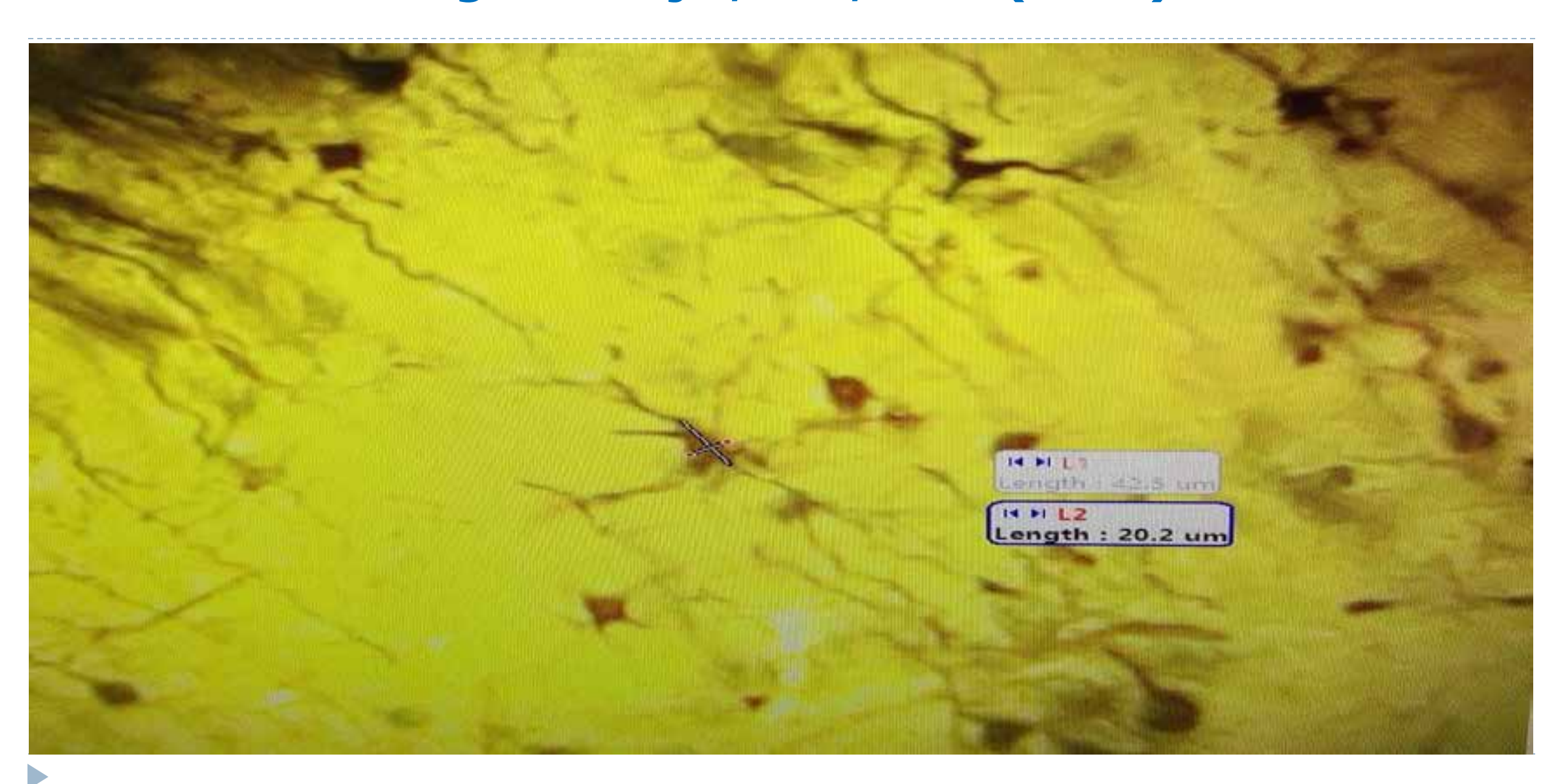


Figura 4. Número de dipolos observados en la corteza prefrontal dorsolateral del hemisferio izquierdo durante los primeros 400 ms, en las condiciones de cambio y no-cambio para los tres grupos.

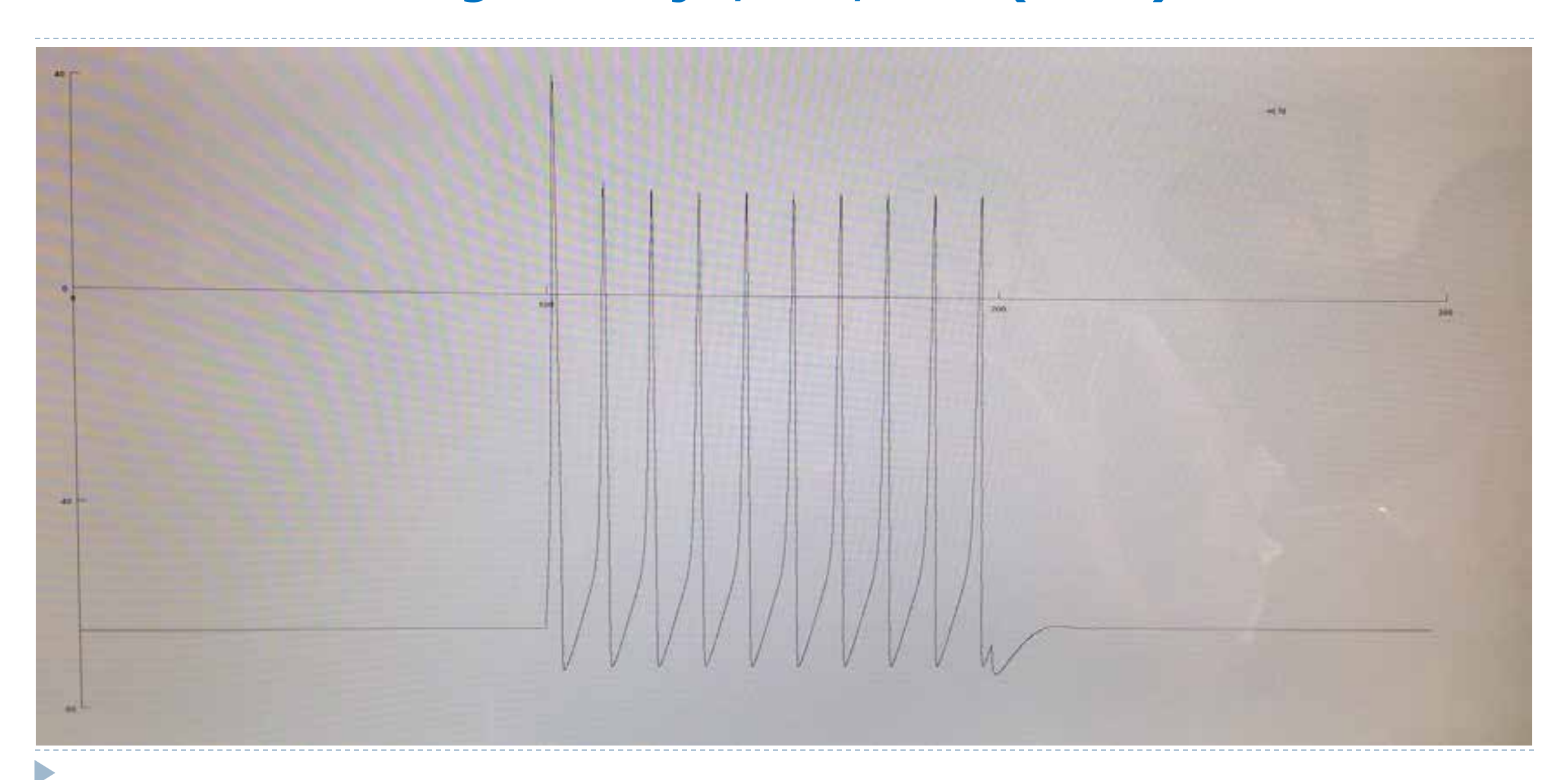


Conocer los correlatos Genéticos, NA, NBQ y Npscos

Delgado-Mejía, I.D., et al (2015).



Delgado-Mejía, I.D., et al (2015).















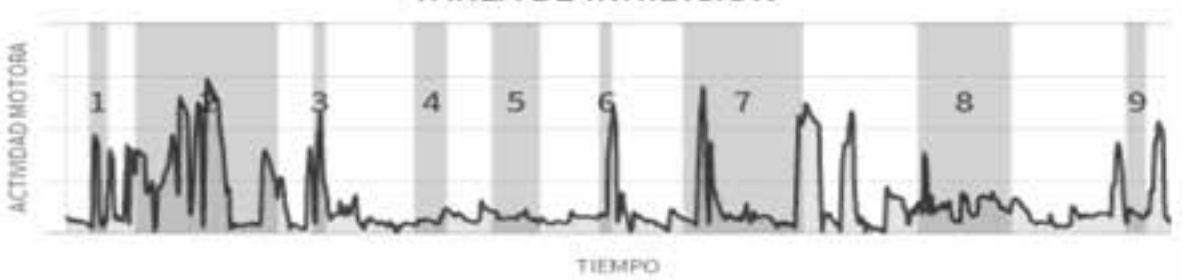
Puntuaciones percentiles (PC)

Puntuaciones direct as (PD)

Puntuaciones típicas (PT)

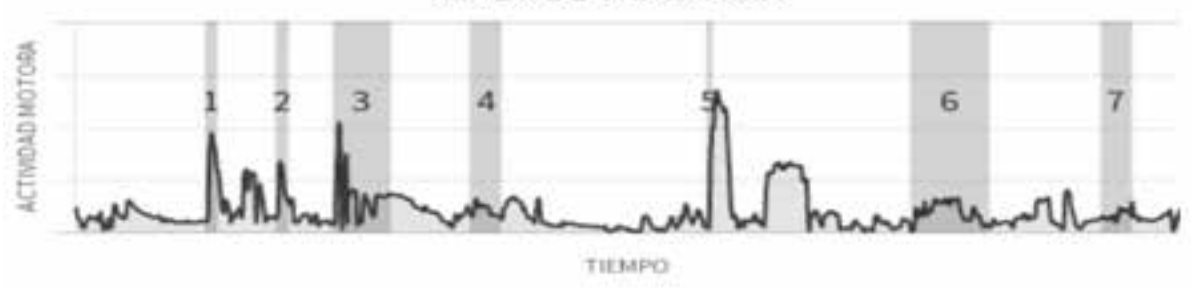
	PC	PD	PT
Atención: O misiones Totales	81	58	59
Control inhibitorio: Comisiones totales	99	116	80
Procesamiento: Media TR-Aciertos	10	751.31	37
Vigilancia: (o) Desviación típica TR-Aciertos total	99	637.1	80
Actividad motora total	97	2.1	83

TAREA DE INHIBICIÓN



	TAREAI
1. Bola de papel	VISUAL
2. Paseo del profesor	VISUAL
3. Cuchicheo a la derecha	AUDITIVO
4. Se cae el boli del profesor	VISUAL
5. Un niño pasa una notita	VISUAL
6. Tos a la izquierda	AUDITIVO
7. Un niño entrega una hoja al profesor	VISUAL
8. Pasa una ambulancia	VISUAL
9. Suena una campana	AUDITIVO

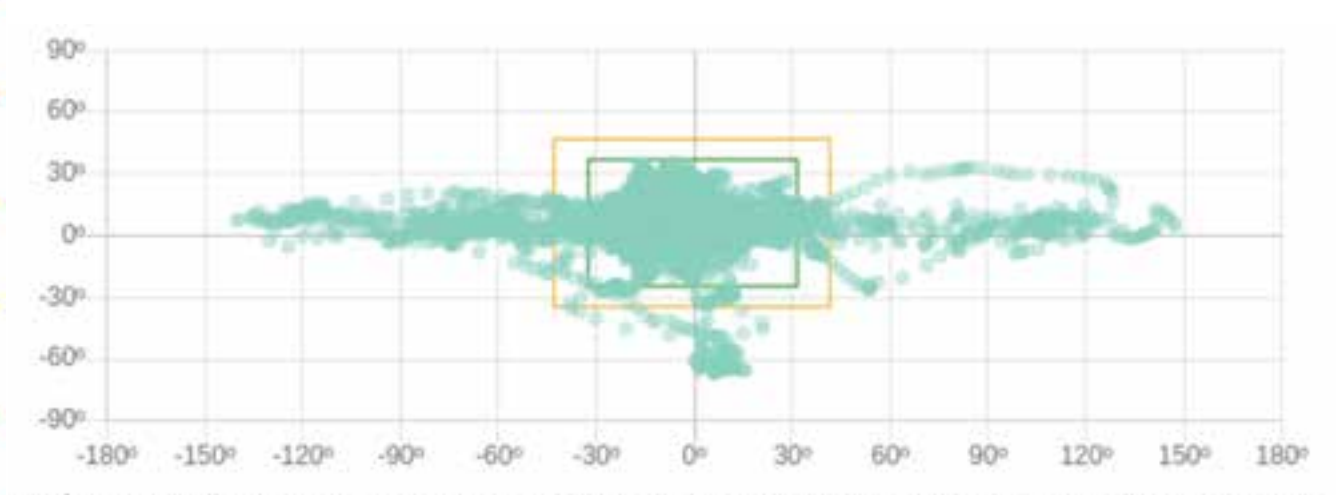
TAREA DE VIGILANCIA



	TAREA 2
1. Cuchicheo a la izquierda	AUDITIVO
2. Tos a la derecha	AUDITIVO
3. Ruido de pasos en el pasillo	AUDITIVO
4. Niño izquierda levanta la mano	VISUAL
5. Se oyen risas	AUDITIVO
6. Alguien toca a la puerta	VISUAL
7. Niño derecha levanta la mano	VISUAL

PUNTUACIONES TÍPICAS NORMALIZADAS 50 30 20 Media TR-aciertos dTR-aciertos Omisiones Comisiones O Visual Auditivo

	VISUAL				AUDITIVO			
	PC	PD	PT	PC	PD	PT		
Omisiones Totales	69	29	55	95	29	67		
Comisiones totales	99	59	78	99	57	80		
Media TR-Aciertos	22	652.11	42	10	860.78	37		
(o) Desviación típica TR-Aciertos total	97	600.66	70	99	657.89	80		



El índice de actividad motora puede reflejar, entre otras cosas, la tendencia a distraerse por estímulos externos (ver gráfica de distractores); la actividad motora estéril (sin relación con distractores) o, en el caso de poca actividad pero mala ejecución de la tarea, apuntar a distractores internos (ver gráfica de calidad de la atención).









TIP 5 EN LA EVALUCIÓN DEL TDAH

Eva Npsca Ecológica

- Los primeros **5** años de vida son críticos en el desarrollo de las funciones ejecutivas.
- Los cambios observados en la capacidad y competencia ejecutiva guardan una estrecha relación con los procesos madurativos de la CPF.
- El funcionamiento ejecutivo inicia su desarrollo antes de lo que previamente se pensaba. En edades tempranas ya es posible observar cómo emergen diversas capacidades cognitivas que posteriormente constituirán lo que conocemos como FE.

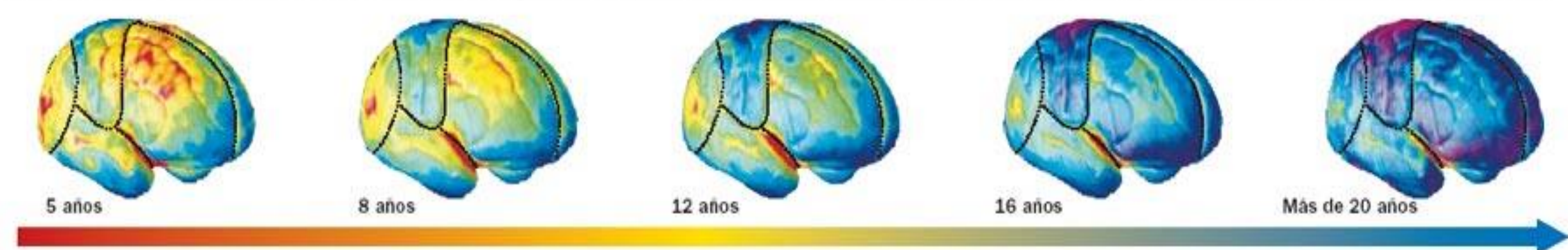


Dynamic mapping of human cortical development during childhood through early adulthood

Nitin Gogtay*[†], Jay N. Giedd*, Leslie Lusk*, Kiralee M. Hayashi[‡], Deanna Greenstein*, A. Catherine Vaituzis*, Tom F. Nugent III*, David H. Herman*, Liv S. Clasen*, Arthur W. Toga[‡], Judith L. Rapoport*, and Paul M. Thompson[‡] *Child Psychiatry Branch, National Institutes of Mental Health, National Institutes of Health, Bethesda, MD 20892; and [‡]Laboratory of Neuro Imaging, Department of Neurology, University of California School of Medicine, Los Angeles, CA 90095-1769

Las etapas de la maduración

En el proceso de maduración se produce una pérdida de sustancia gris. Esto sería producto de la eliminación de conexiones neuronales no utilizadas y del desarrollo de las funciones superiores del adulto.



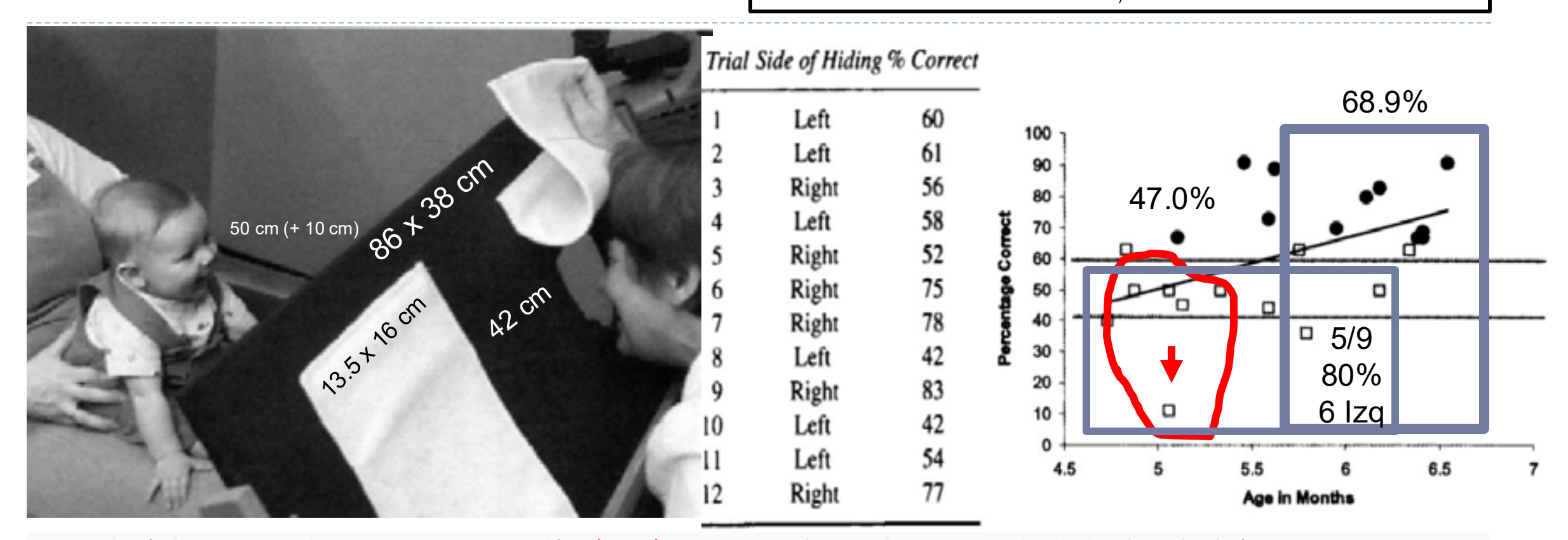
En las imágenes, el color rojo indica mayor cantidad de sustancia gris y el azul, menos. La sustancia gris disminuye en una oleada desde atrás hacia adelante a medida que el cerebro madura. La corteza frontal, relacionada con la toma de decisiones y razonamiento, es una de las últimas en madurar.

The Onset of Working Memory J. Steven Reznick, Judy D. Mollon, Barbara Davis Goldman, and Jessica Snyder in Infants

Department of Psychology

INFANCY, 6(1), 145-154 Copyright © 2004, Lawrence Erlbaum Associates, Inc.

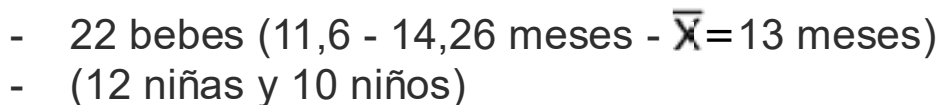
Bebés entre 4.5 y 6.5 meses de edad (15 niños y 11 niñas). (19 de las familias eran de origen europeo-americano, 2 eran asiáticoamericanas y 2 eran afroamericanas University of North Carolina at Chapel Hill



Se utilizó la tarea de respuesta tardía (TRT) para explorar la capacidad de los bebés pequeños para recordar cuál de las 2 ubicaciones era correcta en 12 ensayos después de un retraso de 1 a 2 segundos. El rendimiento mejoró con la edad, particularmente después de 5,5 meses. Estos hallazgos sugieren un inicio de memoria de trabajo apreciable para muchos bebés a mediados de su sexto mes.

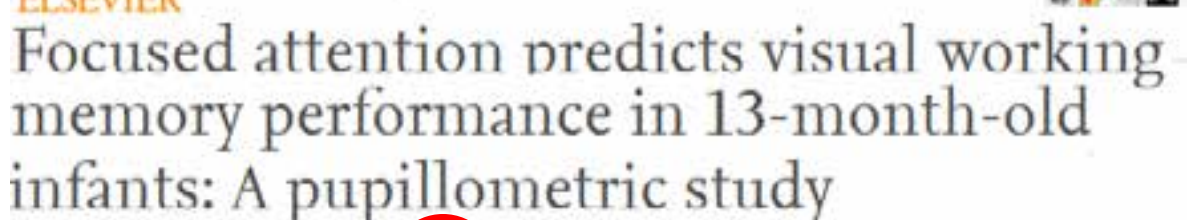
Developmental Cognitive Neuroscience

Volume 36, April 2019, 100616 Chen Cheng, Zsuzsa Kaldy, Erik Blaser A ≅ University of Massachusetts Boston, United States



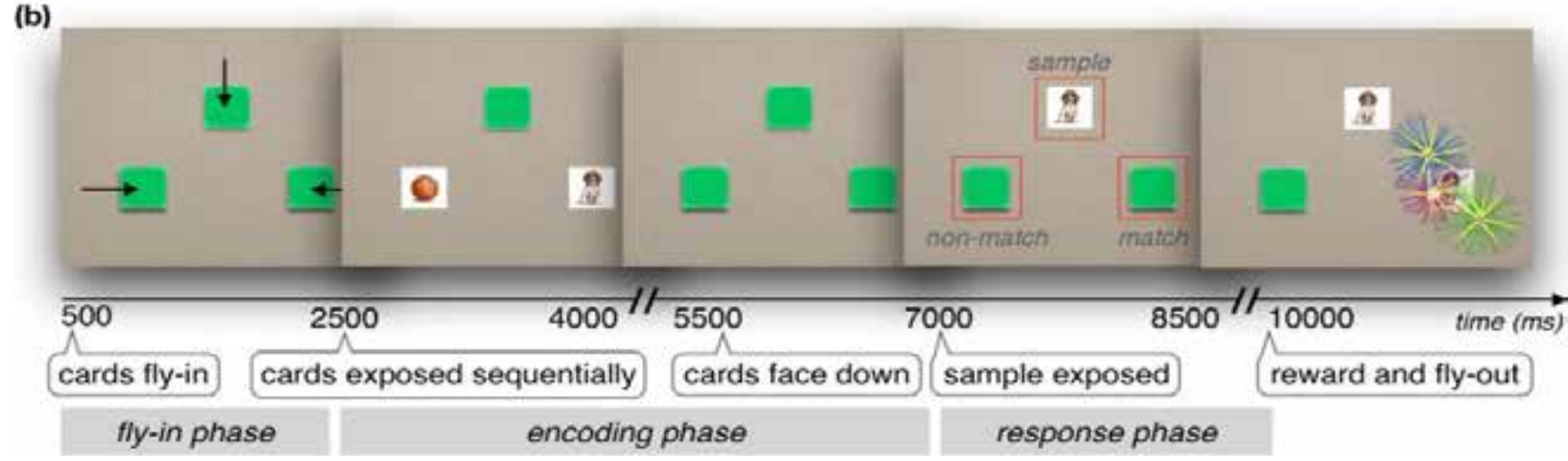
- Midieron la atención enfocada a través de la dilatación de la pupila evocada por la tarea durante una tarea de WMV.

- La dilatación de la pupila durante la codificación se correlacionó significativamente con el rendimiento posterior de la memoria. A mayor dilatación de pupilar mejor rendimiento en las tareas de WMV



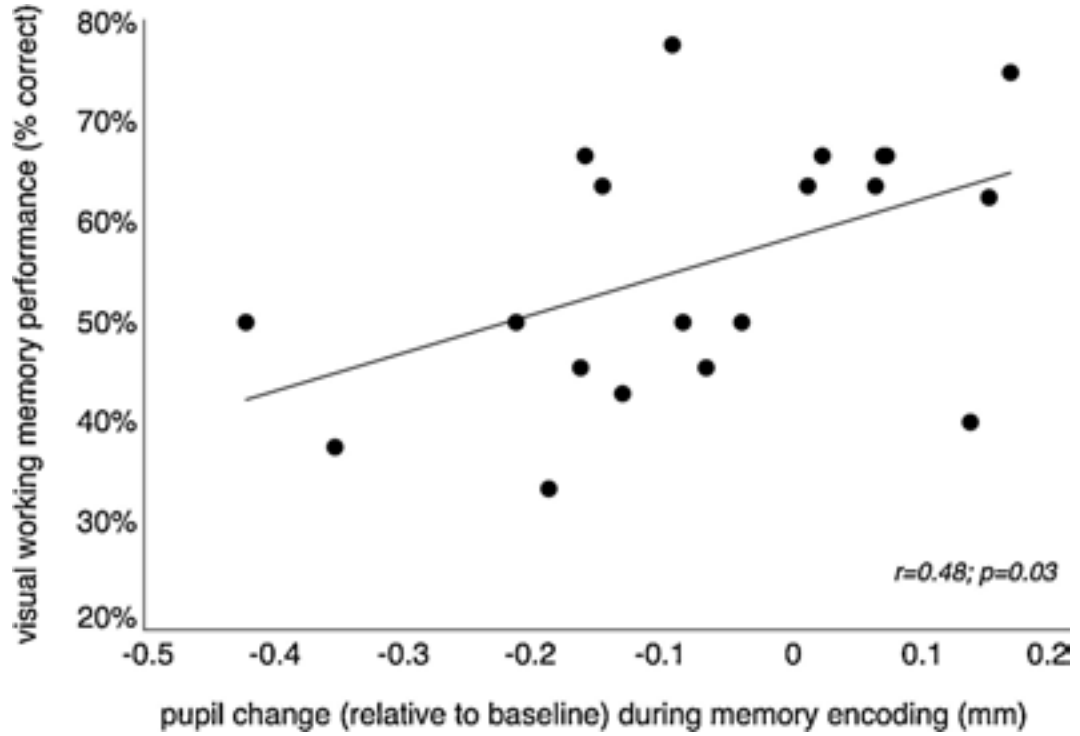


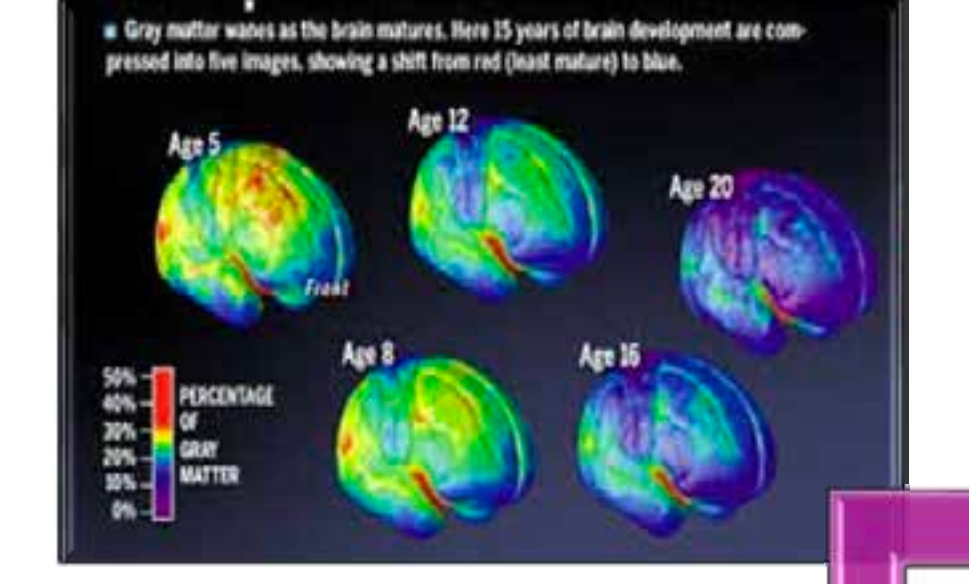




Rastreador ocular Tobii T120







TIP 6 EN LA EVALUCIÓN DEL TDAH

Tener en cuenta el proceso madurativo para que así todos los niños no terminen siendo Dx con TDAH





TIP 7 EN LA EVALUCIÓN DEL TDAH

La importancia del trabajo interdisciplinario



Investigación en Neuropsicología

NeuroRehabilitation 41 (2017) 687–694 DOI:10.3233/NRE-172239 IOS Press

Concentration Endurance Test (d2): Normative data for Spanish-speaking pediatric population

Peabody Picture Vocabulary Test-III: Normative data for Spanish-speaking pediatric population

NeuroRehabilitation 41 (2017) 605-616 DOI:10.3233/NRE-172246 IOS Press

Stroop Color-Word Interference Test: Normative data for Spanish-speaking pediatric population NeuroRehabilitation 41 (2017) 617-626 DOI:10.3233/NRE-172242 IOS Press

Modified Wisconsin Card Sorting Test (M-WCST): Normative data for Spanish-speaking pediatric population

UNIVERSIDAD AUTÓNOMA DE ASUNCIÓN FACULTAD DE CIENCIAS DE LA SALUD MAESTRÍA EN NEUROPSICOLOGÍA INFANTIL



COMPARACIÓN DEL PERFIL NEUROPSICOLÓGICO EN UNA MUESTRA DE NIÑOS Y ADOLESCENTES CON TRASTORNO POR DÉFICIT DE ATENCIÓN E HIPERACTIVIDAD Y UN GRUPO CONTROL

Alumno: Daniel Masahiko Ashihara Canadey Tutor: Dr. Iván Darío Delgado Mejía Asunción – Paraguay 2022 ¿Cuáles son las diferencias que presenta el perfil neuropsicológico de una muestra de niños y adolescentes con Trastorno por Déficit de Atención e Hiperactividad y un grupo control?

Comparar el perfil neuropsicológico de una muestra de niños y adolescentes con trastorno por déficit de atención e hiperactividad y el grupo control. Describir el perfil sociodemográfico y clínico de una muestra de niños y adolescentes con TDAH y del grupo control.

Identificar los antecedentes peri y post natales de una muestra de niños y adolescentes con TDAH y del grupo control.

Comparar el perfil neuropsicológico de una muestra de niños y adolescentes con trastorno por déficit de atención e hiperactividad y el grupo control según su sexo.

METODOLOGÍA DE LA INVESTIGACIÓN

Investigación aplicada de campo comparativo trasversal.

Tipo

Cuantitativo Descriptivo.

Enfoque y Alcance

No Experimental.

Diseño

De la investigación y Nula.

Hipótesis

TÉCNICAS E INSTRUMENTOS DE RECOLECCIÓN DE DATOS

Inclusión

- 6 a 17 años de edad.
- Residentes en Paraguay.
- Tener como lengua materna el español.
- Escuela/colegio regular privada, pública.
- Consentimiento firmado por parte de ambos padres/tutores.
- $CI \ge 80$.
- CDI < 19.

Exclusión







- Déficits neuropsicológicos.,
- Abuso de alcohol o SPA,
- Deterioro cognitivo,
- Antecedentes de enfermedades psiquiátricas,
- Antecedentes de problemas peri y post natal.
- La presencia de graves déficits sensoriales,
- Estar consumiendo medicamentos psiquiátricos o cualquier otro que altere mínimamente el rendimiento cognitivo.

RESULTADOS OBTENIDOS

	F	rueba de	Kolmogóro	v-Smirnov	para una	muestra		
	CDI	SDMT	TMTATS	TMTAE	TMTBTS	TMTME	RC	RM
Estadístico de prueba	,127	,124	,141	,161	,098	,094	,165	,154
Sig. asintótica (bilateral) Total	,044	,054	,014	,002	,200	,200	,002	,005 S50

	- 1	Prueba de	: Kolmogórov	-Smirno	v para una	muestra		
	wcc	WEP	WTENDP	WTE	W%EP	D2TR	D2TA	D2TOTAL O
Estadístico de prueba	,199	,124	,098	,161	,098	,094	,165	,154
Sig. asintótica (bilateral)	,004	,004	,002	,002	,002	,002	,002	,005

		rueba de	Kolmogóro	v-Smirnov	para una	muestra		
	D2Tc	D2TE	D2MTR	D2MTR	TOT	D2TR	CON	VAR
Estadistico de prueba	,169	,124	,141	,171	,098	,094	,168	,154
Sig. asintótica	,003	,004	,014	,002	,002	,002	,002	,005

Prueba de Ko	olmogóro	v-5mirnov	para una	muestra				
	CDI	SDMT	TMTAS	TMTATS	TMTBTS	TMTME	RC	RM
	Total							
Estadístico	,073	,118	,111	,089	,150	,081	.382	,152
de prueba								
Sig.	,200	,002	,004	.050	,000	.108	,000	,000
asintótica								
(bilateral)								
Total								100

Prueba de K	olmogóro	v-Smirne	v para una m	westra				
	wcc	WEP	WTENOP	WTE	WNEP	DZTR	DZTA	DZTOTAL
Estadístico de prueba	3399	,300	,098	,161	890,	,094	.154	,154
Sig. asintótica (bilateral)	,000	,001	,002	,002	,002	,002	,000	,005
Total								5100

Prueba de 8	Colmogór	ov-Smirno	ov para una	muestra				
Sessivo	D2Tc	DZTE	D2MTR	D2MTR	TOT	D2TR	CON	VAR
Estadístico de prueba	,160	,156	,153	,098	,098	,198	1,154	,154
Sig. asintótica	,000	,000	,000	,002	,002	,002	,005	,005
(bilateral)								
Total								100

Comparar el perfil neuropsicológico de una muestra de niños y adolescentes con trastorno por déficit de atención e hiperactividad y el grupo control.

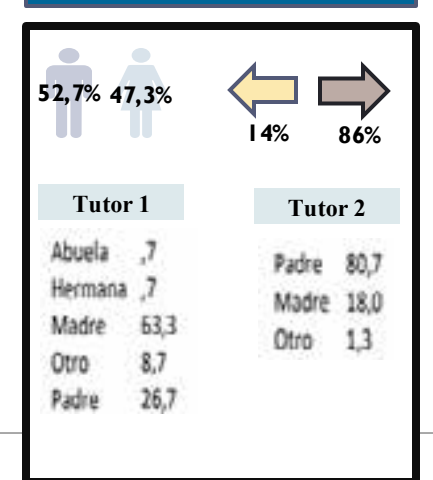
H	lipótesis nu	ıla		Prueba	Sig.	Decisión	Hipótesis	nula		Prueba	a Sig.	Decisión
1		ción de Ton re las categ		Prueba U d Mann-White para muest independier	ney ,023	Rechace la hipótesis nula.	8 La distri entre las	bución de Rpc categorías de	es la misma Grupo.	Prueba U Mann-Wh para mue independi	stras .004	Rechace la hipótesis nula.
ı	Medias											
(Grupo	Toni	CDI	SDMT	MTBTS	MTBNE	Rey C	Rey M	WCC	WEP	WTENP	WTE
	1 M1	102	10,52	23,76	109,76	11,10	20,75	11,64	3,10	5,64	14,48	20,12
	2 M2	108	7,69	31,79	77,77	0,76	25,19	15,88	5,47	1,66	3,94	5,64
6		ción de TMI re las categ		Prueba U d Mann-White para muest independier	ney ,001	Rechace la hipotesis nula		bución de wTe categorías de		Prueba U Mann-Wh para mue independi	otney ,000	Rechace ta hipótesia nula.
7		ción de TM re las categ		Prueba U d Mann-White para muest independier	ney ,018	Rechace la hipôtesis nula.	14 La distri misma e Grupo	bución de w%E ntre las categ	p es la orias de	Prueba U Mann-Wh para mue independi	stras .700	Conserve la hipótesis nula

Comparar el perfil neuropsicológico de una muestra de niños y adolescentes con trastorno por déficit de atención e hiperactividad y el grupo control.

Н	lipótesis nula		Prueba	Sig.	Decisión	Н	lipótesis nula		Prueba	Sig.	Decisión
1	La distribución de entre las categoría		Prueba U de Mann-Whitney para muestras independientes	,019	Rechace la hipótesis nula.	6	La distribución de M misma entre las cate Grupo.	layor TR es la egorías de	Prueba U de Mann-Whitney para muestras independientes	,230	Conserve la hipótesis nuta.
	Diferencias	de media	S				0.00				10
2	Grupos		TR		Total, O		Total, C	Meno	rTR T	ОТ	
	1	Media	282,38		80,68		9,70	12,89	1	5,58	14
3	2	Media	318,42		25,77		15,58	15,37	1	4,77	
	Total		77		0.5		94	- 74	1	50	Ta.
4	Orupo.	tegonas de	para muestras independientes	,010	nula.	9	Grupo.	egonas de	para muestras independientes	,483	nula.
6	La distribución de la misma entre las Grupo.		Prueba U de Mann-Whitney para muestras Independientes	,066	Conserve la hipótesis nula.	10	La distribución de V entre las categorías	AR es la mism de Grupo.	Prueba U de Mann-Whitney para muestras independientes	.234	Conserve la hipótesis nula.

1. Describir el perfil sociodemográfico y clínico de una muestra de niños y adolescentes con TDAH y del grupo control.

Participantes



Edad

	F	%
6 años	10	10,0
7 años	24	17,3
8 años	17	11,3
9 años	20	14,0
10 años	18	12,2
11 años	15	11,3
12 años	12	7,3
13 años	7	4,6
14 años	6	4,0
15 años	9	6,0
16 años	3	2,0
Total	150	100,0

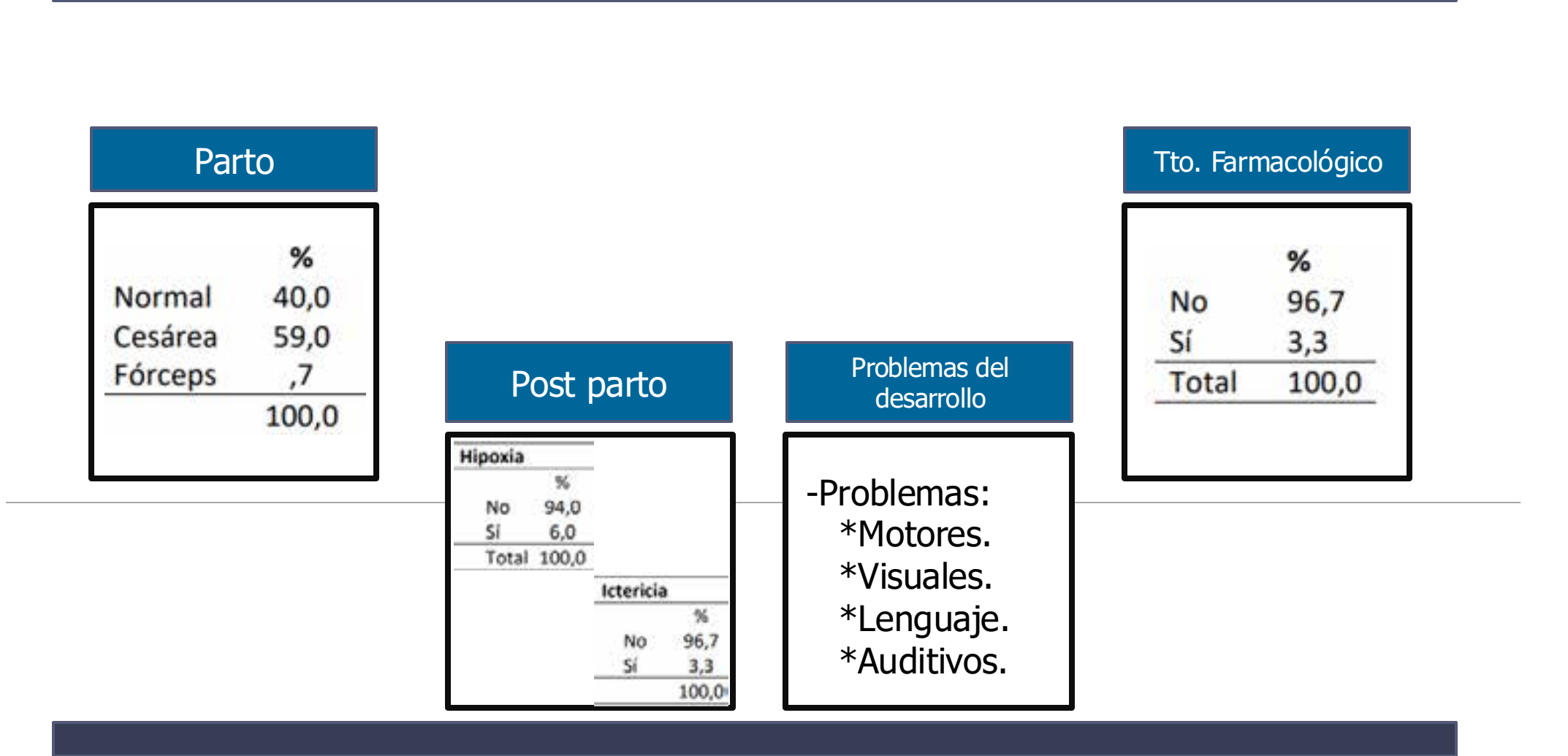
Ciudad

	F	%
Asunción	28	18,7
Capiatá	1	,7
Fernando de la Mora	16	10,7
Itauguá	19	12,7
J. Augusto Saldivar	6	4,0
Lambaré	25	16,7
Marian Roque Alonso	2	1,2
San Lorenzo	51	34,0
Villa Elisa	1	,7
Ypacarai	1	,7
Total	150	100,0

Diagnóstico Clínico

- -Epilepsia.
- -Trastorno:
 - *Aprendizaje.
 - *Conducta.
 - *Alimenticio.
 - *Sueño.
 - *Psiquiátrico.

2. Identificar los antecedentes peri y post natales de una muestra de niños y adolescentes con TDAH y del grupo control.



3. Comparar el perfil neuropsicológico de una muestra de niños y adolescentes con trastorno por déficit de atención e hiperactividad y el grupo control según su sexo.

	Hipótesis nula	Prueba	Sig. Decisión			Hipótesis nula		ueba	Sig.	Decisión
1	La distribución de Toni CI es la misma entre las categorías de Sexo.	Prueba U de Mann-Whitney para muestras independientes	,761	Conserve la hipótesia nula	8	La distribución de Ri entre las categorías	pc es la misma de Sexo.	Prueba U de Mann-Whitney para muestras independientes	,050	Rechace la hipôtesis nula.
F		Propha I I de		LE SERVICE CONTRACTOR						-
		SDMT RC RM WCC WEP WTENP WTENP	99							
	Sexo	SDMT	R	0	RM	WCC	WEP	WTENP	W	TE
	Hombre Media	25,65	22,3	35 1	3,120	4,38	3,61	9,56	13	,16
Í	Mujer Media	32,97	25,2	39 1	5,972	5,01	2,30	5,11	7,	46
,	Total	. 9.90	14		72	4511111	SSM	156	150	
6	La distribución de TMTbts es la misma entre las categorías de Sexo.	Prueba U de Mann-Whitney para muestras independientes	.962 Conserve la hipôtesis nula		13	La distribución de wTe les la misma entre las categorías de Sexo.		Prueba U de Mann-Whitney para muestras independientes	,004	Rechace la hipôtesis nula
7	La distribución de TMTbne es la misma entre las categorías de Sexo.	Prueba U de Mann-Whitney para muestras independientes	,330	Conserve Is hipótesis nula	14	La distribución de w misma entre las cate Sexo.		Prueba U de Mann-Whitney para muestras independientes	,955	Conserve la hipôtesis nula.

CONCLUSIONES

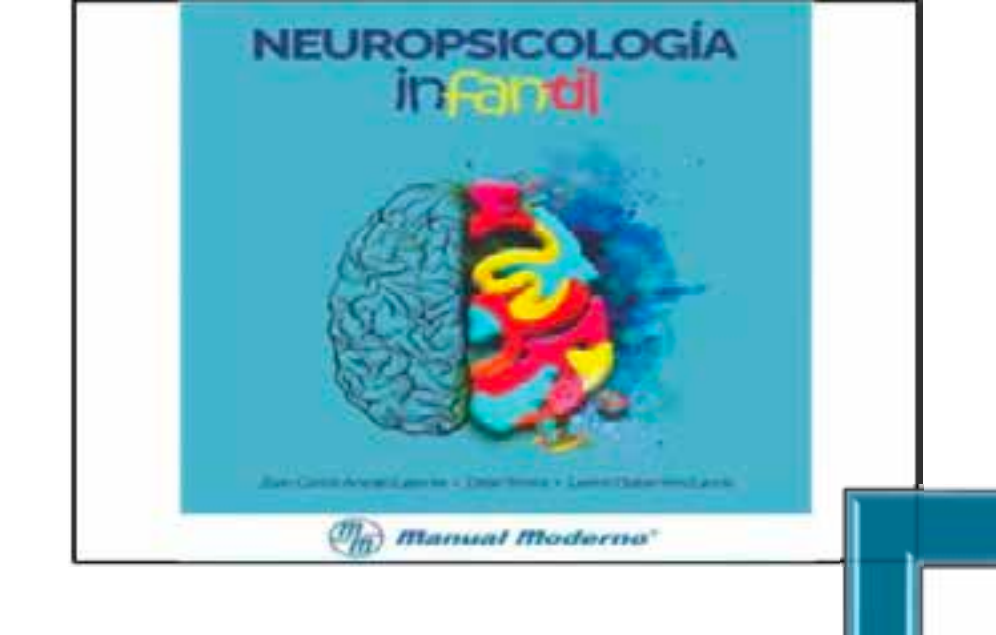
Niños con TDAH tienden a presentar peores resultados en el índice de vel de procesamiento, relacionado con síntomas de desatención. Fenollar-Cortés et al. (2015).

Diferencias significativas en la búsqueda visual, también en perseverancia e inhibición de respuestas, objetivando que la inatención predice alteraciones en la cap. de secuenciación, flexibilidad mental y búsqueda visual. Navarro, M. (2009),

Existen diferencias en los índices de memoria de trabajo y vel de procesamiento asociado a un funcionamiento conductual deteriorado en los niños con TDAH. Bustillo, M. y Servera, M. en el 2015.

Se encontraron diferencias significativas entre ambos grupos en:

- Velocidad de procesamiento de la información que guarda relación con síntomas de desatención.
- En la búsqueda visual mediante el aumento de la complejidad que presenta el TMT parte B, tanto en el tiempo empleado como en el número de errores.
- Las FE más alteradas en este estudio fueron:
 - MO
 - FC
 - At sostenida y selectiva.



TIP 8 EN LA EVALUCIÓN DEL TDAH

Utilizar en lo posible pruebas baremadas en el contexto del paciente

Comparación del compromiso atencional en dos muestras de pacientes argentinos con TDAH, presentaciones combinada e inatenta.

OBJETIVO GENERAL

• Comparar el desempeño en el sistema de alerta, atención sostenida y selectiva de dos grupos de pacientes con diagnóstico de TDAH, subtipos combinado e inatento.

OBJETIVOS ESPECÍFICOS

- Identificar las diferencias en el sistema de alerta, a través de los tiempos de reacción global, auditivos y visuales, en dos grupos de pacientes diagnosticados con TDAH subtipos inatento y combinado.
- Identificar las diferencias en la atención sostenida, a través del Continuous Performance Test, en dos grupos de pacientes diagnosticados con TDAH subtipos inatento y combinado
- Identificar las diferencias en la atención selectiva, a través del Selective Attention Test, en dos grupos de pacientes diagnosticados con TDAH subtipos inatento y combinado



✓ **ENFOQUE:** Investigación empírica

Investigación de enfoque cuantitativo

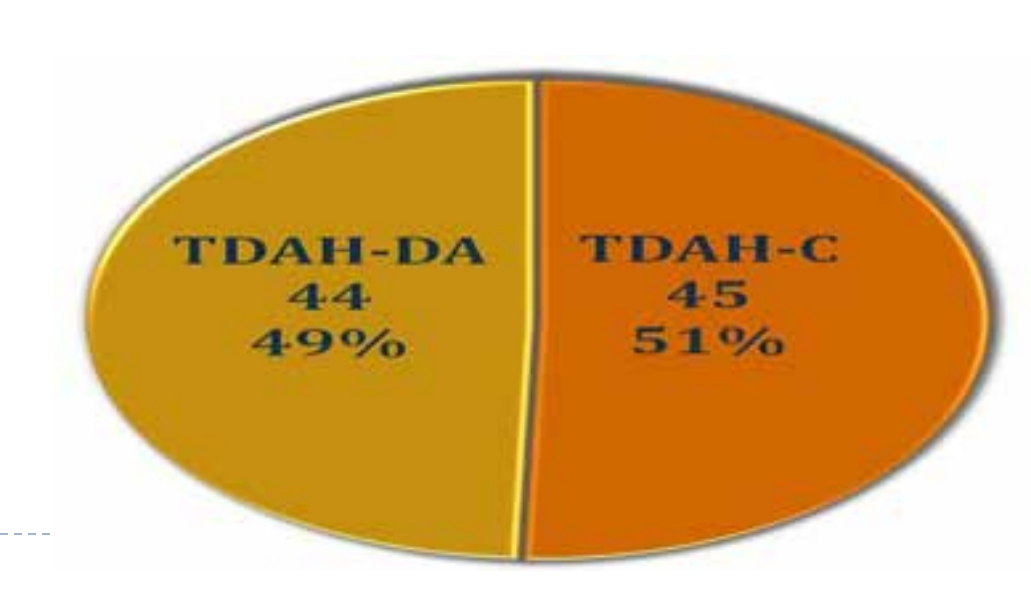
✓ TIPO : Estudio descriptivo y comparativo

✓ OBJETO: Funciones atencionales en el TDAH

(alerta, atención sostenida y selectiva)

✓ PARTICIPANTES:

Muestra de 89 sujetos de ambos sexos, entre 8 y 17 años (Media: 11,2 DE: 2,74)



Selección de la Muestra

✓ CRITERIOS DE INCLUSIÓN:

DSM-5 para el TDAH Rango de edad

✓ CRITERIOS DE EXCLUSIÓN:

Estar en tratamiento psicológico o farmacológico Antecedentes de otras alteraciones orgánicas Antecedentes de otras alteraciones psicológicas y psiquiátricas



Descripción de las variables

✓ SISTEMA PREATENCIONAL

Tiempo de Reacción Global (RTG), Auditivo (RTA) y Visual (RTV)

✓ ATENCIÓN SOSTENIDA

Respuestas Correctas (**RC**), Latencia de respuesta (**CPT-Target**) Omisiones no esperadas (**ONE**), Errores de comisión simple (**ECS**), Errores de comisión no Target (**ECNT**), Errores de Espera (**EE**), Dispersigrama y Curva de Fatiga Atencional

✓ ATENCIÓN SELECTIVA

Rendimiento global y Discriminación atencional



Hipótesis de Trabajo

- Personas diagnosticadas con TDAH-C presentarán un desempeño diferente en la aplicación de pruebas neuropsicológicas que exploran el sistema de pre- atencional en comparación de lo evidenciado por el subtipo TDAH-DA.
- Personas diagnosticadas con TDAH-C presentarán un desempeño diferente en la aplicación de pruebas neuropsicológicas que exploran la atención sostenida en comparación de lo evidenciado por el subtipo TDAH-DA.
- Personas diagnosticadas con TDAH-C presentarán un desempeño diferente en la aplicación de pruebas neuropsicológicas que exploran la atención selectiva en comparación de lo evidenciado por el subtipo TDAH-DA.
- Personas diagnosticas con el subtipo TDAH-C tendrán un peor rendimiento en comparación con las personas diagnosticadas con TDAH-DA tanto en las funciones atencionales como en el control de impulsos.



Hipótesis Nula

No se presentarán diferencias estadísticamente significativas para las mediciones de las funciones atencionales evaluadas en este estudio entre los subtipos diagnósticos.



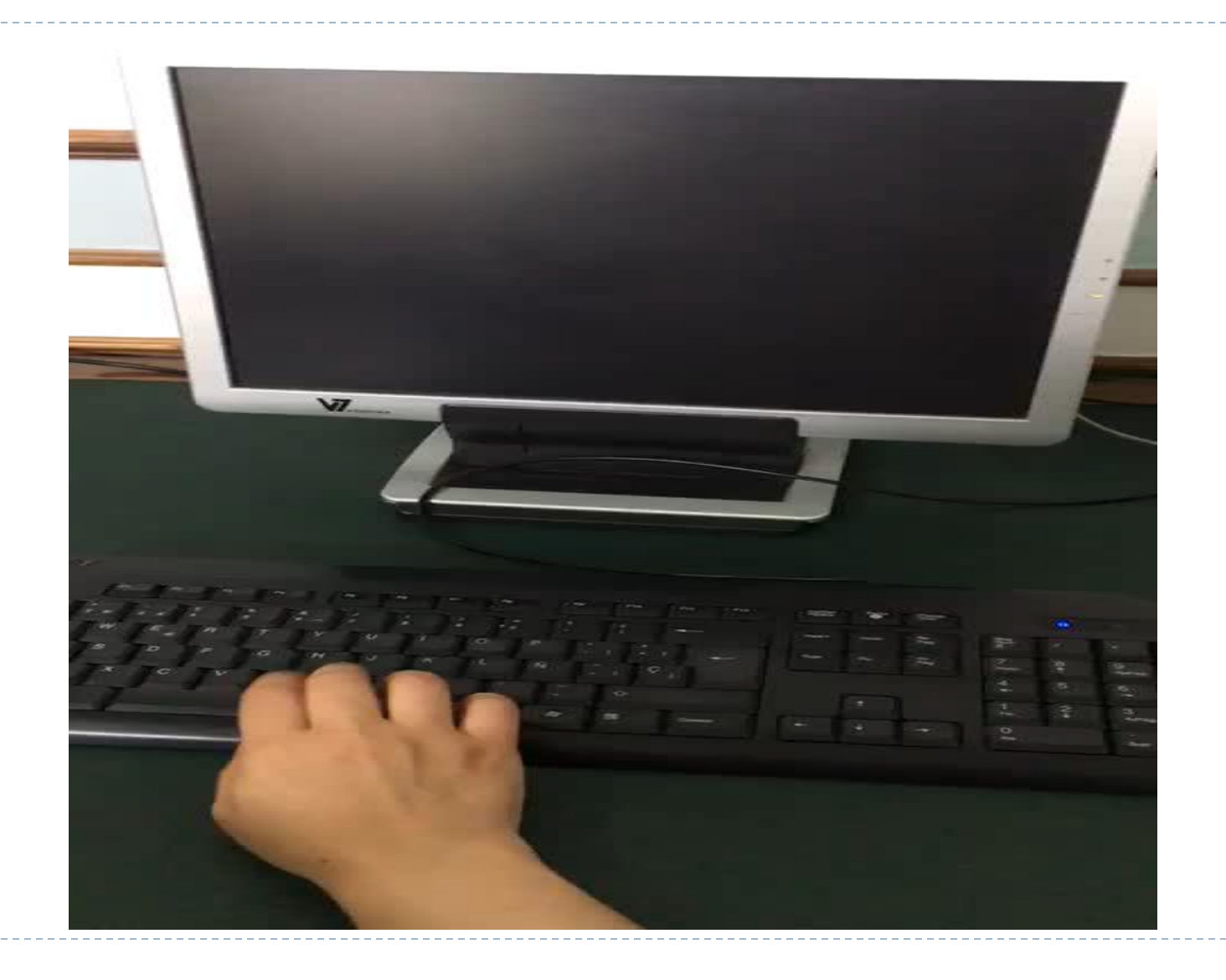
Instrumentos de Evaluación

✓ DSM-5

- ✓ PSB (Prüfsystemfür Schul-und Bildungsberatung)
- ✓ Monitoreo cognitivo Computarizado (MCC-94)
 - ✓ Reaction Time Test
 - ✓ Continuos Performance Test
 - ✓ Selective Attention Test



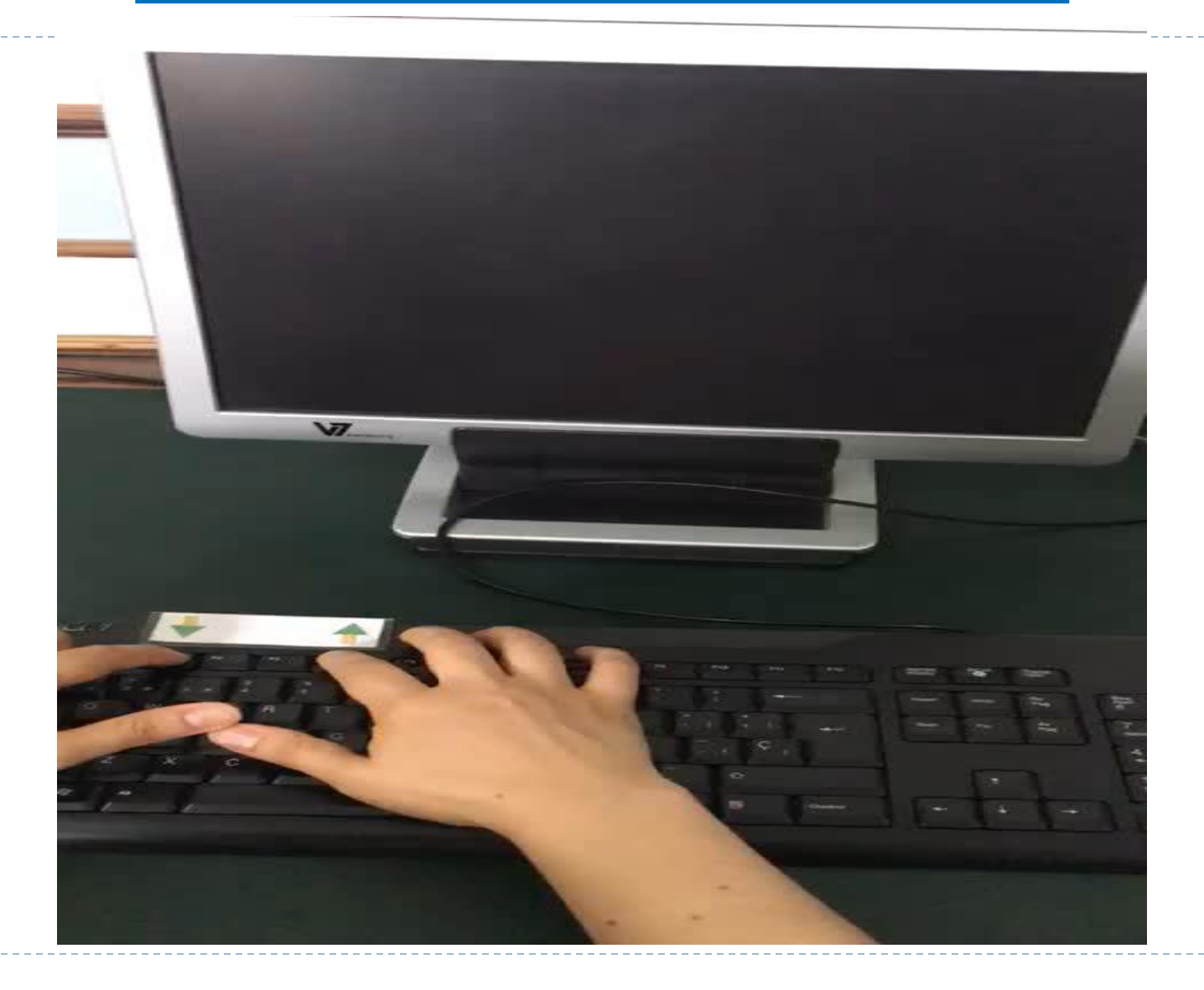
REACTION TIME TEST



CONTINUOS PERFORMANCE TEST



SELECTIVE ATTENTION TEST



Resultados



Observaciones por Edad y Sexo

		TOTAL	TDAH-C	TDAH-DA	Contraste	р
N	J0.0	89	45	44		
	Media	11,22	10,56	11,91		
	D.S.	2,74	2,54	2,80		
Edad	Rango Prom.		38,67	51,48	U=705,00	0,02
	Mediana	11,00	10,00	12,00		
C	8-9 años	30	20	10	12010	0,06
Grupos de Edad	10-12 años	31	15	16	$X^2 = 5,64$	
	13-17 años	28	10	18		
Sexo	Femenino	25	8	17	X2= 4,79	0,03
CONC	Masculino	64	37	27	71 - 4110	

^{**}Diferencias significativas al nivel 0,01.

^{*} Diferencias significativas al nivel 0,05.

Sistema Pre-atencional

	30	TDAH-C	TDAH-DA	U	р
Tiempo de Reacción Global	Media	419,38	389,80		111
	D.S.	123,90	75,29		
	Rango Prom.	46,83	43,13	907,50	0,50
Tiempo de Reacción Auditivo	Media	413,22	367,41		
	D.S.	144,51	82,72		
	Rango Prom.	49,07	40,84	807,00	0,13
Tiempo de Reacción Visual	Media	425,47	412,20		
	D.S.	135,92	76,46		
	Rango Prom.	43,67	46,36	930,00	0,62
	Media	-18,69	-44,80		
Diferencia RT A - RT V	D.S.	131,00	52,05		
	Rango Prom.	51,17	38,69	712,50	0,02

^{**}Diferencias significativas al nivel 0,01.
*Diferencias significativas al nivel 0,05.

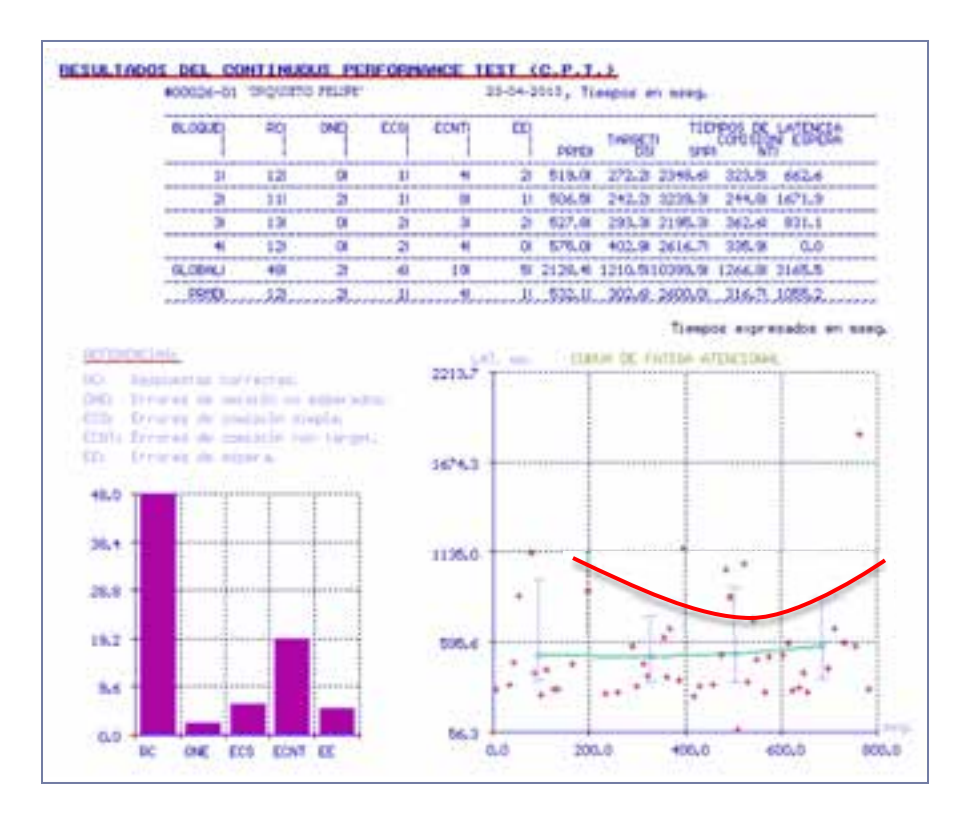
Atención Sostenida

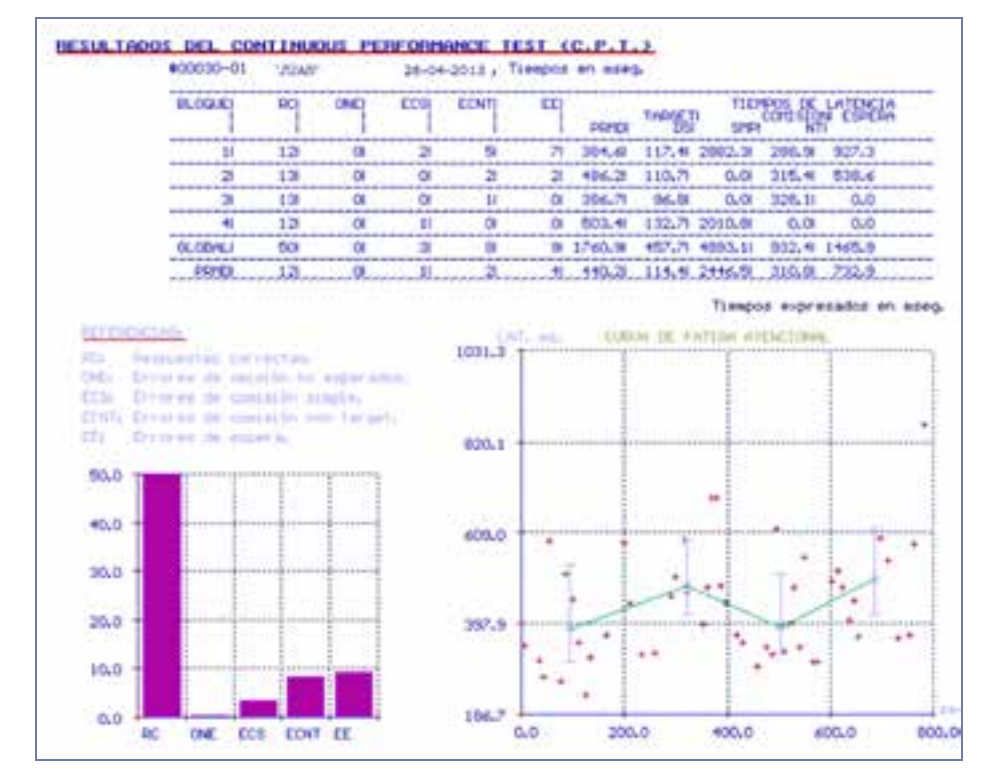
		TDAH-C	TDAH-DA	U	р
Respuestas correctas del CPT	Media	46,64	47,73	7.10.7	
	D.S.	3,64	3,26		
	Rango Prom.	39,59	50,53	746,50	0,04
Omisiones no esperadas	Media	3,36	2,27		
	D.S.	3,64	3,26		
	Rango Prom.	50,41	39,47	746,50	0,04
Errores de comisión no Target	Media	11,49	7,70		
	D.S.	9,16	8,07		
	Rango Prom.	0 50,96	38,91	722,00	0,03

^{**}Diferencias significativas al nivel 0,01.
*Diferencias significativas al nivel 0,05.

CPT: Diferencias en el dispersigrama y la curva de fatiga atencional

	Di	agnóstico	3	3	22			
	TDAH-C	TDAH-DA	Xx	р				
Ascendente	9	7						
Descendente	2	1						
Horizontal 0 1	0.05							
P.Ascendente	9	10	9,77	9,77 0,05				
P.Descendente	7	0						
Sinusoide	18	25	7					
					Diagn	óstico	1	
					TDAH-C	TDAH-I	Xz	р
	1		Cerrado		0	0		
		Dianaralarama	Intermedio-	cerrado	0	0	1	
		Dispersigrama	Intermedio		11	6	7,25	0,03*
			Intermedio-	abierto	15	7	1	1 2 2
			Abierto		19	@31	1	
	Descendente Horizontal P.Ascendente P.Descendente	Ascendente 9 Descendente 2 Horizontal 0 P.Ascendente 9 P.Descendente 7	TDAH-C TDAH-DA	Ascendente 9 7 Descendente 2 1 Horizontal 0 1 P.Ascendente 9 10 P.Descendente 7 0 Sinusoide 18 0 25 Cerrado Intermedio-Intermedio	TDAH-C TDAH-DA X² p	TDAH-C TDAH-DA X* p	TDAH-C TDAH-DA X* p	TDAH-C TDAH-DA X² p





TDAH-C

TDAH-DA

Atención Selectiva

		TDAH-C	TDAH-DA	U	р	
Rendimiento Global de Atención Selectiva	Media	82,75	86,92			
	D.S.	12,79	11,72			
	Rango Prom.	39,29	50,84	733,00	0,04	
Discriminación Atencional de la Atención Selectiva	Media	84,66	89,61			
	D.S.	12,66	11,00			
	Rango Prom.	38,34	51,81	690,50	0,01*	
	7 89	17				

^{**}Diferencias significativas al nivel 0,01.
*Diferencias significativas al nivel 0,05.

DISCUSIÓN Y CONCLUSIONES



Este estudio permitió contribuir al planteamiento de la existencia de endofenotipos atencionales particulares para cada subtipo.

Coincidiendo con el estudio realizado por Mullane et al. (2011), **NO se encontraron diferencias estadísticamente significativas en el <u>Sistema</u>

Pre-atencional o estado de alerta**. Este sistema en los dos subtipos arroja resultados similares.

Atención Sostenida:

Mayor déficit en atención sostenida y selectiva para el grupo con TDAH-C (<RC, >NE y > ECNT).

Este último hallazgo, permitió evidenciar un mayor déficit por parte de este subtipo en el control de impulsos.

(atención sostenida \Leftrightarrow control inhibitorio)

En la comparación entre los subtipos C y DA, nuestros hallazgos coinciden con lo reportado por Clarke et al., quienes resaltan la importancia de la inhibición de respuesta, los errores de comisión y, en menor medida, el déficit en atención selectiva

En la muestra, el subtipo TDAH-C se caracterizó por un déficit del sistema NA representado la curva la parabólica-Descendente

En el subtipo TDAH-DA el patrón predominante fue la curva de tipo sinusoide, la cual evidencia muy probablemente el dominio de un patrón alternante de déficit de neurotransmisores.

Curva de fatiga atencional: para desarrollar esta tarea es necesaria la activación de dos sistemas:

NA (reorientación del estímulo)

DA (focalización y control inhibitorio).

Una elevada variación intraindividual de respuestas da como resultado un dispersigrama abierto, frecuentemente observado en los sujetos con TDAH-DA, el cual puede llegar a sugerir un déficit en el sistema DA.

(Dispersigrama Abierto (31/19), Ji cuadrada = 7,25, p = 0,03).



Atención Selectiva:

Este estudio evidenció que el subtipo **TDAH-C** en comparación con el subtipo TDAH-DA, muestra un **peor desempeño** tanto en el **rendimiento global** (U=733,00, p=0,04) como en la **discriminación atencional** (U=690,50, p=0,01).

Si bien estudiar la variable género no se planteó como objetivo, los hallazgos a este respecto muestran que el diagnóstico de TDAH-DA es más frecuente en mujeres, en comparación del subtipo TDAH-C, que se encuentra con mayor frecuencia en varones.



Biederman = mayor posibilidad de TDAH-DA en mujeres (2.2)

DSM-5 = (Varón/Mujer) 4:1 en población general y
 9:1 en población clínica

Rucklidge JJ. Gender differences in attention-deficit/hyperactivity disorder. Psychiatr Clin North Am. 2010; 33(2):357-373.

Biederman J, Mick E, Faraone SV, Braaten E, Doyle A, Spencer T, Wilens TE, Frazier E, Johnson MA. Influence of gender on attention deficit hyperactivity disorder in children referred to a psychiatric clinic. Am J Psychiatry. 2002; 159(1): 36-42.

Edad: A <edad > cantidad de sujetos con TDAH-C

A > edad > cantidad de sujetos con TDAH-DA.

"con la edad se tienden a declinar más los síntomas de hiperactividad e impulsividad que los del déficit de atención. Barkley plantea que los síntomas de hiperactividad e impulsividad se presentan antes que los síntomas de déficit de atención; sin embargo, los síntomas de la hiperactividad impulsividad disminuyen más rápidamente a lo largo del desarrollo, razón por la cual en las primeras etapas del desarrollo los síntomas de hiperactividad posiblemente son el pilar más relevante y puede tener algún valor a la hora del diagnóstico de TDAH en niños y no en adultos".

Barkley RA. Avances en el diagnóstico y la subclasificación del trastorno por deficit de atención/hiperactividad: qué puede pasar en el futuro respecto al DSM-V. Rev Neurol. 2009; 48(2):101-106.

Applegate B, Lahey BB, Hart EL, Biederman J, Hynd GW, Barkley RA, et al. Validity of the age-of-onset criterion for ADHD: a report from the DSM-IV field trials. J Am Acad Child Adolesc Psychiatry. 1997; 36:1211-21.

Willcutt E, Nigg JT, Pennington BF, Solanto MV, Rohde LA, Tannock R, Loo SK, Carlson CL, McBurnett K, Lahey B. Validity of DSM–IV Attention Deficit/Hyperactivity Disorder Symptom Dimensions and Subtypes. Journal of Abnormal Psychology. 2012; 121(4):991-1010.





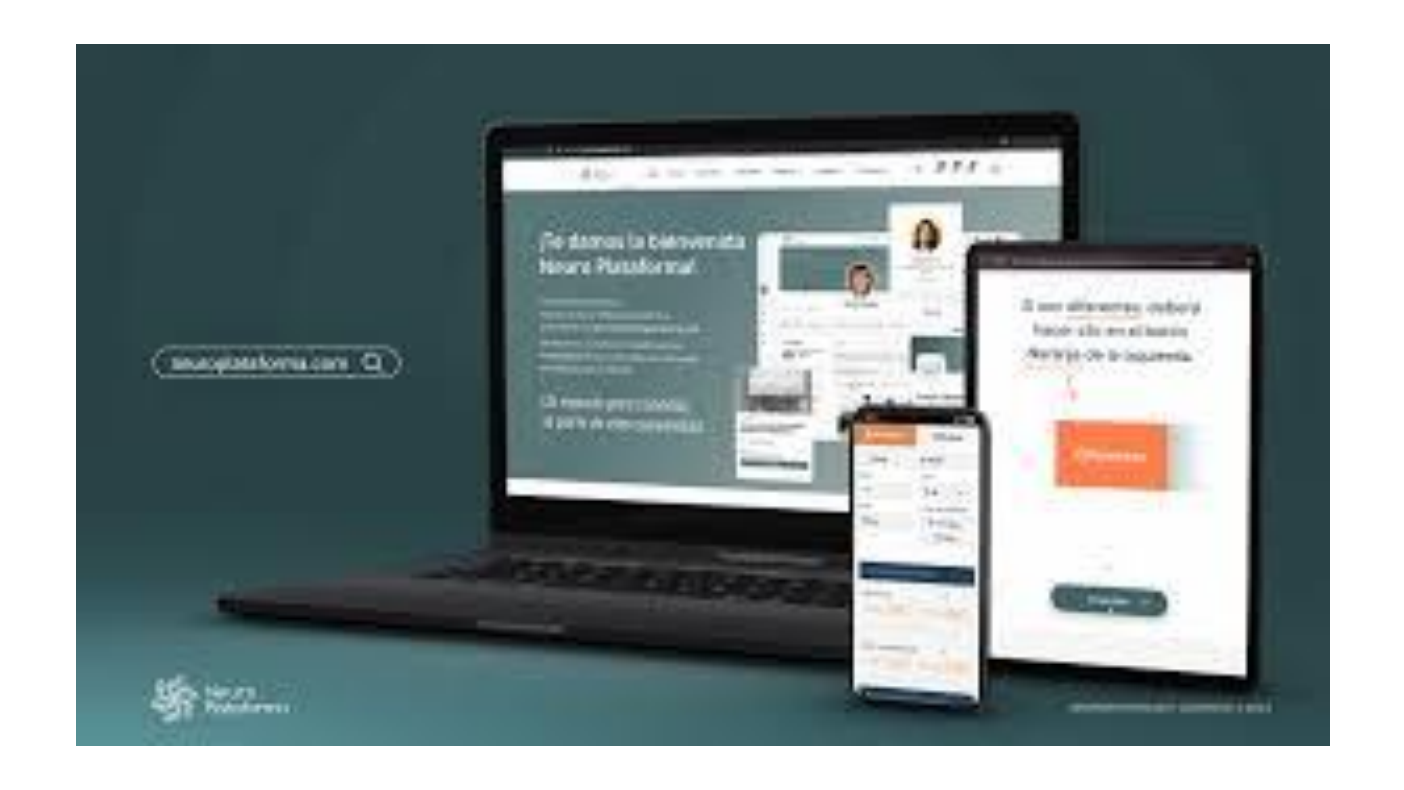


TIP 9 EN LA EVALUCIÓN DEL TDAH

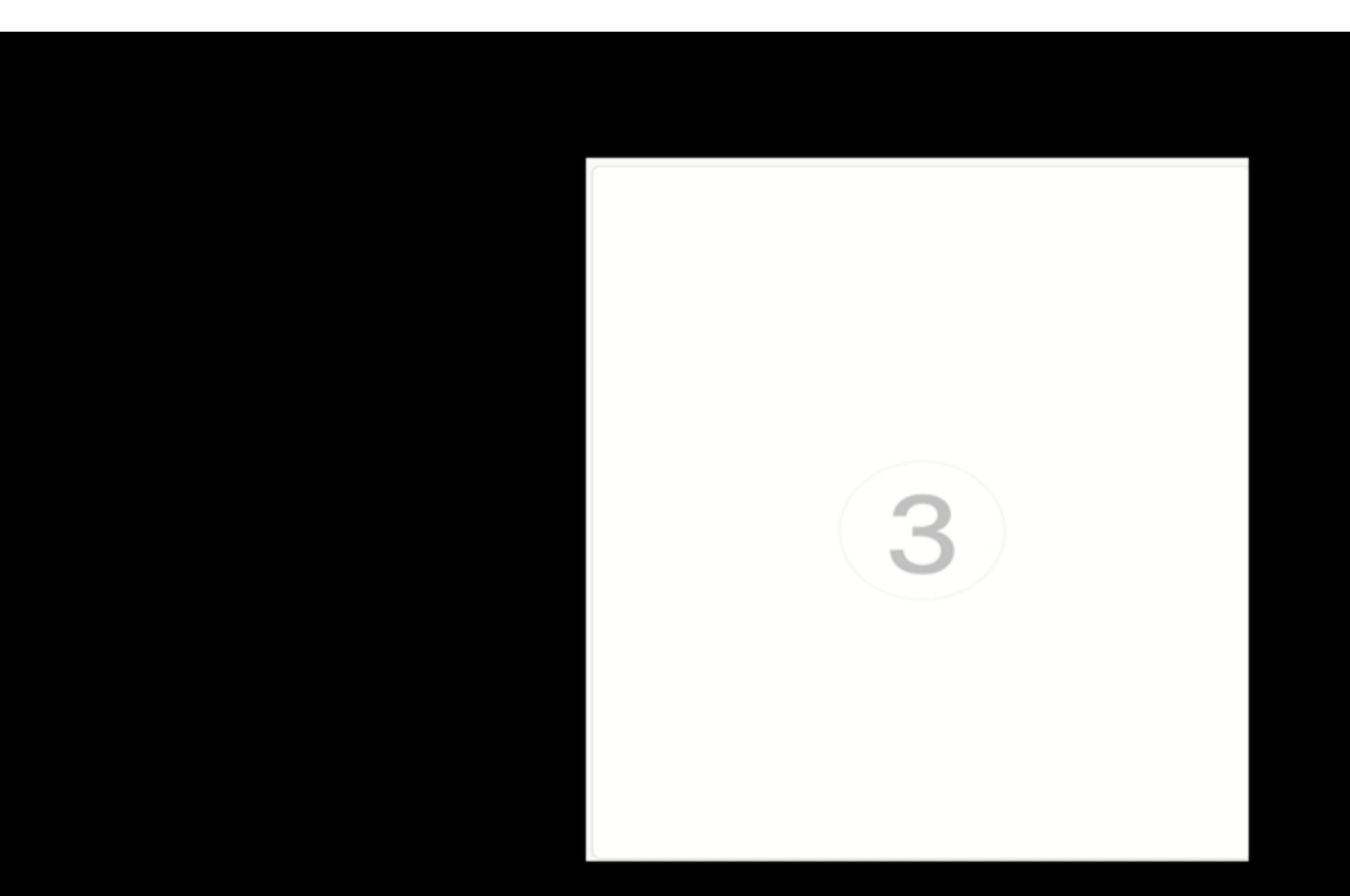
La importancia especificar en el Dx precisar la presentación de este cuadro



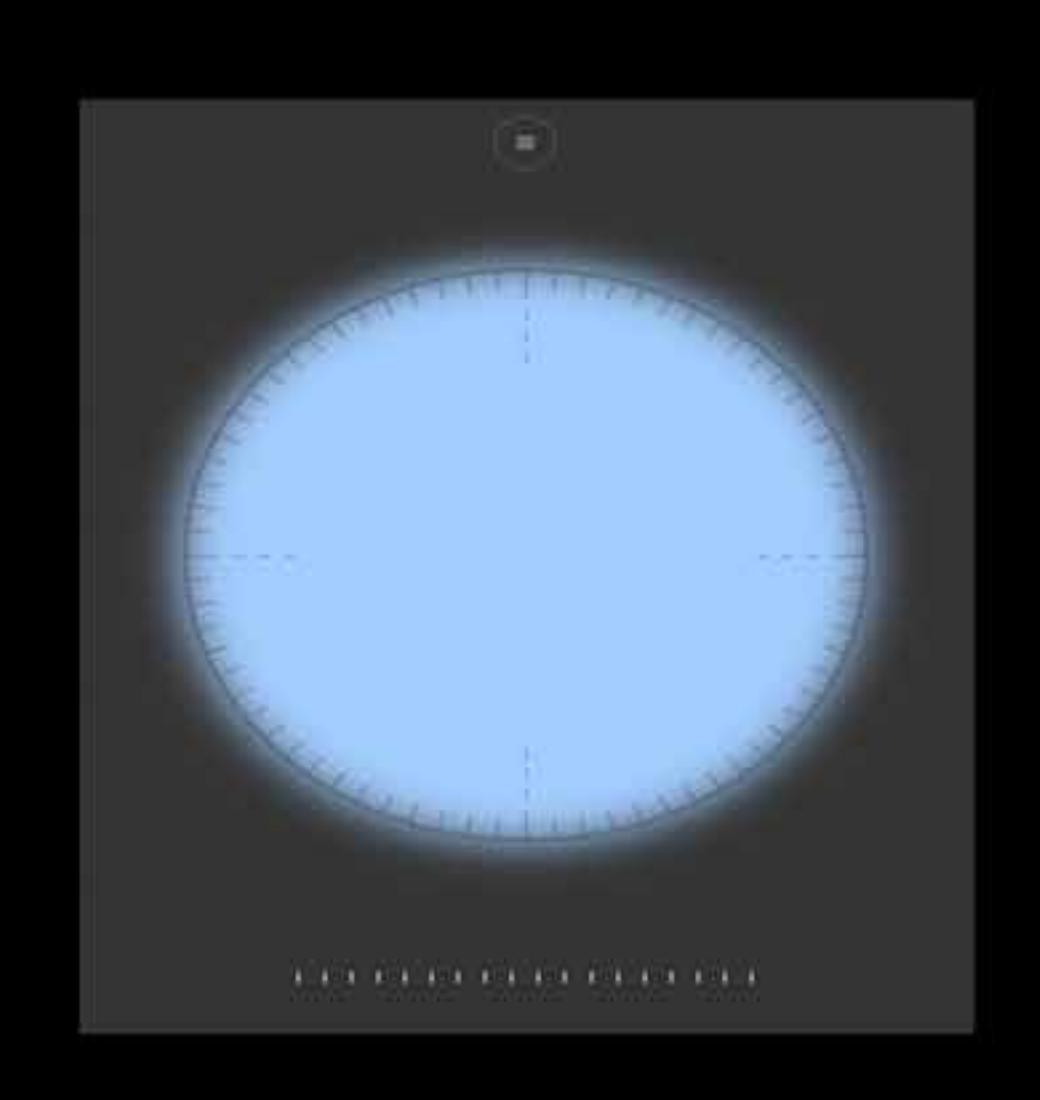




ATENCIÓN SOSTENIDA



ATENCIÓN SELECTIVA



ATENCIÓN ALTERNANTE



ATENCIÓN DIVIDIDA



INHIBICIÓN





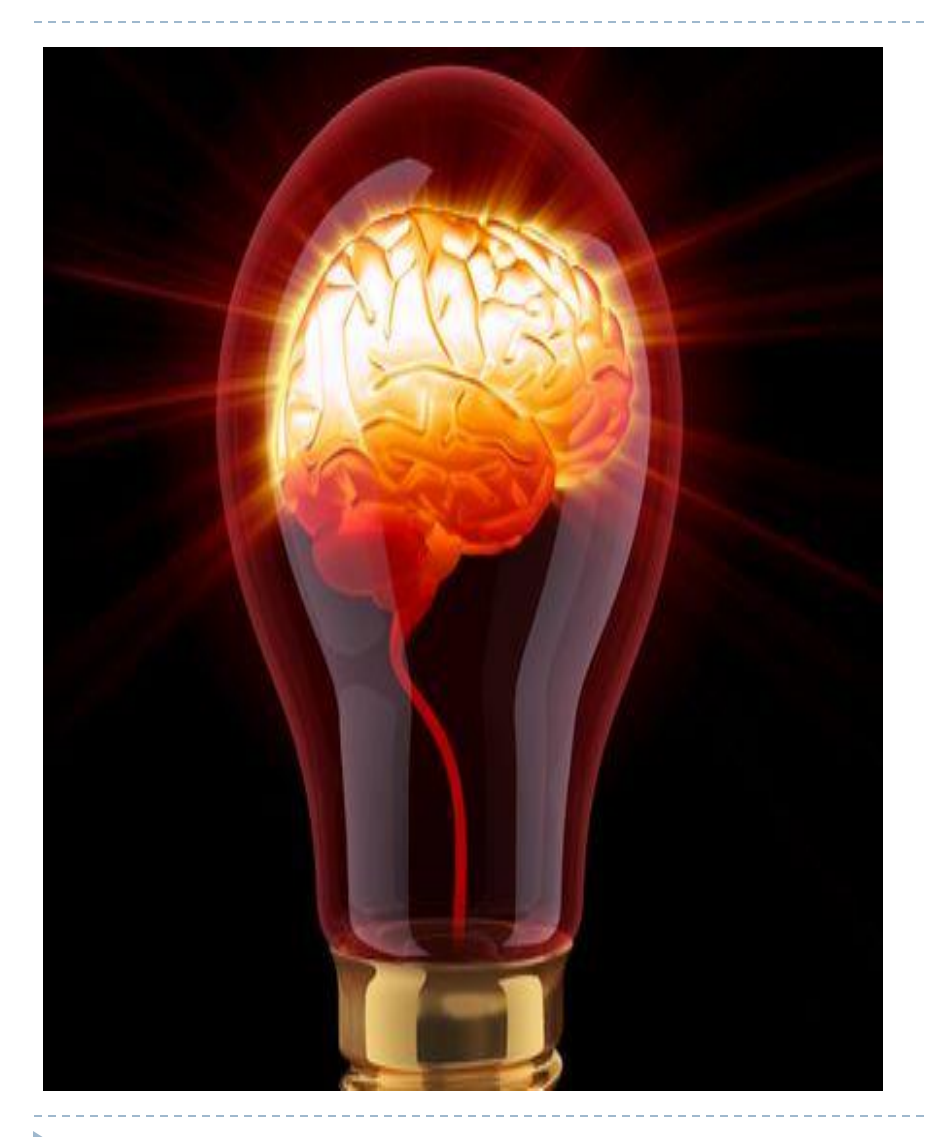
10 TIP EN LA EVALUCIÓN DEL TDAH

Pruebas neuropsicológicas online – Teleneuropsicología

Dllo de nuevas lineas de investigación en Ev Npsca para TDAH







Para hacer un adecuado diagnóstico del TDAH, se debe **ir más alla** de la simple lectura de los criterios diagnosticos del DSM-5 - TR.

Se debe poder leer estos criterios a la luz del funcionamiento cerebral, neuropsicologico y a la luz de la semiología clínica del TDAH para no caer en falsos positivos que diagnostiquen a todos los niños como personas con TDAH.

INATENCIÓN



CRITERIO DX DSM-5TR	Tipo de Atención Principal Sohlberg y Mateer	Tipo de Atención Scundario/ Procesos asociados	Justificación
Falla en prestar la debida atención a detalles o por descuido comente errores en las tareas escolares, en el trabajo o durante otras actividades			
Tiene dificultades para mantener la atención en tareas o actividades recreativas (Por ej., tiene dificultad para mantener la atención en clases, conversaciones o la lectura prolongada).			
Parece no escuchar cuando se le habla directamente (por ej., parece tener la mente en otras cosas, incluso en ausencia de cualquier distracción aparente).			

CRITERIO DX DSM-5TR	Tipo de Atención Principal Sohlberg y Mateer	Tipo de Atención Scundario/Procesos asociados	Justificación
No sigue las instrucciones y no termina las tareas escolares, los quehaceres o los deberes laborales (por ej., inicia tareas pero se distrae rápidamente y se evade con facilidad).			
Tiene dificultad para organizar tareas y actividades (por ej., dificultad para gestionar tareas secuenciales; dificultad para poner los materiales y pertenencias en orden; descuido y desorganización en el trabajo; mala gestión del tiempo; no cumple los plazos).			

CRITERIO DX **DSM-5TR**

Tipo de Atención **Principal Scundario/Procesos** Sohlberg y Mateer

Evita, le disgusta o se muestra poco entusiasta en iniciar tareas que requieren un esfuerzo mental sostenido (por ej., tareas escolares o quehaceres domésticos; en adolescentes mayores y adultos, preparación de informes,

completar formularios, revisar artículos largos).

Tipo de Atención

asociados

Justificación

Pierde cosas necesarias tareas para actividades (por ej., materiales escolares, lápices, libros, instrumentos, billetera, llaves, papeles del trabajo, gafas-lentes, celular). Se distrae con facilidad por estímulos externos (por ej., para adolescentes mayores y adultos

Olvida las actividades cotidianas (por ej., hacer

adolescentes mayores y adultos, devolver las

llamadas, pagar las facturas, acudir a las citas).

hacer

tareas,

las



puede incluir pensamientos no relacionados).

los mandados; en

HIPERACTIVIDAD



CRITERIO DX DSM-5TR	Tipo de MCI	Procesos Npsco asociados	Justificación
Con frecuencia juguetea o golpea las manos o los pies o se retuerce en el asiento.			
Con frecuencia corretea o trepa en situaciones en las que no resulta apropiado. (Nota: En adolescentes o adultos, puede limitarse a estar inquieto).			
Con frecuencia es incapaz de jugar o de ocuparse tranquilamente en actividades recreativas.			
Con frecuencia está "ocupado", actuando como si "lo impulsara un motor". (por ej., es incapaz de estar o se siente incómodo, estando quieto durante un tiempo prolongado, como en restaurantes, reuniones; los otros pueden pensar que está intranquilo o que le resulta difícil			
seguirlos). Con frecuencia habla excesivamente.			

IMPULSIVIDAD



CRITERIO DX DSM-5TR	Tipo de MCI	Procesos Npsco asociados	Justificación
Con frecuencia responde inesperadamente o antes de que se haya concluido una pregunta (por ej., termina las frases de otros; no respeta el turno de conversación).			
Con frecuencia le es difícil esperar su turno (por ej., mientras espera en una cola).			
Con frecuencia interrumpe o se inmiscuye con otros (por ej., se mete en las conversaciones, juegos o actividades; puede empezar a utilizar las cosas de otras personas sin esperar o recibir permiso; en adolescentes y adultos, puede inmiscuirse o adelantarse a lo que hacen otros).			

Un buen diagnóstico es el primer paso hacia la intervención efectiva

Gracias por su atención!









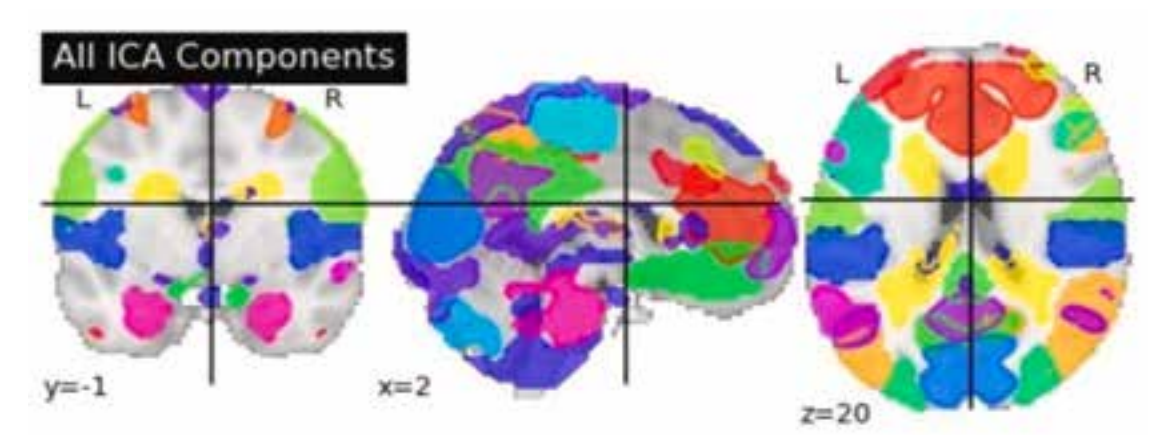






Avances recientes en la evaluación y el diagnóstico del TDAH

GRACIAS POR SU ATENCIÓN!!



Iván Darío Delgado-Mejía, Ph.D, M.Sc.

Neuropsicólogo – Unidad de Neurodesarrollo, Hospital Español (México)

Prof. Maestría en Neuropsicología Infantil – Universidad Autónoma de Asunción (Paraguay)

Prof. Maestría en Neuropsicología Aplicada – Hospital Italiano de Buenos Aires (Argentina)

CASOS CLÍNICOS